REPUBLI QUE DU SENEGAL PRI MATURE

SECRETARI AT D'ETAT A LA RECHERCHE SCI ENTI FI QUE ET TECHNI QUE

RAPPORT DE STAGE

EN HYDRAULIQUE AGRICOLE ET BIOCLIMATOLOGIE

- 1 Caractérisation hydrodynamique d'un sol de Bambey
- 2 Besoins en eau des oignons
- 3 Technique d'irrigation goutte à goutte: test du goutteur TIROSH.

Par

Médoune BEYE Ingénieur agronome sp. Génie Rural

Août 1980 Centre National de Recherches Agronomiques de BAMBEY

I NSTI TUT SENEGALAI S DE RECHERCHES AGRI COLES

REMERCIEMENTS

Je tions à exprimer ma gratitude à MM. T.M. DUC (service d'hydraulique agricole) et DANCETTE (service de Bioclimatologie), du C.N.R.A. do Bambey, dont les conseils et l'assistance matérielle ont été décisifs dans l'élaboration do ce présent travail,

J'adresse mes remerciements à :

- Sitor NDour et Abdoulaye Faye (SR/Bio) pour le suivi de l'essai do caractérisation hydrodynamique (chap. I).
- NDongo Bâ (SR/Hydro) pour le suivi. de l'essai sur les besoins on eau des oignons (chap.II)
- Mlle Delphine Lassey (Technicienne Supérieure de SR/Patho) pour le suivi de l'essai d'irrigation goutte à goutte (chap. III),
 - ► Mme Ndèye Faye pour la dactylographie.

A travers El Hadj Diop, Ibou Dièye et Bato Sène, jo remercie tout le personnel de la ferme dos cultures irriguées du CNRA de Bambey.

SOMMAIRE

REMERCI EMENTS

AVERTI SSEMENTS

<u>CHAPITRE 1</u>: Caractérisation hydrodynamique d'un sol de la région de Bambcy (cf tire-à-part)

CHAPITRE II : Besoins en eau des oignons

- 1. Introduction
- 2, Théorie de la méthode
- 3. Démarche expérimentale
- 3.1, Les parcelles
- 3.2, Mesure de l'humidité
- 3.3. Mosure de la charge hydraulique
- 4. Méthode do dépouillement
- 5. Remarques
- 6. Résultats et discussion
- 7. Conclusion
 - Annexe 2.1. : protocole de l'essai
 - Annexe 2.2. Calcul de l'erreur relative de mesure de l'humidité du sol par les sondes PITMAN et TROXLER.
- 8. Bibliographie,
- CHAPITRE III : Test du système d'irrigation goutte à goutte TIROSH
 - 1. Introduction
 - 2, Description technique générale du système
 - 2.1. L'unité do tôte
 - 2.2. Los conduitos principales et les conduitos porto-rampes.
 - 2.3. Les rampes d'arrosage
 - 2.4, Les gouttours
 - 3, Relation débit pression
 - 3.1. Rappel théorique
 - 3.2. Démarche expérime ntale

- 3. 3, Résultats et discussion
- 4. Détermination des coefficients d'uniformité
- 4.1. Principe et démarche expérimentale
- 4. 2, Résultats et discussion
- 5. Forme du bubc hydrique
- 5.1. Principe et dispositif expérimental
- 5.2. Résultats et discussion
- 6, Remarques
- 7. Conclusion
- 8. Annexes

Annexe 3.1. : Protocole de l'essai

Annexe 3.2. : Tableau des charges hydrauliques H.

Y. Bi bl i ographi e

ANNEXE : Programme de stage.

AVERTISSEMENT

Cc rapport est relatif à un stage do 6 mois effectué au CNRA de Eambcy de Février à Juillet 1980. Les manipulations pratiques se sont articulées autour de trois essais :

- 1 Caractérisation hydrodynamique d'un sol du CNRA do Bambey. Cet essai a dure un mois.
- 2 Détermination des bosoins on eau de l'oignon IRAT 1. Cet essai a duré 4 mois (= durée du cycle des oignons)
- 3 Test du système d'irrigation goutte à goutte TIROSH.

Cet essai a duré un mois.

Comptetenu do la durée du stage, l'objectif n'a pas été de présenter dos résultats définitifs, mais plutôt do présenter une démarche scientifique ot d'atteindre des résultats partiels qui devront être approfondis par le programme définitif do recherche.

L'essai de caractérisation hydrodynamique a été mené avec la collaboration de F. BARRET (VSN do SR/Bio).

Le rapport relatif à cet essai a été publié à part. Le présent volume reprend les doux derniers essais.

1 - INTRODUCTION

Dans nos régions, l'eau est le principal facteur limitant du développement de l'agriculture. Dans une optique d'économie et d'utilisation rationnelle de cette ressource rare, la connaissance des besoins en eau des plantes revêt une grande importance; elle permet de déterminer avec précision, les doses d'irrigation en fonction du stade de développement de la plante.

Les besoins en eau dos cultures sont influencés d'une part, par le type de culture (morphologie : répartition spatiale des racines, incide foliaire, coulour des fouilles otc...), d'autre part par le climat. Les principaux paramètres du climat qui influencent les besoins en eau <tant : la demande évaporative de l'atmosphère, le rayonnement solaire, la durée d'insolation, la vitesse du vent et la température. Le présent essai vise à déterminer 1 'évolution du coefficient cultural des oignons (variété Galmi ou IRAT 1) tout au long du cycle de la culture y le coefficient cultural étant défini comme le rapport entre l'évapotranspiration maximum (ETM) et 1 'évaporation à partir d'un bac de classe A. Cet essai fut suivi du 6/3/80 au 9 20/6/80 à la ferme des cultures irriquées du CNRA de Bambey, sur sol de type DIOR - DECK.

La comparaison entre les résultats de cet essai et ceux obtenus à TARNA (NIGER) sur cuves lysimétriques, avec la même variété
d'oignons, nous donnera une idée sur l'influence du facteur climatique sur la valeur du coefficient cultural.

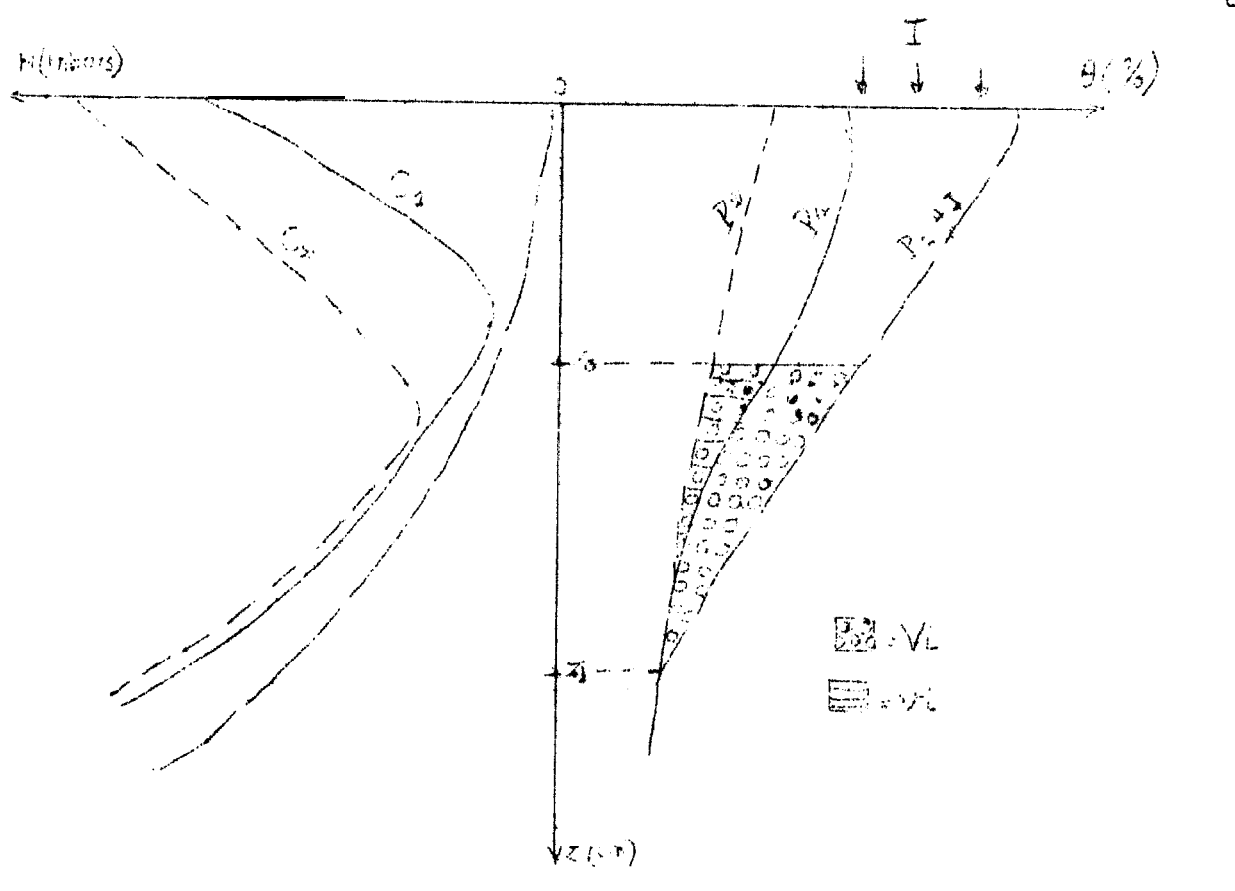
2 - THEORIE DE LA METHODE

P1 et C1 sont les profils hydriques et de charge pris au temps T1

P2 et C2 sont les profils hydriques e-t de charge pris au temps T2

t = 92 - t1 = N jours

Pendant∆t une irrigation [a été apportée au sol



Sur le schéma, le profil hypothétique (P1 + 1) représenterait l'état hydrique du sol à la fin de l'irrigation, à partir d'un profil initial P1.

ETM =
$$\int_{0}^{2} (P1 + I) - \int_{0}^{2} (P2 - 4i)^{2}$$

= $I + \int_{0}^{2} (P1 - P2) - 4i$
ETM = $I + \int_{0}^{2} (P1 - P2) + 4i - 4i$
ETM = $I + \int_{0}^{2} (P1 - P2) + 4i - 4i$
ETM = $I - \int_{0}^{2} S - g$ avec $g = \sqrt{i - 4i}$

q est le flux d'eau d'irrigation drainé ; en dessous du plan de flux **mu**l. Nous posons comme hypothèse que la dose d'irrigation I ne s 'infiltre pas en dessous du de flux nul . Ainsì :

ou
$$ETM = I - 3 \quad enmci \\ ETM = I - S \quad enmm/j$$

Le soucis dt? se conformer à l'hypothèse nous oblige à fixer une dose d'irrigation maximum (IMAX) en fonction de la capacité de rétention du sol.

L'essai de caractérisation hydrodynamique (chapitre 1) a montré que le sol a une capacité de rétention de 13 % entre 0 et 50 cm; cc; qui permet de stocker dans cette couche une lame d'eau de 65 mm. Les premiers profils hydriques relevés montront que 1 'humidité m0yennic du sol dans les 50 promiers Cm est de 1 'ordre de 9 %; ce qui nous permet de fixer une dose d'irrigation IMAX de 20 mm pour ramener le sol à sa capacité de rétention, Chaque foi y que la dose d'irrigation dépasse 20 mm, on irrigue 2 ou 3 fois.

3 - DEMARCHE EXPERIMENTALE

3.1 Les Parcelles

Le terrain servant à l'essai fut délimité en doux parcelles de 12m x 12m chacune. Au milieu de chaque parcelle fut placé un tube d'accès de la sonde à neutrons, le tube est entouré d'un jeu de 5 tensiométres. Tube d'accès et tensiométres sont placés à l'intérieur d'un anneau de garde en fer de 90 cm de diamètre. Un deuxième tube d'accès de la sonde a étéinstallé à environ 30 cm à l'extérieur de l'anneau de garde. Deux pluviométres AGRAM ont été implantés, l'un à l'intérieur et l'autre à l'extérieur de l'anneau. Toute cette installation est entourée d'une diguette de protection qui décrit un carré de 2 mètres de coté. Le but de cet anneau et de la diguette est d'empêcher le ruissellement de fonon à ce que les hauteurs d'eau lues sur les pluviométres traduisent la totalité des apports d'eau au niveau du sol.

Les deux parcelles avaient reçu une culture d'arachide en hivernage 1979 et les façons cultura3es suiVantes en février 1980 : épandage de 10 T/ha d'e fumicage et 150kg/ha d'engrais 10-21-21, arrosage de 15 mm, labour à 15 cm - 13 cm, reparse à la herse en deux passages croisés, finition de la reprise aux rateaux, arrosage 10 mm, repiquage d'oignon IRAT pavec dus plants de deux mois d'âge aux écartements 20 x 10 su avi d'unarrosage de 10 mm. Les techniques culturales habituelles (remplacement, désherbage, épandage d'engrais...) unt été observées.

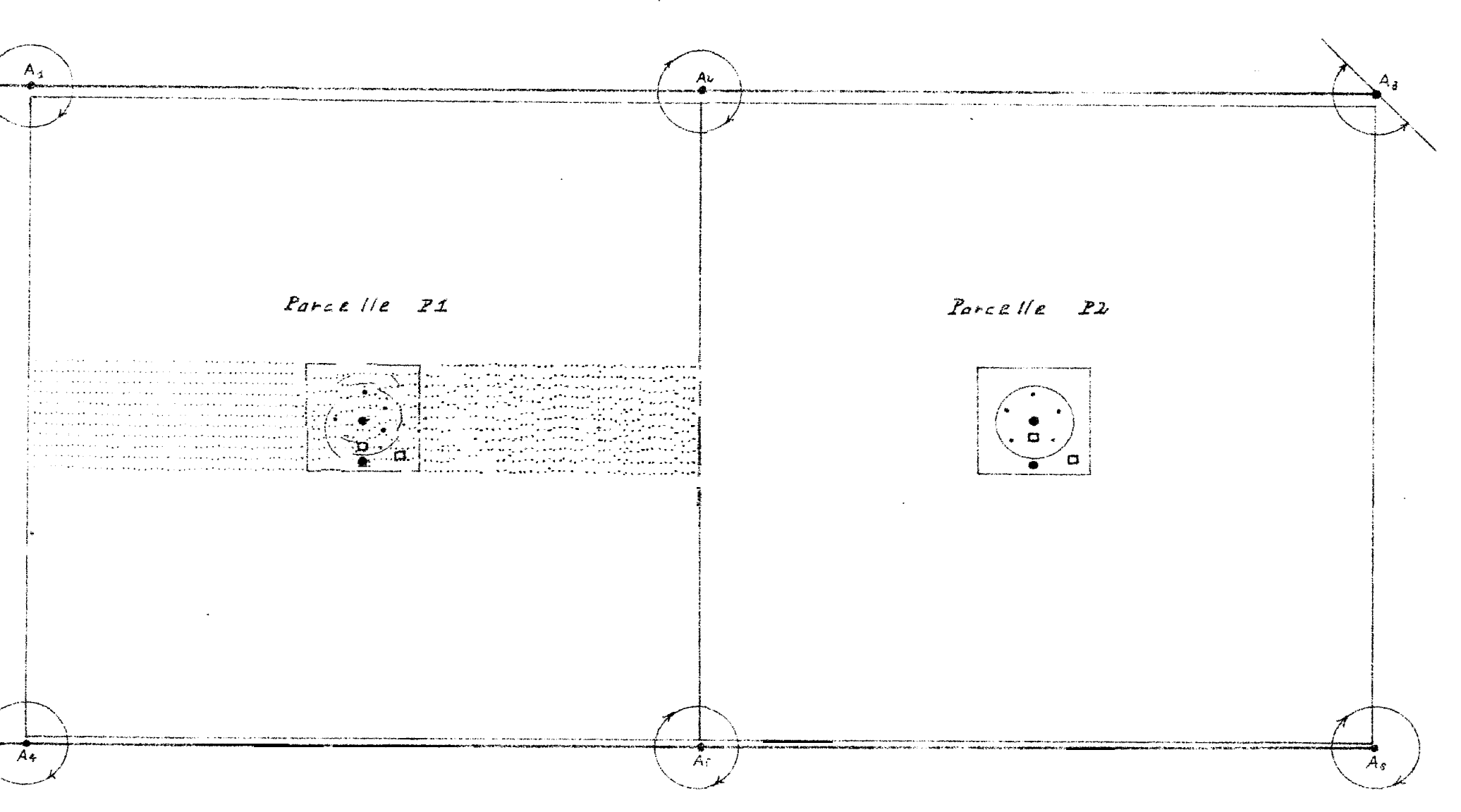
Fig. 2.1: BESOINS EN EAU DE L'OIGHON IRAT 1
PLan d'implantacion de l'essai. Echelle 1/100

. Eube s'acces de la sonde

. tensionètra

a pluviametra

Ai aspensiur





Les parcelles sont irriguées par aspersion à partir de deux rampes, séparées de 12m dont chacune est équipée de 3 asperseurs Rain Bird du type 25 TNT avec un diamètre de buse mesurant 11/64 pouce (= 4.4 mm). A la pression de service de 3 kg/cm2 ces asperseurs ont un débit de 8,69 mm/heure, quand ils décrivent un cercle complet.

3.2. Les Mesures d'humidité ont été effectuées,/repiquage au 50e jours par une sonde PITMAN. A la suite de défectuosités techniques (rupture de câble), cette sonde fut remplacée par une sonde TROXLER, jusqu'à la fin du cycle des eignons. La sonde PITMAN a été étalonnée in situ par prise d'échantibles de sols tous les 10 cm jusqu'à 3.60 m, lors de la pose du tube d'accès. Cos échantillons ent été pesés avant et après un séjour de 48 heures dans l'étuve afin de déterminer leurs humidités pondérales et volumiques. Les tubes d'accès sont en PVC de diamètres intérieur et extérieur de 40 et 45 mm. Ils ent les dimensions suivantes :

1.1 et 1.2 3,76 ni 4 cm	
0 6 1	
2.1 et 2.2 , 3,70 m 4 cm	!

Pour chaque tube, une régression linéaire entre l'humidité volumique du sol, à une profondeur déterminée et le comptage de la Jonde a donné naissance à une équation. Ces quatre équations sont :

Tube 1.1. $8 = \{38,734 \text{ RP} - 0,399 \text{ avec } r = 0.90\}$

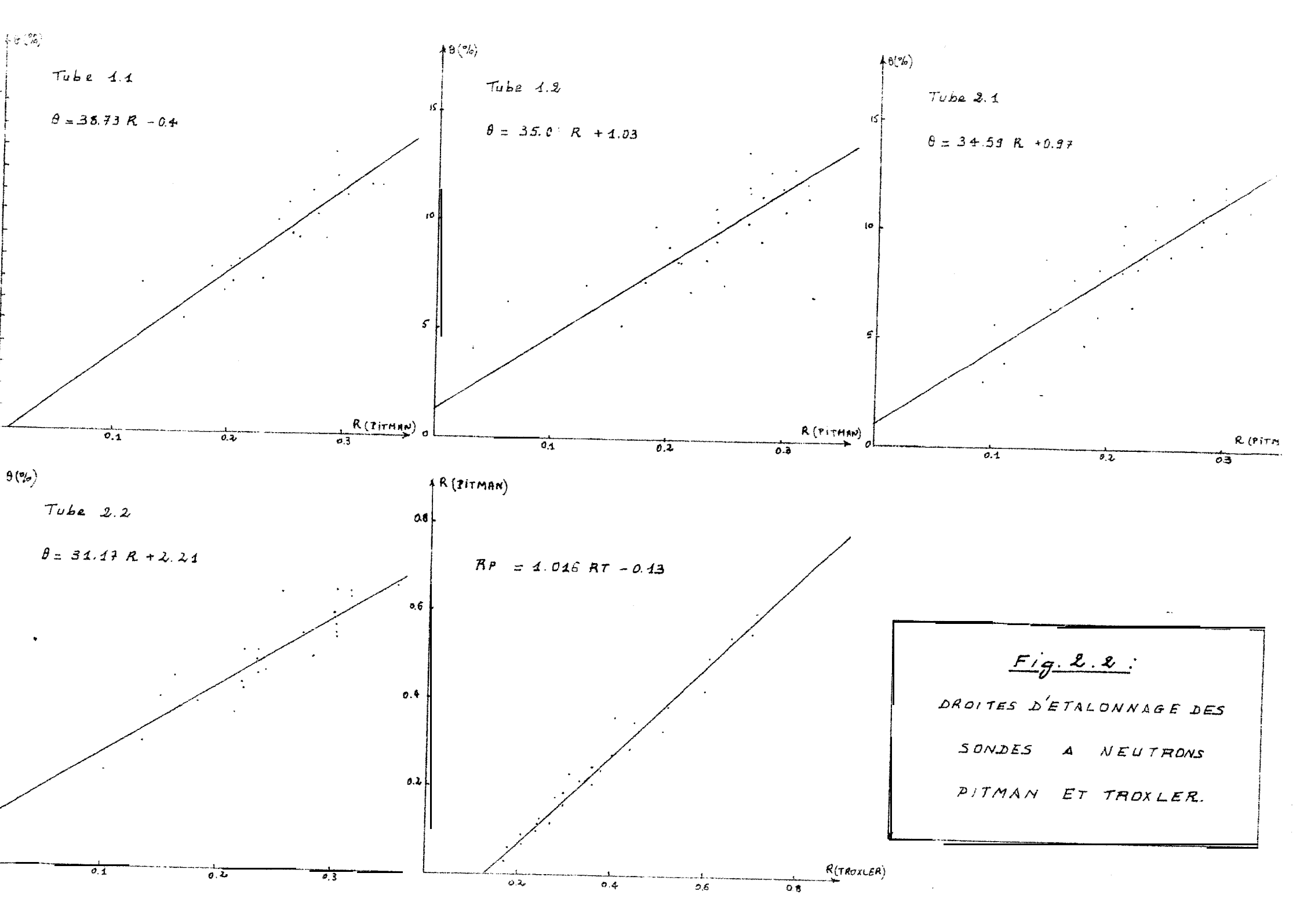
Tube 1.2 $\theta = 35,073 \text{ RP} + 1,027 \text{ avec } r = 0,77$ Tube 2.1 $\theta = 34,589 \text{ RP} + 0,966 \text{ avec } r = 0.88$

Tube 2.2 $\theta = 31,174 \text{ RP} + 2,208 \text{ avec } r = 0,36$

r'étant le coefficient de corrélation

Les comptages ont été rapportés au chiffre adimentionnel RP égal au rapport entre le nombre de C P S (coup par seconde) dans le sol et la moyenne des C P S dans l'étui au début et la fin de la me-sure du profil hydrique

$$R = \frac{C P S \text{ dans le sol}}{0.5 (C P S \text{ étui début+CPS étui fin)}}$$



L'utilisation de R a été faite dans le but de tamponner les faibles variations du comptage, dues à la sensibilité des circuit:: électroniques et de la tension d'alimentation aux variations de températures.

Pour la même sonde (PITMAN), un étalonnage de surface a été éffectué, dans les 30 premiers cm du soi. La relation suivante a été obtenue : θ = 23.25 x RP + 3.517 avec r = 0.53

Une relation a dté établie expérimentalement entre le comptage de la PITMAN (RP) et celui de la TROXLER (RT) :

RP = 1.016 RT - 0.13 avec r = 0.98

Ces diverses relations sont représentées à la figure 2.2 L'équation RP (RT) ci-dessus a permis cl'établir les relations g (RT) Pour l'utilisation de la TROXLER:

Pour les profondeurs 7 % 30 cm

tube 1.1 θ = 39.346 x RT - 5.585 tube 1.2 θ = 35.627 x RT - 3.669 tube 2.1 θ = 35.135 x RT - 3.665 tube 2.2 θ = 31.666 x RT - 1.961;

on a procédé à un étalonnage de surface ($Z \le 30$ cm) Pour la sonde TROXLER. Cet étalonnage a été offectué sur sol sec et sur sol humide avec prise d'échantillons tous les 5 cm afin de multiplier le nombre do point de mesure. L'équation de surface obtenue est : $\theta = 40.9 \ \text{RT} = 1.764$ avec un coefficient de corrélation r = 0.936.

Remarquons que le même étalonnage de surface donnait Pour la PITMAN un coefficient de corrélation nettement Plus faible (r \pm 0.53)

Les mesures de Profils d'humidité ont été réalisées en moyenne une fois tous les trois jours, juste avant une irrigation.

5.3. Mesure des charges hydrauliques

Ces mesures ont été effectuées au moyen de tensiométre du type 2131 du SOIL MOISTURE équipoment corporation.

Un jeu de 5 tensiomètres fut placé dans chaque parcelle à l'intérieur de l'anneau de garde. Les capsules poreuses des tensiomètres se situent aux profondeurs de sol suivantes, exprimées en centimètres: 20-40-60-80 et 100.

Tout au long do l'essai les tensiomètres ont été purges le moins souvent possible, afin de ne Pas augmenter exagérément le tensur en eau du sol encontact avec les capsules porsuses, ce qui pourrait

réduire sensiblement la succion et donc la chargehydraulique relevée En cas de nécessité (formation de vide sous les bouchons des tubes) les tensiomètres sont purgés la voille d'une mesure. Les coupures de la colonne de mercure sont rélablies par un léger taphtement sur la colonne de manière à faire redescendre le mercure. Chaque jeu de tensiomètre est lu une fois tous les trois jours, juste après la mesure des deux profils hydriques de la parcelle.

3.4. Mesure du bac classe "A"

Tout au long du cycle des oignons, la hauteur d'eau dans le bac a été lue chaque jour à 8H 30. Pour tenir compte des effets d'un éventuel microclimat le bac a été placé dans un terrain labouré, à quelques mètres des parcelles de cultures d'oignon. Remarquons que l'asperseur Az décrit un demi-cercle de façon à me pas mouiller le bac

3.5. Dose d'irrigation :

Elle est déterminée en fonction de la consommation ab eau des cignons durant les trois jours précédant l'irrigation, par la formu le : $D = K \cdot \sum_{k} E$

avec D = dose brute d'irrigation (mm)

K = coefficient cultural defini à TARNA (NIGER)

ΣΕ = hauteur d'eau évaporée par le bac durant les 3 jours précédents l'imrigation

€ ≠ efficience de l'irrigation, prise égale à 73 % pour s'assurer qu'en cas où K (TARMA) est sous estimé ; la culture ne manque pas d'eau.

4 - METHODE DE DEPOUILLEMENT,

La démarche suivante a été suivie pour le calcul. Détermination de Zo. Apartir des valeurs des mesures, les profils hydriques $\theta(z)$ et les profils de charge H(z) sont représentés sur papiers millimétré (cf graphique en annexe). Chaque profil de charge, permet d'avoir la côte du plan de flux nul moyen situé à la cote Zo égale : la moyenne des côtes des plans de flux nul correspondants aux deux mesures (cf Π 1.2)

. calcul de
$$\triangle$$
S
$$\triangle$$
 S = Sf \mathcal{J}_{o} - Si \mathcal{J}_{o}

Si $\mathcal{J}_{_0}^{Z_0}$ = stock hydrique dans les z_0 premiers contimètres du sol relevé Lors du premier prof i l hydrique

Sf $_{-}7_o^{Zo}$ = stock hydrique dans les z_e premiers contimètres du sol relivé lors du second prof il hydrique

. Calcul do ETM =
$$I = \Delta S$$

où I = dose d'irrigation (mm) apportée à la culture entre les 2 profils hydriques

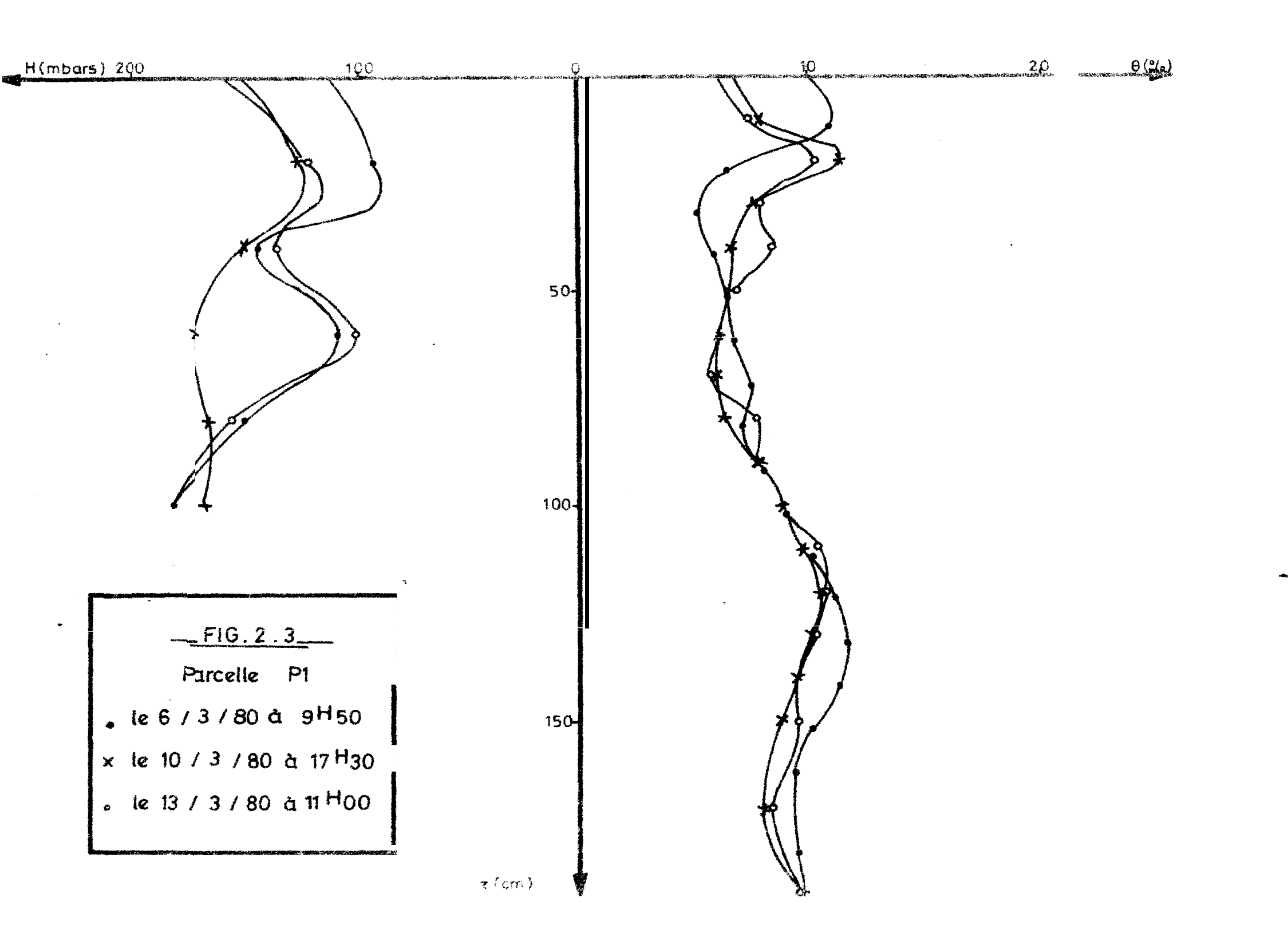
N = intervalle de temps (cn jours) séparant les 2 profils hydriques.

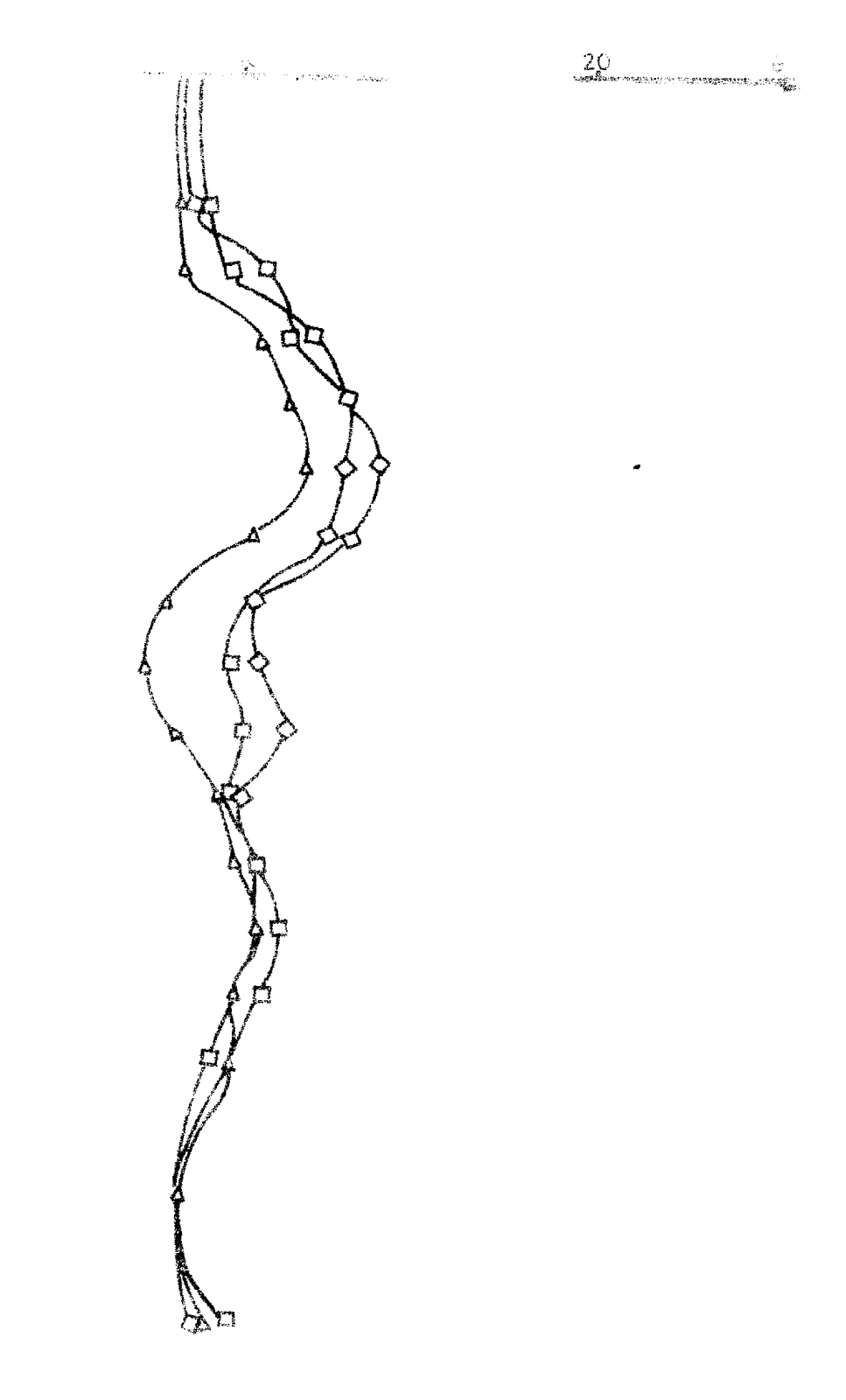
5 - REMARQUES

Les figures 2 - 3 à 2 - 12 représentent les profils 6(Z)et H(Z) obtenus pendant les 45 premiers jours de l'essai. Ces courbes so rapportent aux deux parcelles cultivées. Les courbes 8(Z) et H(Z) de la période allant du 45c jour à la fin de l'essai ne sont pas publiées dans ce rapport, dans un but de synthèse. De plus, ces dernières courbes épousent l'allure générale de celles représentées aux figures 2 - 3 à 2 - 12. De l'examen de ces graphiques, les remarques suivantes s'imposent:

Remarque - 1: Aussi bien pour le carré 1 que pour le carré 2, les trois premiers profils H(Z) (des 6 - 10 et 13 Mars 1980) dénotent une allure en double 5. A mon avis, cette allure déjà rencontrée en terrain sous culture pout s'expliquer par le raisonnement schématisé à la figure 2 - 13* Si une faible dose d'irrigation n'intéressant que les 20 à 30 premiers centimètres est appliquée au sol, les tenstemètres situés à moins de 30 cm de prefendeur dénotent une chute de charque hydraulique (percolation de la dose : tronçon b) tandis que caux situés à une plus grande profendeur ne réagissent pas. L'évaporation faisant suite à l'irrigation crée un second plan de flux nul, qui se déplacera progressivement en profendeur (tronçon c). Si l'évaporation se maintient assez longtemps, le tronçon c finira par se confondre à la courbe H(Z) initiale, dans sa partie soumise à l'évaporation.

Remarque - 2 : A partir du 18/3/80, les courbes H(Z) relevées dans la parcella P1 épousont l'allure caractéristique à un sol soumis à évaporation superficielle et à drainage interne. Par contre, les profils H(Z) relevées dans la parcelle P2 continuaient à dénoter deux plans de flux nuls. A la recherche d'une explication de ce phénomène, nous avons procédé à une irrigation test. il s'agit :





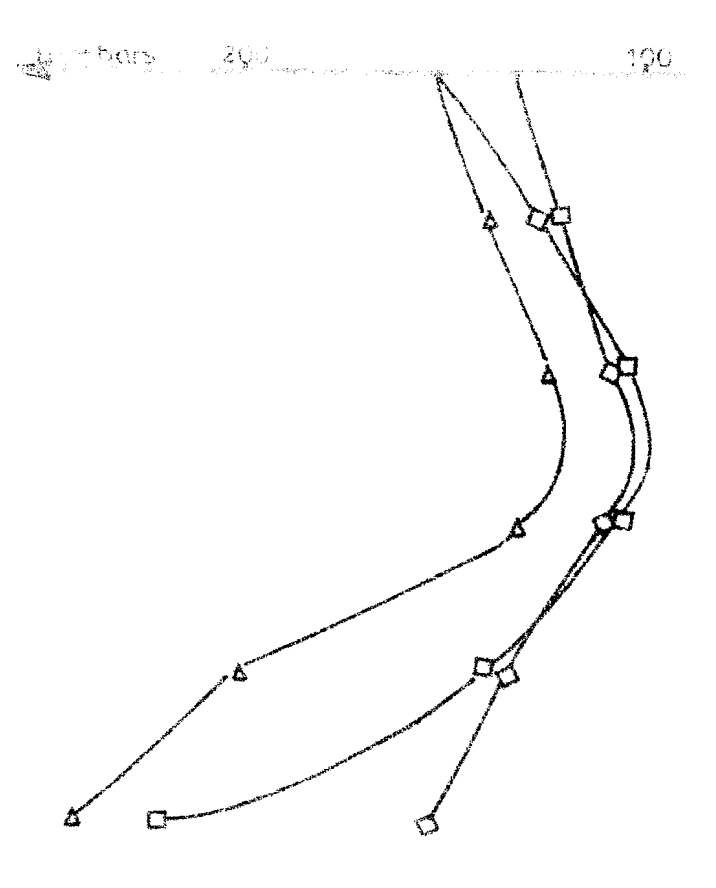


FIG. 2.5

PARCELLE P1

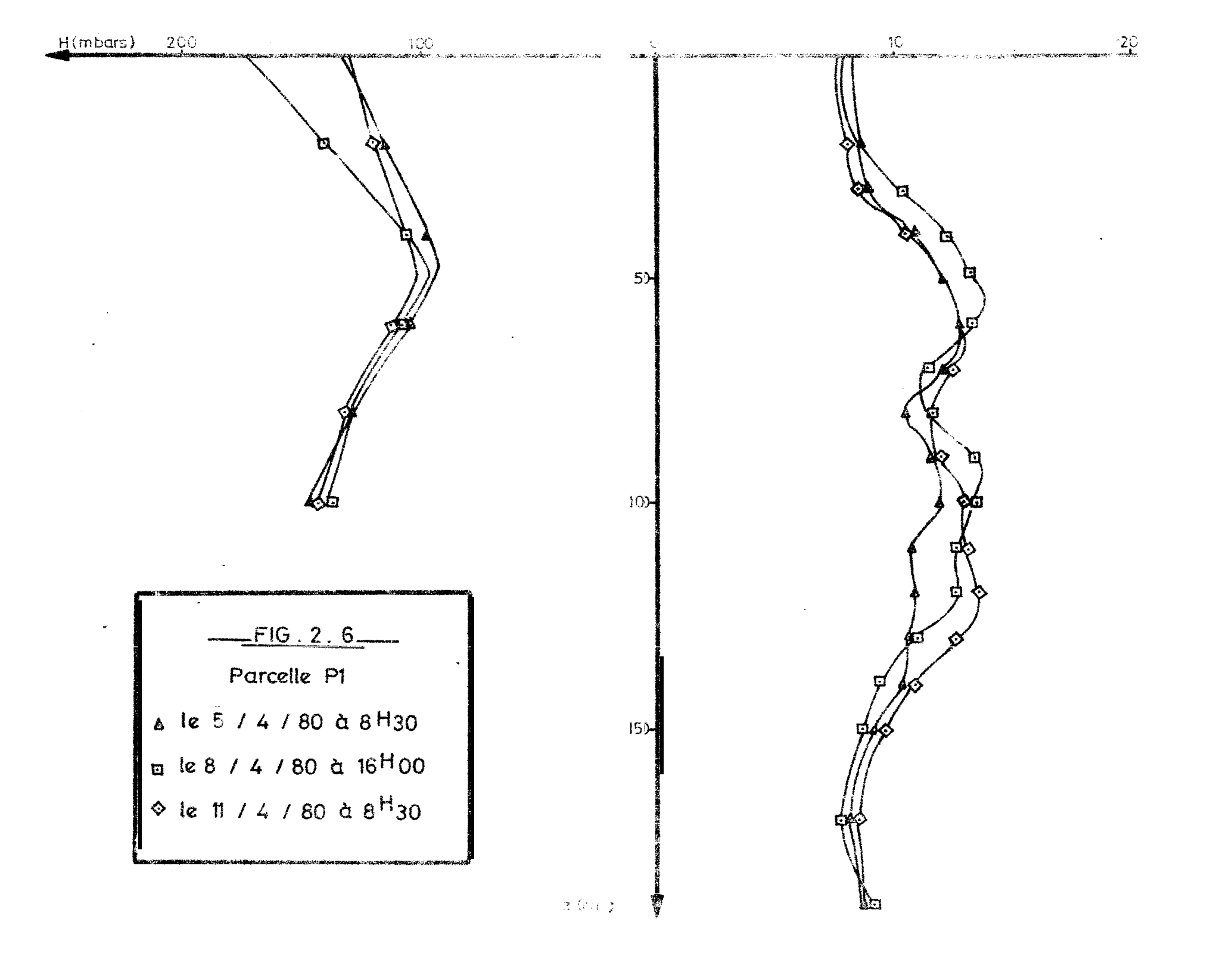
i le 25 / 3 / 80 à 8 H 50

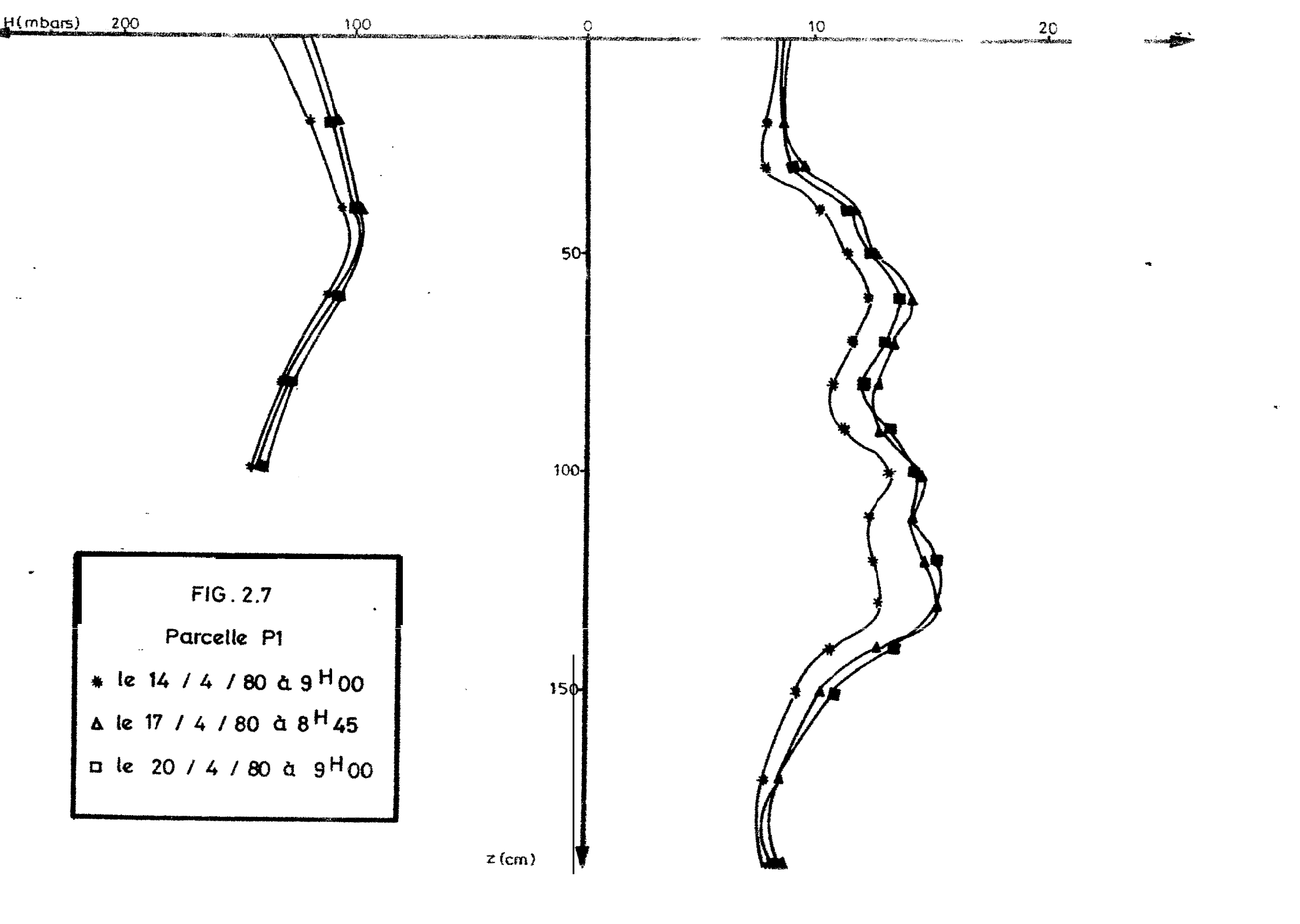
b le 2 / 4 / 80 à 8 H 50

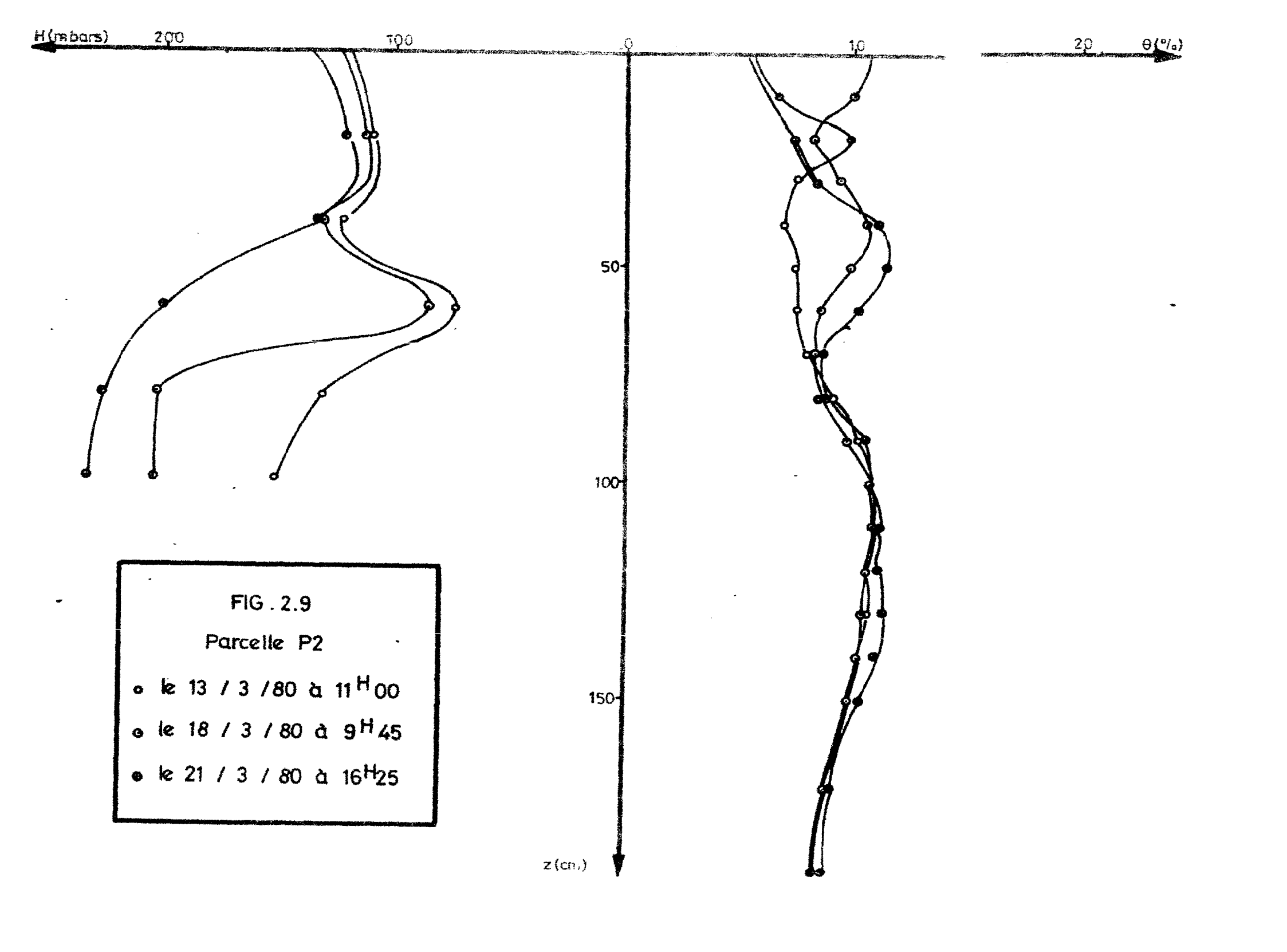
100-150

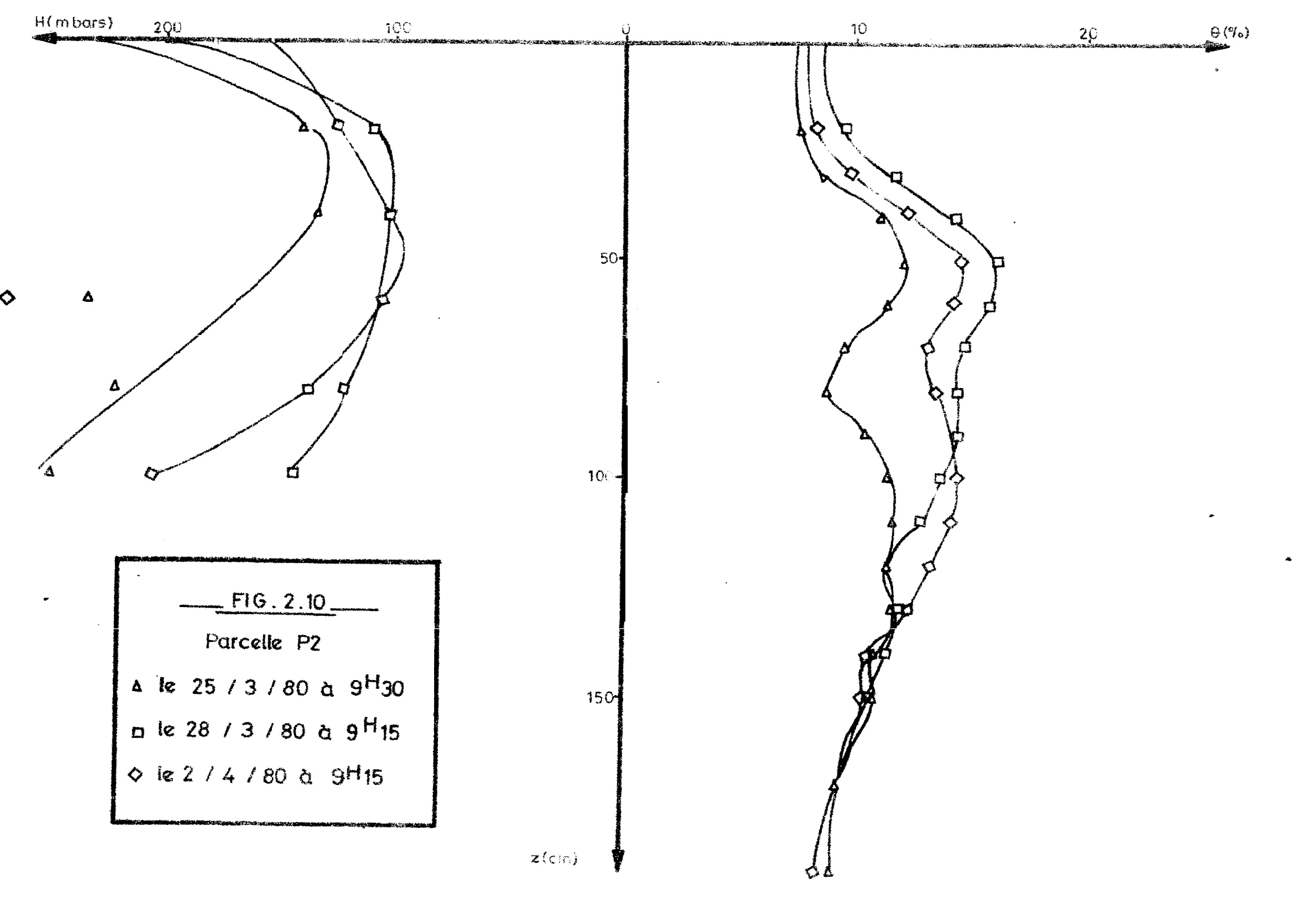
50-

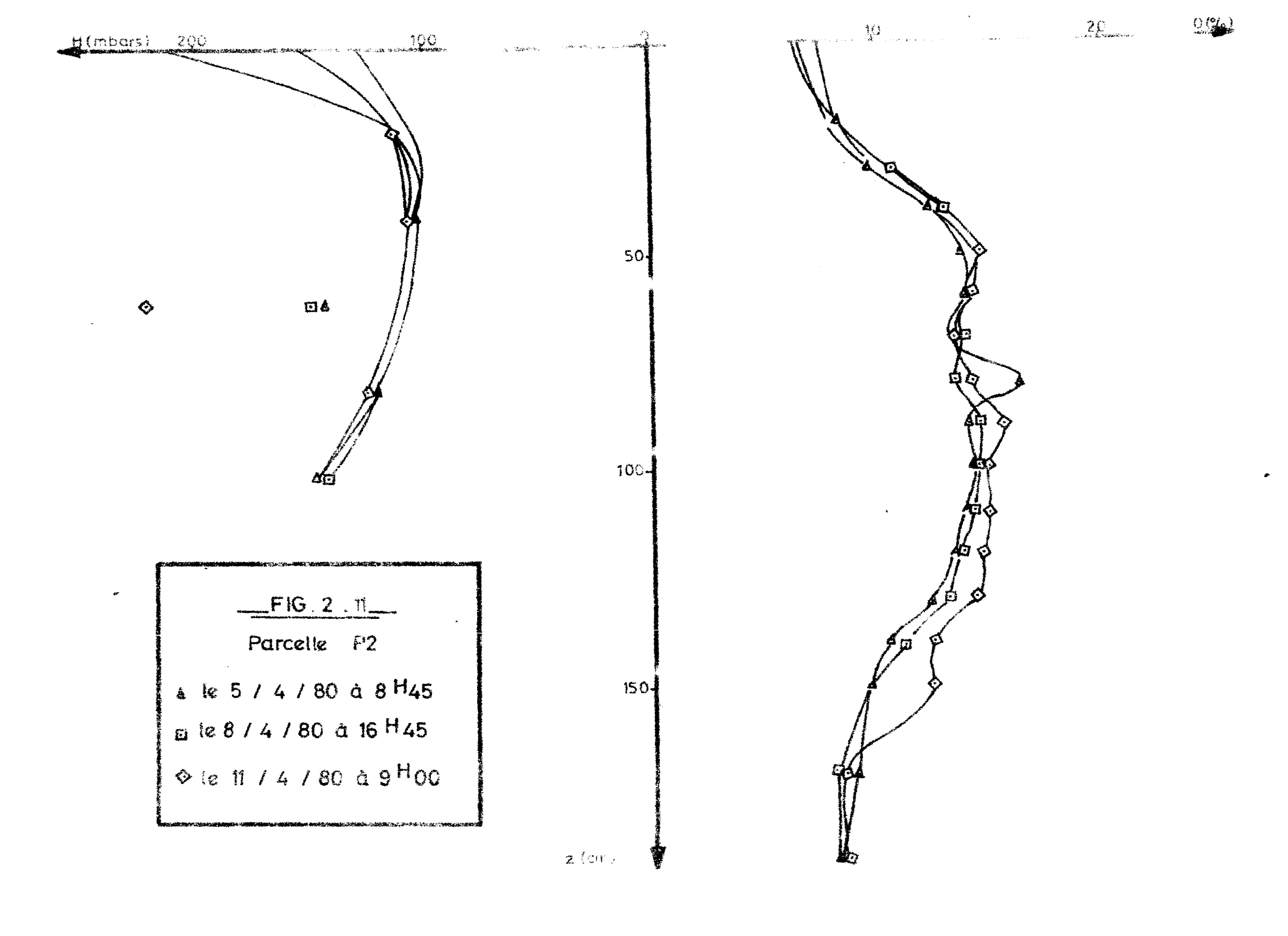
z (cm) 🖁



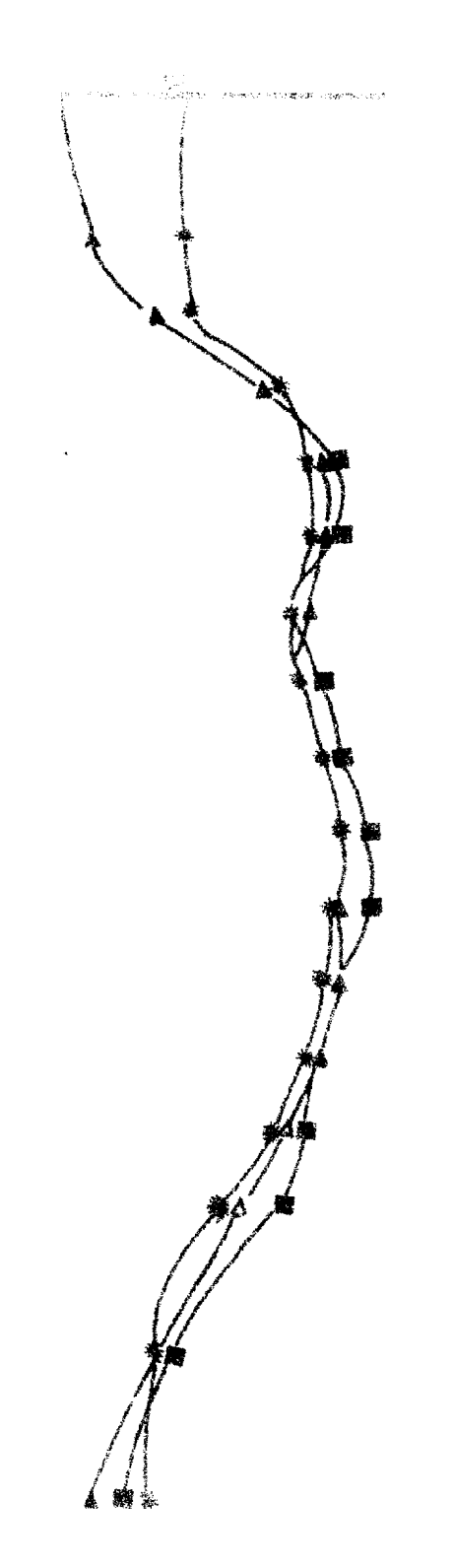








100 FIG. 2.12 PARCELLE P2 * le 14 / 4 / 80 à 10 H35 150a le 17 / 4 / 80 à 9 H 05 me le 20/4/80 à 9H25



2 (cm) 🌹

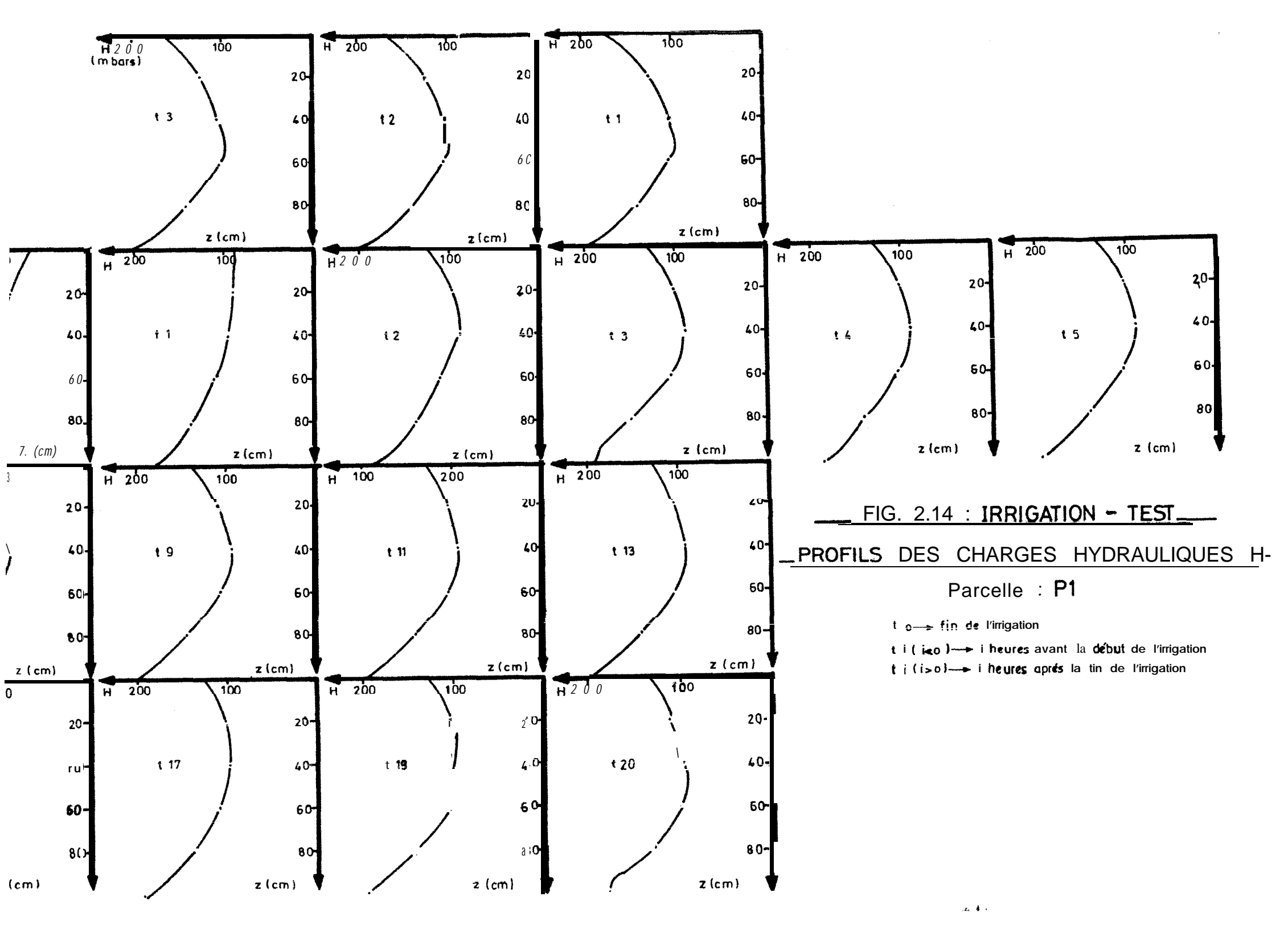
- 1 d'appliquer la dose d'irrigation IMAX = 20 mm.
- 2 de lire avec précision les hauteurs d'eau relevées par les pluviomètres
- 3 de suivre l'évolution des profils de charge H(Z) durant 24 heures en lisant les tensiomètres toutes les heures pendant la journée et toutes les deux heures pendant la nuit.
- 4 de suivre l'évolution des profils hydriques e(Z) après l'irrigation.

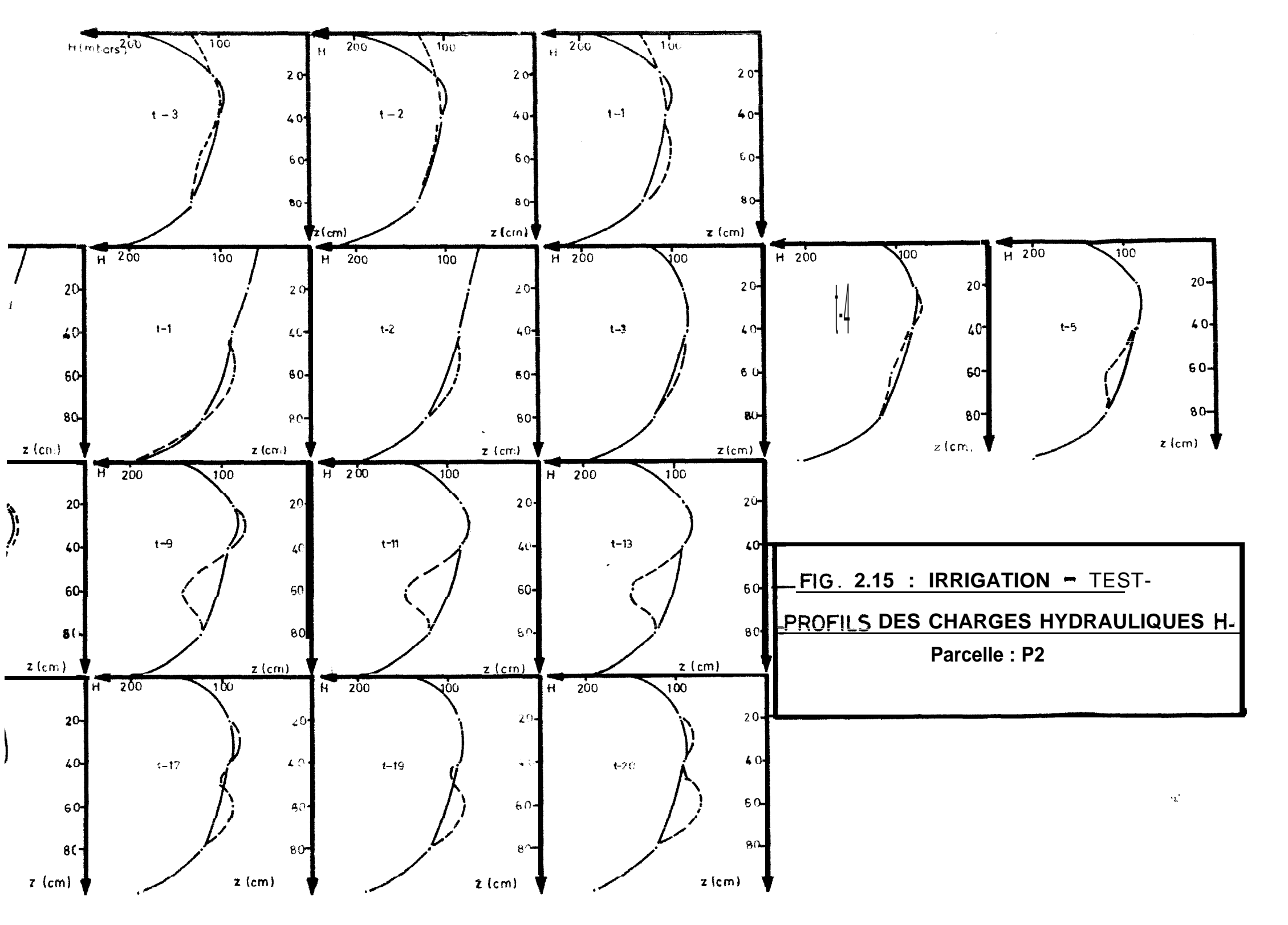
fr cours de cette irrigation, nous avons fixé une durée d'arresage de 2 heures 18 mm et les heuteurs d'eau relevées par les pluviomètres furent 23 mm à l'intérieur de l'anneau de la parcelle P1 et 19 mm à l'intérieur de l'anneau de la parcelle P2. Les profils de charges hydrauliques H(Z) sont représentés aux figures 2 - 14 et 2 - 15. Notons que le temps to correspond à la fin de l'irrigation. Le temps tx correspond à x heures après la fin de l'irrigation (si x est positif) ou à x heures avant le début de l'irrigation (si x est négatif).on constate :

1. Pour la parcelle P1 (fig. 2 - 14)

Après les profils du drainage correspondant à to et t1, en note la formation d'un plan de flux nul à 30 cm, deux heures après la fin de l'irrigation (t2 = $15^{\rm H}$). La profondeur de Ce plan augmente et se rétabliera à 50 cm, 20 heures après la fin de l'irrigation. Ces profils sont tout a fait classiques,

La figure 2 - 16 illustre l'évolution des charges hydrauliques à une profondeur déterminée, en fonction du temps. Elle nous permet de constater les réactions décalées des tensionètres à 20 cm puic à 40 cm, au cours de l'irrigation. Le tensiomètre à 60 cm ne réagit pas après l'irrigation; les profils hydriques 8(Z) (fig. 2 - 18) montra-ront que les teneurs en eau ne varierent pas de façons significatives à cette cote, après l'irrigation. En utilisant la courbe succion teneur en eau h(o) caractéristique du type de sol (déterminée en ch.I*) nous nous rendons compte qu'à 80 ct 100 cm de profondeur, la succion (et donc la charge) évoluent beaucoup pour une très faible variation de la teneur en eau. C'est ainsi que les profils de charge à 60 et 100 cm correspondent à des variations de teneurs en eau respectives de 2.4 et 1.5 %. Ces variations sont de l'ordre de grandeur des erreurs de mesure de la teneur en eau (cf annexe).





2. Pour la parcelle P2 (fig. 2.15)

Les profils de charge (Hz) de la figure 1.15 dénotent la formation de deux plans de flux nuls : l'un se stabilisant à 30 cm et l'autre passant de 86 à 60 cm vers la fin de l'essai. Les profils de la figure 2.17 nous permettent à diucider ce dernier point. Tous les profils H(t) sont semblables à celles de la fig. 2.16 se rapportant au carré 1, sauf celui donné par le tensiomètre à 60 cm. Ce tensiomètre réagit en même temps que celui à 40 cm. Do plus en utilisant la relation, succion teneur en eau du sol, on constate que juste après l'irriquation, le sol est saturé à 60 cm; puis se déssèche par atteindre 12% 11 heures après la fin de l'irrigation et en fin de compte se rehumidifié jusqu'à la saturation en quelques heures. Les profils hydriques 0-(Z) relevés (fig. 18) ne montrent/cette suits d'humidification et de desaéchement à la cote 60 cm.

Suite à cette enomalie de fonctionnement du tensiomètre à 60 cm les valeurs relevées à cette cote ent été supprimées. Les profils (H(Z) ent alors un seul plan de flux nul qui se stebilisé à 30 cm de profindeur.

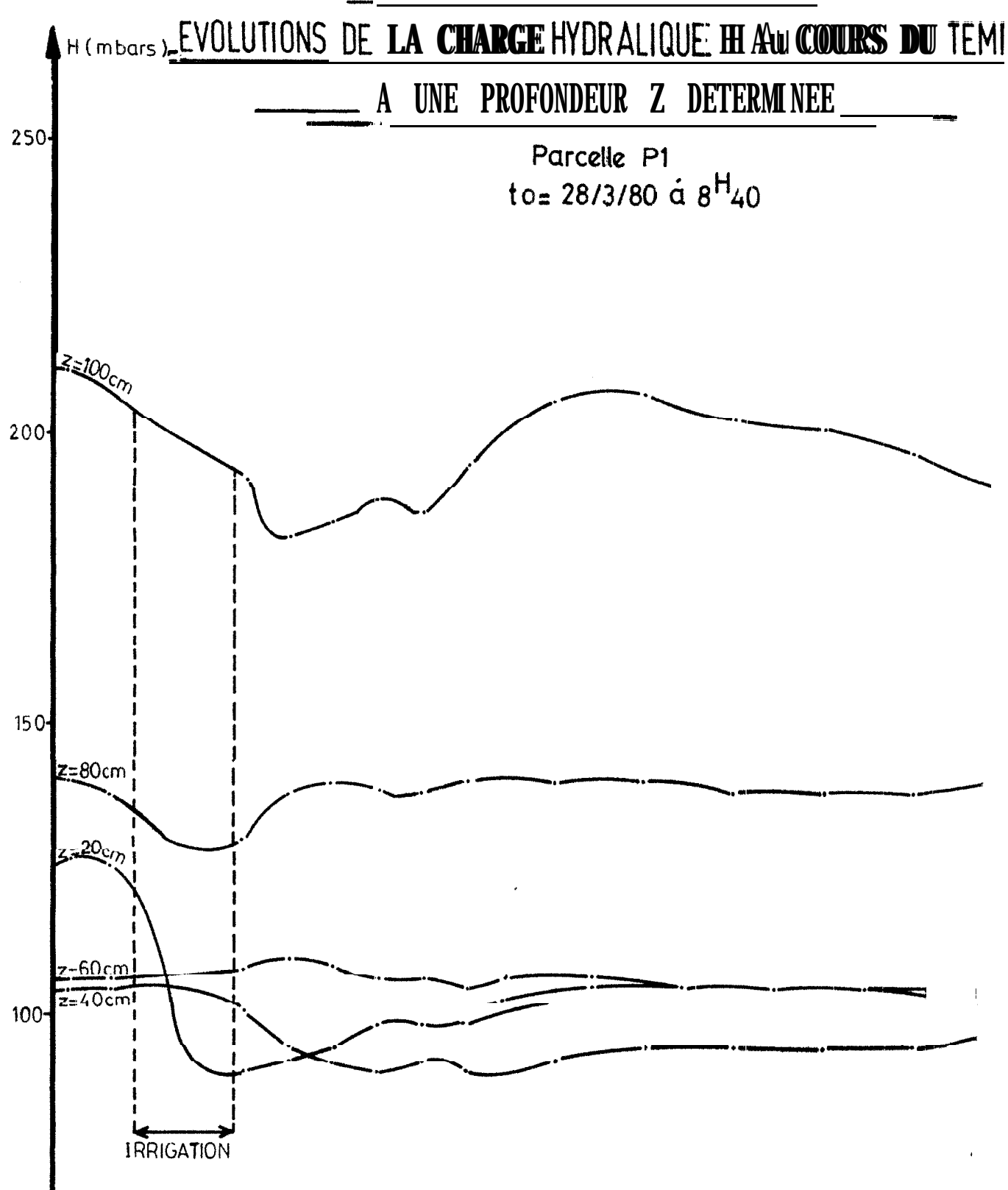
R arque: 3 De l'examen des profils hydriques 8(Z) il ressort que la dose IMAX n'affecte que la couche de sol entre 0 et 50 cm de profondeur.

De plus les variations de la teneur en eau en dessous de la cote 50 cm sont très faible compte tanu des prreurs de mesures (of annexes)

6 - RESULTATS ET DISCUSSION

Les tableaux 2.1 a 2.8 et la figure 2.19 représentent les valeurs du coefficient cultural obtenu, durant le cycle de l'oignon, sur les parcelles P1 et P2.Commentons ces résultats :

5.1. : Au cours de l'essai, les oignons du carré 1 ont été repiquées plusieur fois suite à une nécrose. D'une façon générale, les oignons de la parcelle P1 ont été une santé moins bonne que ceux du carré 2, beauceup plus luxuriants. Puisque notre objectif est de déterminer l'évolution des besoins en eau d'un pied d'eignon du débuteà la fin de son cycle végétatif, nous ne saurons prendre en considération les résultats du carré 1 dans lequel plusieurs repiquages ont été apérés à diverses périodes du cycle.



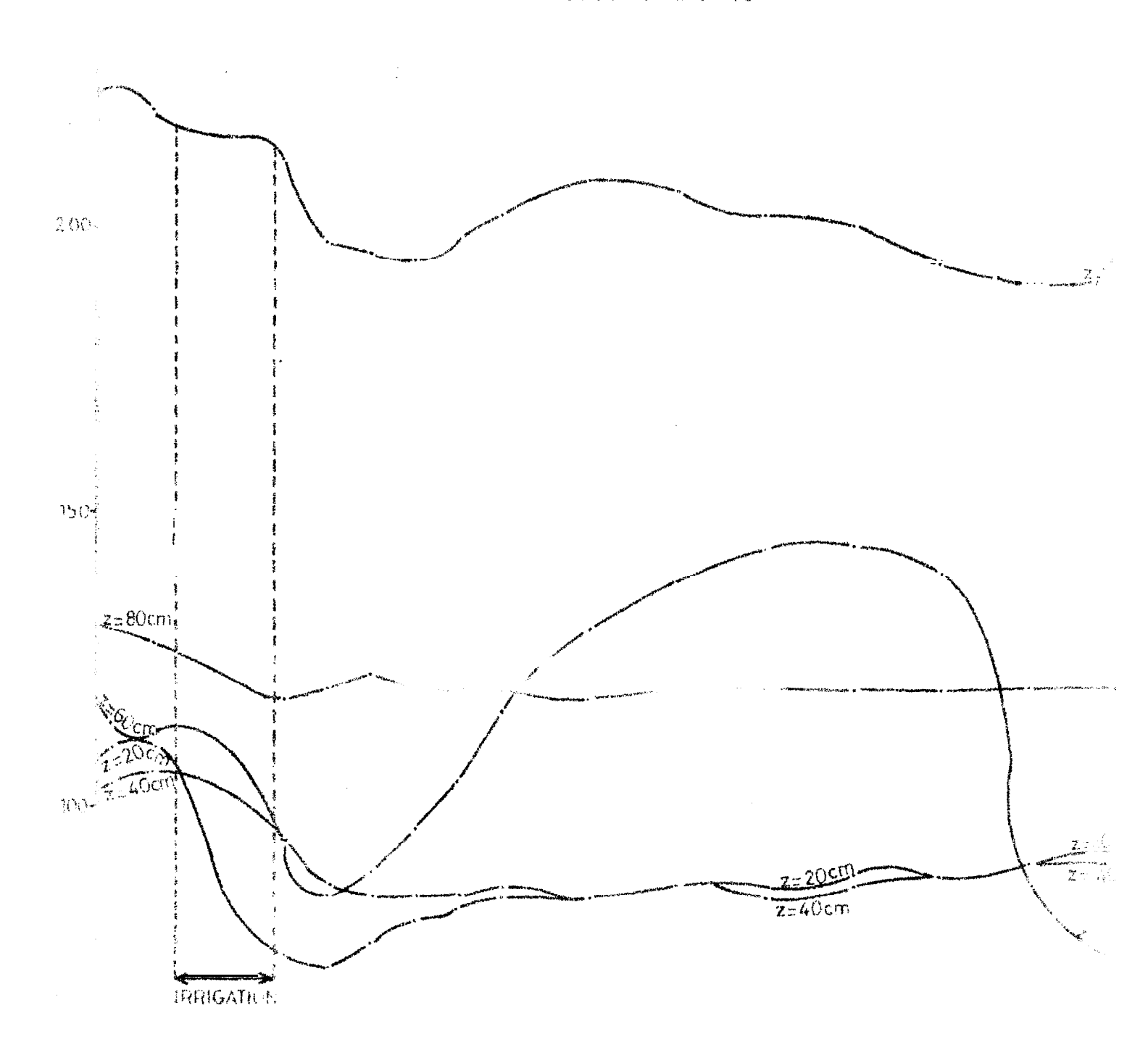
50-

___ FIG. Z. 17: IRRIGATION TEST___

EVOLUTIONS DE LA CHARGE HYDRAULIQUE H AU COURS DU TEMPS

A UNE PROFONDEUR Z DETERMINEE

Parcelle P2 to=28/3/80 á 8^H40



250

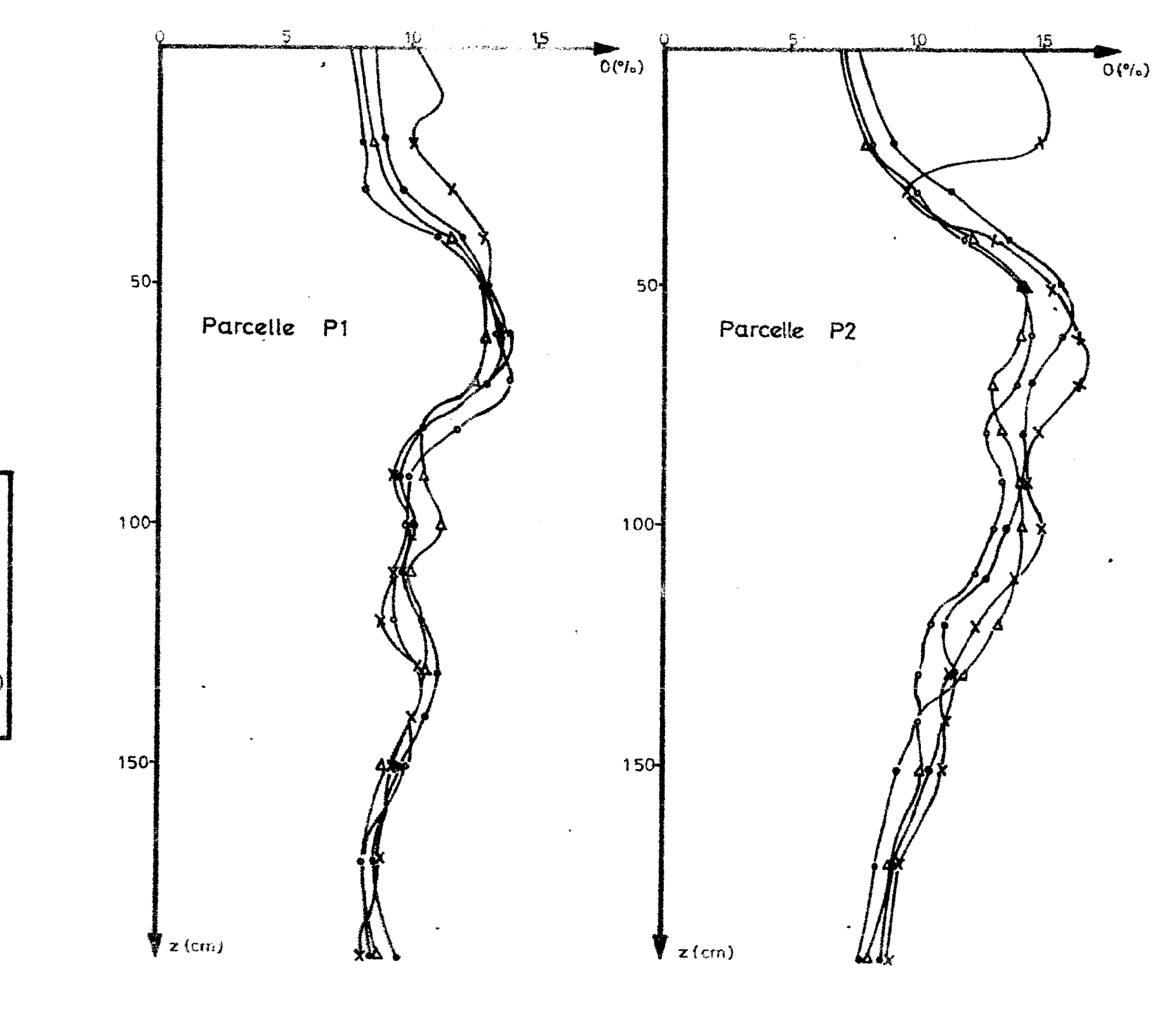


FIG. 2 .18__ Irrigation - test

Tableau 2 .1 Y ESSAI BESOINS EN CAU OIGNONS

Tube 1.1 Période du 1er au 45ejour

 Date	Heure	! !Zo(cm) !	Si.7 ^{Zo}	Sf_720 (mm)	! !-A S (In m)	! I (mm)	N(j)	C=ETM (mm/j)	Ev bac (mm/j)	К
6/3/30	10H 00	: ! :	18.96		} }	!		!		!
!	4.511 22.55	30 !	!	70 00	-13.32	28.1	4.3	3.44	11.48	0.30! !
10/3	16H 35	! ! 30	32.28 !	32.23	! !+ 2.79	8.5	2.7	! ! 4.18	6.99	: 0.60
13/3	9H 35	i	51.71	29.49	ì	1		!		
18/3	! ! ; 8H 50	! 60 !	36.43	57.54	(20.5 !	! 5 !	2.93	8.36	0.35
1 19/2	! 511 20	! ! 40	Ju • 4 J) / • /··	! ! 3.03!	11.5	3.3	4.4	9.49	1 10.46
21/3	15H 40	:	33.40	33,40	•		!	<u>!</u>		•
25/3	! ! 9H 50	! 40 i !	45.03	34.14	!- 0.74! !	! 29.0 !	3.7	7.64	12.64	0.6U!
!	! !	! ! 50	: [! !- 5.58	23	3.0	5.81	10.82	0.54
28/3	9H 00	: ! ! 50 .	50.61	50.61	1 + 4.02	! ! 2 3 1 1 /1	! ! ! 5	8.20	13.27	0.62
2.4	8H 50	! !	46.59	43.59	!		! !			U • Ox. •
!	611 70	! 50 !			!- 0.23	27	! 3 !	8.92	10.53	0.85
5/4	8H 30	! ! 50	46.82	46.82	! !- 3.45	! ! 23	! ! 3.3	! 5.92	9.53	0.62!
8.4	16H 00	! !	50.27	i		9	! !			<u>:</u> !
111/4	8H 30	! 50 !	! !	44.94	!+ 5.33!	! 23 ! !	2.7	!10.49 !	12,46	0.94! !
		! ! 50		17.7.6.2.1	! !+ 1.13	! ! 22	! ! 3	7.73	14.04	0.55
14/4	9H 00		43.76	43.76		!				!!
17/4	8H 45	50	49.28	49.23	!- 5.52!	! 28 !	3	! 7.49 !	11.42	0.66!
!		50	:		1.24	: ! 10	3	6.75	9,09!	0.74
20/4	9H 0C		<u> </u>	48.04					: !	: !

ETM = 282.43 mm/46j = 6.14 mm/jEv bac = 487.26 mm/46j = 10.59 mm/j

KG = 0.58

Tableau 2.2 : BESOINS EN EAU DES OIGNONS Carré-1 Période du 46e au 75e jour

i Dato	Houre	! !Zo(¢m) !	, ,	7 1.3	-Δs	I (mm)	! ! N(j)	ETM (mm/j)	Ev bac (mm/j)	K
: : 20/4	! ! 9H		48.04				!		!	
•	!	50			+ 0.82	2 4	! ! 3	8.27	12.42	0.67
: 23/4 :	8H 3G! !	50 .	47.22	47.22	- 2.83	2 6	! ! 3	! ! !	10.02	0.77
: ! 26/4	! ! 8H 30!	:	50.05	50.05!		20			10.02	U•//
		50			- 0.54	2.5	3	8.15	11.37	0.72
: 29/4 :	9H 30!	50	50.59!	50.59	+ 0.01	24	3	! ! e n !	10.43	0.77
: ! 2/5	9H !		! 50.58!	50.58		· r		0.0	10.47	
: ! ! = /r:		50	;		+ 0.21	2 0	3	6.74	12.33	0.55
! 5/5 !	10H 15!	50 !	50.37!	50.37!	- C.84	2 3	3	9.39	10.10	G.92
: ! a/5	8H 45	,	51.21	51.21			!	,,,,	,0.,0	U . J Z
12/5	9H 30!	50		! ! 	+ 1.32	27	4	7.08	10.25	0.62
: 12/J] :	90 20:	50	47.89! !	49.89!	+ 0.05	25	4	6.29	10.62	0 . 59
: !16/5	9H 00!	1 1 1	49.84	49.84!	!	!	!			
19/5	: ! i	50	: }	: !	- 0.65	25	3 !	8.12	12.19	0.67
17/7				50,49!		A straight and constraints		!	! !	

ETM = 222.53 mm/29j -- 7.68 mm/j E v bac = 320.06 mm/29j = 11.04 mm/j KG = 0.70

Tableau 2.3.

Carré-1 Période du 760 jour au 950 jour

Date	Heure	! Zo (cm)	 Sa_7 ^{Zo} (mm)	(mm)	2 ∆ - (mm)	I(mm)	N (j)	C=ETM (mm/j)	Ev bac !(mm/j	K
	: 						! !	!		and the hird soul soul soul
19/5	!10H 15		50.49]	!		?	<u>!</u>		!
! !		50	! !		- 0.38	28	3	9.21	10.86	0.85
22/5	9H 25	!	50.87	50.37			<u>.</u>	2		!
! !	! !	5C	!	:	+ 2.79	21	5	4.76	10.49	0.45
27.5	! 9H 25	!	35.77	48.08				•		
1	7	40	! !		- 9.43	36	ij	8.86	12.23	0.72
1 00/5	10H 00	!	45.20	45.20	!	! !	!		<u>;</u>	
: :	: !	40	: !	<u>.</u>	+ 4.77	37	5.24	12.89	9.66	1.33
2/6	15H 49	<u> </u>	47.35	40.43				<u>!</u>	!	!
!		50	: !		- 5.70	19	2.76	4.82	10.16	0.47
5/6	9H 15	!	39.69	53.05		!	<u>!</u>	9	!!!	!
!		40	:	: :	- 4.75	61	4	14.06	7.94	1.77
! 9/6 ! :	10H 35!			44.44	;				:	:
: !	:	. <u>.</u>	! !	4.0	: !		· ·	: !		!
<u>.</u> !]	:	<u> </u>	1	!					!

ETM = 201.19/21j = 9.58 mm/jEv bac = 212.32/21j - 10.13 mm/jKG = 0.95

Tableau 2.4 : BESOINS EN EAU OIGNONS

Carré-1 Période : du 96e au 107e jour

***	Date	Haure !	Zo	Si_700	Sf_7Zo	- 1 S (mm)	(mui)	N (j)		Ev bac !(mm/j) !	
	19/6	9H 35		! ! 59.53							
	44/6	9H 00!	50	! ! ! ## 0 0 1	EO 04	+ 6.62	25	5	6.32	9.24	0.63
:	1970	יטו חל ווטי ! !	50	52.91	22 • 9 	- 3.03	46	3	14.22	11.04	1.29
	17/6	!10H 10!	! 50	!56.24 !	56 . 24	+ 1.09	35		1	C (2)	1 . 2 4 .
-	20/6	: 10H 30		<u>!</u>	55 . 15	+ 1.00)	3 !	12 • U2 	7.00	1.24.
	: !									! ! ?	
•	; <u>!</u>	<u> </u>			! !	1					7
							<u>.</u>				

ETM = 110.35/11j = 10.03 mm/j

Ev bac = 108.35/11j = 9.85 mm/j

KG = 1.92

Tableau 2.5YESSAIBESOINSENEAU OIGNONSTube 2.1Période : du 1er au 45e jour

Date	Heure	! !Zo(cm) !	!!Si_7 ^{Zo} !!SI	Sf Zo	<u>-</u> ΔS Ø(nm)	I (mm)		!C=ETM !(mm/j) !		
6/3	! !10H 25!		! ! 37.10				!	!	!	
	! !	60		•	-11.01	24.8	4. 3	3. 21	111.48	0.28
! 10/3 ! !	17H 30	ì	! 48.11		1	! !		!		
! ! 13/3	: !10H 10!	60 !	! ! 5n.14!	50 . 14	. 2. 03	9.0	2. 7	2.58 	6. 99	0.37
!	! !	60	! !		4.16	29.0	; 5	! 4.97	! 8.36	0.59
1./3	9H 25		35.00	?	! !	!	!	!	! !	!
01/3	16H 05	40	22.77		+ 2.59	12 0	3. 3	4.42	9.49	0.47
. 21/2	! !!!!!!!!!!!!!!!!!!!!!!!!!!!!!!!!!!!!	30	'	JZ•41 : 	- 0.24	! 27. c	3. 7	7.23	12.64	0.57
25/3	9H 10!	; !	. 32 .7 7	23.01	!	: 				
		40		1 m 70	7 . 95;	23.0	3	5.02	10.82	0.46
28/3	9H CO!	50 j	35. 47	4U, 12 !	! ! ! ! ! + 6 1/:•	23+14		! ! • 8 63	13.27	0. 65
	! 8H 5O!		36.09	49.33	CEZ TYZ			0.07	10.21	0.03
<u> </u>	!	40	!	!	!- 1.04!	2' 1. 0	3	8. 65	10.53	0. 82
5/4	8H 30!		26.11	37.13	!			!		
3/4 !	16H 00!	30	25.61	! !25.61	+ 0.5	23. 0	3. 3	7. 06	Y. 53	0. 74
!	!	30	! !	!	+ 0.89	23. 0	2. 7	8. 85	12.46	0.71
1 1 /4	8H 30!	!	35. 71j	24. 72	! !		<u>.</u>	<u> </u>	! :	
14/4!	9H 00!	40	38.48		- 1.77	22. 0	3	6.43	14.04	0.43
14/4	7	40	70.40°	・フロ・43 ・ ! !	+ 2.70;	28.0	3	10.23	11.42	0.90
17/4	8H 15	- ! !	48.89	35.78		- · · · .	-	,	I A W THE	U • 7 U
	:	50	i 1	,	+ 0.07	19.0	3	6. 36	Y. 137	0.7,
20/4 !	9H 25!	!		48.82		! !		! ! !	<u> </u>	

ETM = 207.37 mm/46j = 6.25 mm/jEvbac = 487.26 mm/46j = 1C3.53 mm/jKG = 0.59

Tableau 2.6 : BESOINS EN EAU DES OIGNONS

Carré-2 Période du 46e au 75ejour

! ! Date !	Heure	! !Zo(cm) !	Sı_ 7 Zo (mm)	Sf_7 ^{ZG} (mm)	- △ S (mm)	I (mm)	(Johrs)	CTM (mm)	Ev bac (mm)	К
20/4	9H 30	!	41.77	1	!			*****	1	
		! 45 !		! !	- 9.96	2 5	! 3	8.01	12.42	0.65
23/4	10H 30	! 30 !	23.63 	42.73	1.32	28	! ! 3	! ! 7.52 !	! _10.02 !	. 0.98 !
26/4	9H 00		22.31	22.31	!		<u>!</u>	! !	! !	
1 00/4		! 3(j !		0.7.08	- 0.75	28.5	! 3 !	9.25	! 11.37 !	0.31
i 29/4	9H 10	! ! 30 !	! 22.U/!	23.07 ₁	- 0.25	26.5	3	8.75	! !10.43 !	: 0.84 !
2/5	9H 2G		43.22	23.32	!					
! ! 5/5	10H 50	45	10 7 h	42.74	+ 0.48	22	3	7.49	! 12.33 !	0.61
! 2/3 !		45		4. · (· ·)	- 2.11	33 !	3	10.30	! !10.10	! ! 1.U2 !
0/5	9H 15		24.59	44.85	•			<u>.</u>	!	!
12/5	10H 50	30	. 23.33	23.38	+ 1.21	30 ¹	4	7.80	10.25	0.76
		30			+ 1.23	29	4	7.56	10.62	0.71
16/5	9H 40		22.15	22.15	•		! !			<u> </u>
i 19/5	· :	30 ! !	: Î	23.00¦	- 0.85!	28	3	9.12	12.19	0.75
·	; []	Example Co.	1	!	1	: }		! !	: ! !	!

ETM = 258.45 mm/29j = 8.91 mm/jEv bac = 320.06 mm/29j = 11.04 mm/jKG = 0.81

Tableau 2.7

Carré-2 Période : du 76e au 95e jour

Dato	! !Heure !	Zo(cm)	Si_ 7 20 (mm)	 Sf_7 ^{Zo} (mm)	- △ S (mm)	I (mm)	! ! (j) !		Ev bac (mm/j)	К
!	!! !10H 45!		41.04	!		,				
! !	<u> </u>	45			! - 1.93	25	! ! 3	7.69	10.86	U.71
! 22/5	! 8H 45	!	49.85	42.97	, -	!	7 6			
•	: !	50		1	+ 1.09	29	; ; 5	6.02	10.49	0.57
! 2 7/5 !	!10H 00! !	1	28.39	48.76	_		77	_		Î
: [3n/5	! ! 9H 4n!	35	30 50	! 32 36	- 3.97	42.0	3	12.68	12.28	1.04
!	1	40	79.71)	+ 2.05	37	3.24	12.05	9.66	1.25
! 2/6	15H OO!		37.45	37.45			1			!
! !		40		! !	- 0.56	26	2.76	y. 22	10.16	0.91
: 5/6 !	! 9H 4O! !		24.72	38.01	! !	!		<u>!</u>		
9/6	110H 00	30		100 75 1	- 5.03	73	4	16.99	7.94	2.14
,)/0	; ; ; ; ; ; ; ; ; ; ; ; ; ; ; ; ; ; ;	· [29.75!	!					ì
!	!	: !	!	!!!!	:	· ·		! !		! !
i			!	!	!		!	•		!
1 :	! !	:		!	!					
	1	ĵ			!	:	Í			·

ETM = 223.65 mm/21j = 10.65 mm/jEv bac = 212.82 mm/21j = 10.13 mm/jKG = 1.05

Tableau 2.8 : BESOINS EN EAU D'OIGNONS

Carró-2 Périodo : du 96e au 107e jour

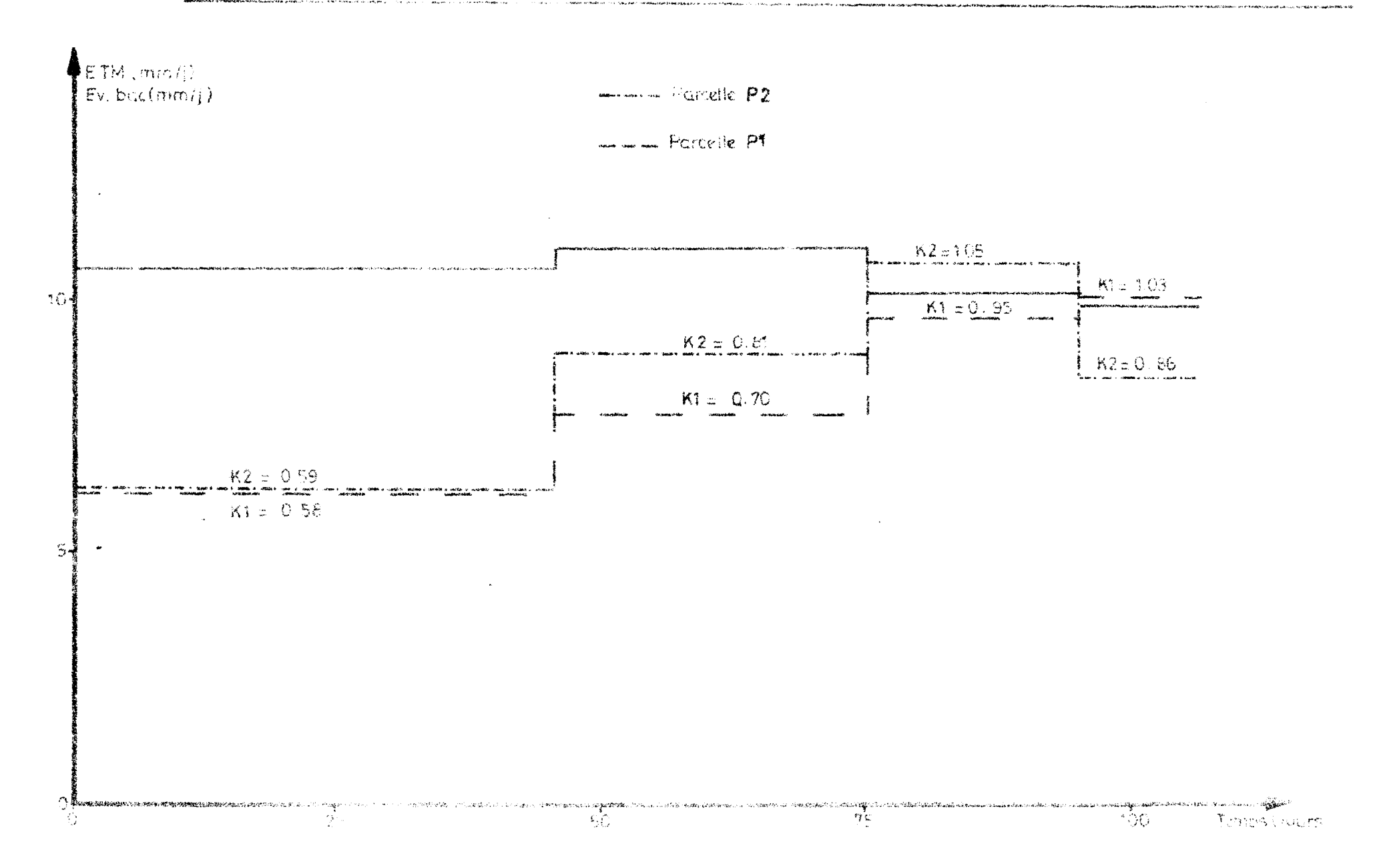
Date Heure Zo			- <u>/</u> 3 3 (mm)	(w. 191)	(() O / (Y S)		EV Dac (1010/ ₃)	:
! ! ! ! ! ! ! ! ! ! ! ! ! ! ! ! ! ! !	! !29.75 !		+ 4.63	2 5 !	5	5. 93	9.24	0.64
! 9H 30! ! ! 3 ! 9H 30!	!25.12 ! ! !26.52	! !	- 1.40	31	3	!	11.04	0.89
10H 00	30 ! !	27.44	- 0.92	74.5	3	11.19	9.66	1.16 [1 1
		! !		;	: :		; ; 	! ! î

ETM = 92.81 mm/11 j = 8.44 mm/j

Ev bac = 108.35 mm/11j = 9.85 mm/j

KG = 0.86

FIG. 2.19 : EVOLUTIONS DU COEFFICIENT CULTURAL K DURANT LE CYCLE DE L'UIGNON.



6.2: L'examen des tableaux 2.1 à 2.8 montre une grande variabilité du coefficient cultural au cours d'une même période.K, calcule à partir de petits intervalles de temps de 3 ou 4 jours étant très variable, nous avons été amenés à calculer le coefficient culturalK à l'échelle d'une période entière (46 jours, 29 jours, 21 jours et 11 jours). Ce calcul a été fait en appliquant la relation :

dans laquelle 🏅 ETM = úvapotranspiration maximum de la plante exprimóe en mm d'oau pendant la púriode.

XII = Somme des irrigations en mm pendant la púriode

ΔS = Variation do stocks entre le dóbut et la fin de la période

XEV = somme des évaporations journalières du bac classe A durant les N jours de la période exprimée en mm d'eau.

Le tableau 2.9 donne les détails et les résultats de ce calcul Nous obtenons :

К'	K
0.6	0.59
0.78	0.81
1.06	1.05
0.86	0.36
	0.78

Les valeurs de K' tamponnúcs au cours d'une période, sont à 3 % près identiques à celles de K obtenues dans la parcelle P2 et représentent les résultats définitifs de l'essai.

<u>6.3</u> : A la station expérimentale de TARNA, des essais de détermination des besoins en eau des oignons ont été menés dans des cuves lysimétriques.

Ces essais ont abouti aux valeurs suivantes de KT (K déterminé à Tarna), à comparer avec les valeurs de KB (Kdéterminé à Bambey) donnés par le présent essai :

Tableau 2.9
Parcelle P2

! !Date !	! !Heure !	! Zo !	!Si_7 ^{Zo} !(mm)	! !sf_7 ^{Z o} !(mm)	- A s (mm)	(mm)	N (mm)	ETM (mm)	Evbac (mm)	K i
i 6/3/80	10H25		122.27	!	<u> </u>			, and	!	tant arm prite some some some
:		40	!	!	- 13.26	303.8	45	290.54	487.02	0.60
: 20/4) : :	: 2H 25!	35	[29.29 [! 35,53 !	+ 0.39	2 5n	29	! ! ! 250 391	320.05	! ! :: 78 !
19/5	!10H 45!		! !23.00	! !28.90				200.00	720.07	3.70
9/6	1 10H 00!	30	: ! !29.75	: ! !?!! ७६ :	- 6 .7 5	232.0	21	225.25	212.93	1.06
!!!!!	!	30	. 29.15 ! !	ŧ	6 2.31	90 . 50	11	92.81	108.35	0.85
120/6	10H OC!		!	27.44						-
!!!!	!		!	!	! !	· !			: ! !	: !
	!		! !	! !			!		!	!

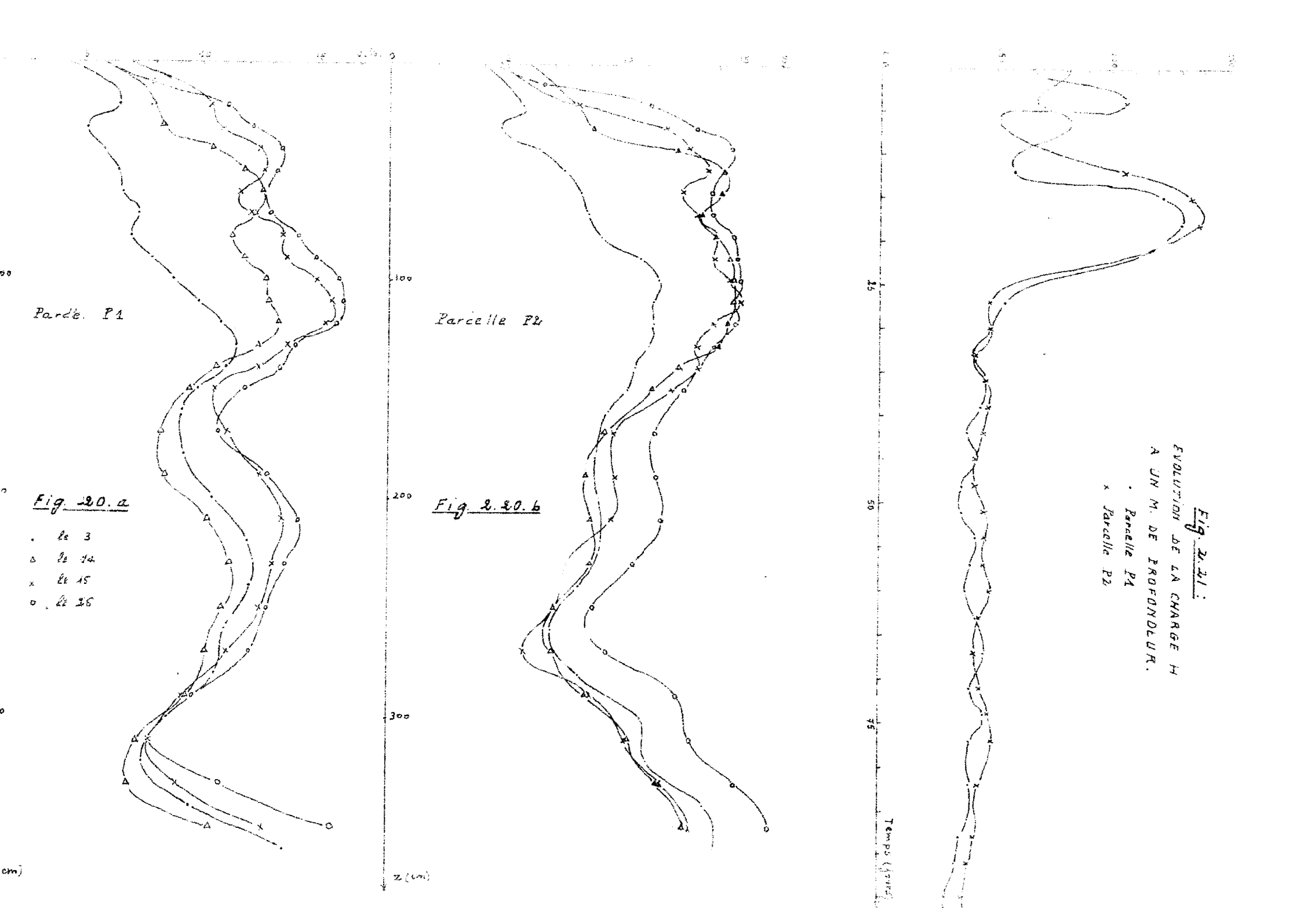
PERI	O D E	!	KT	КВ .
! 76e jour	 45e 75e 95e 120e 	jour ! jour jour ! jour	0.6 ! 0.8 ! 1 .1.! ! 0.9	0.6 0.78 1.06 0.86

En arrondissant les valeurs de KB à une décimale prés on obtient exactement les valeurs de Tarna, bien que les méthodes expérimentales adoptées pour determiner KB et KT soient très différentes.

64 : Cependant, en toute rigueur, nous ne saurons conclure sans passer à une critique de la méthode utilisée.

D'abord la méthode surestime les besoins en eau de la En effet, la fixation d'une dose d'irrigation maximum IMAXI ne permet pas à l'expérimentateur d'être sûr qu'une partie de I ne s'infiltre pas en-dessous du plan de flux nul. Ce flux très faible, entraine une surestimation des besoins en eau de la plante. Ultérieurement à la sortie de ce rapport, un calcul du flux de drainage à la côte 90 cm permettra d'avoir l'ordre de grandeur de cette surestimation. La figure '2 .20 représente, pour chaque parcelle, quatre profils hydriques espacés d'un mois et demi en moyenne. Les profils des 6/3 et 20/6 ont été observés respectivement au début et à la fin de l'essai. Cette figure permet de constater une forte humectation, en début d'essai, jusqu'à 1.50 m de profondeur (profils des 6/3 et 11/4). Cette humectation se ralentit par la suite, le sol SB maintenant à sa capacité au champ. La figure 2.21 représente l'évolution, au cours de l'essai, des charges hydrauliques relevées 3 la côte 100 cm. Cette Figure nous confirme les variations de 1 'humidité en début d'essai, suivies d'une stabilisation de la charge vers 145 mbars. Cette charge correspond d'après la courbe h(B) (cf chap.I) à une teneur en eau de 15 à 16 %, à la côte 100 cm.

Une limitation plus sérieuse de la méthode est le fait qu'elle ne peut être appliquée à la détermination des besoins en eau de plantes dont les racines sont plus profondes que le plan de flux nul. En effet, la méthode ne comptabilise pas le volume d'eau que pomperaient les racines en-dessous du plan de flux nul. Appliquée à des plantes à enracinement profond, la méthode sous-estime-sait les besoins en eau.



Pour pallier ces deux types d'inconvénients il faut pouvoir estimer le débit d'eau en-dessous de la zone racinaire. Cette estimation peut être faite en utilisant la relation :

$$\triangle S = (P+I) - (ETM + q) \qquad (*)$$

dans laquelle

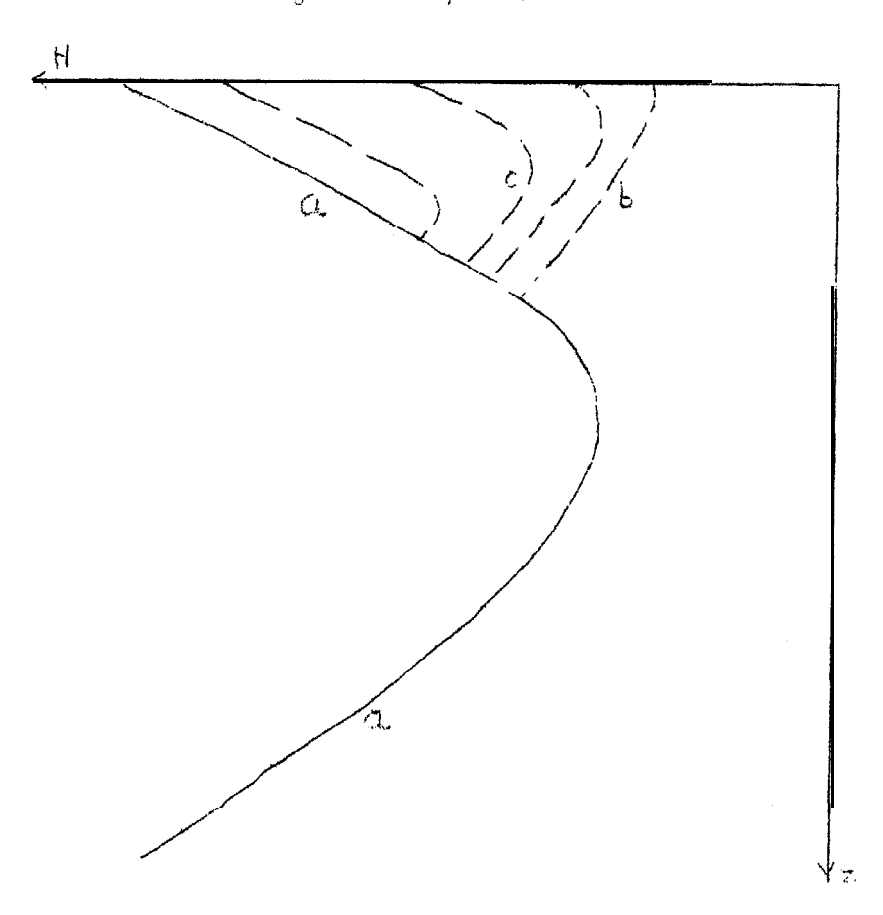
 Δ 5 = variation du stock hydrique dans la couche du sol. comprise entre la surface et une cote Z quelconque, pendant β 0 intervalle de temps connu, en mm

P = Hauteur de pluie (mm)

I = Hauteur d'eau d'irrigation (mm)

9 = Flux d'eau traversant la cote Z considérée en mm. au SYP

Fig 21.13 (cf page 11)



ΔS peut être déterminée aisément par masures neutroniques. P et I sont lues dans les pluviomètres. Le flux q est donnée par la loi de DARCY

$$q = -K(g) - \frac{dH}{dZ}$$

Pour déterminer le flux q à une cote Z, bien en dessous de la zone racinaire, nous pouvons placer un couple de tensiomètres aux profondeurs Z - 10 cm et Z + 10 cm. Nous obtenons ainsi le gradient de charge hydraulique dH/dZ. La relation K(A) (conductivité hydraulique - teneur en eau) supposée connuc pour le type de sol, nous donne la valeur de K à la cote Z, la teneur en eau y étant connue (mesures neutroniques). L'introduction de ces valeurs dans l'équation * permet de déterminer l'ETM de la plante.

Cette móthode prócise nócessite :

- la commaissance de la relation K(⊕) caractéristique du type de sol
- l'impentationi de 2 tensiomètres on dessous de la zone racinaire.
- des mesures neutroniques.

Notons que des études sont en cours (IMG, programme AIEA) qui permettent d'espórer une possibilité ultérieure d'améliorer le bilan à partir de la relation entre A # L et K(9)

7 - CONCLUSION

Cet essai a permis de déterminer les coefficients culturaux de l'oignon Galmi et de suivre leur évolution au cours du cycle végétatif de la plante. En dehors des valeurs même de ces coofficients, le résultat frappant est la constance des coefficients culturaux déterminús sous des conditions climatiques très différentes a Tarna (Niger) et Samboy (SENEGAL). Les coefficients K pour une culture donnée, seraienéils constants, quelles que seient les conditions climatiques qui ent prévalu lors de leur détermination ? Une réponse affirmative à cette question nous donnerait le droit de transposer au Sénégal, les résultats obtenus dans d'autres pays, avecles mêmos variétés de plante. Réciproquement, cela permettrait de transposer à uns grande partie de l'Afrique tropicale les résultats obtenus dans les stations sénégale? ce qui leur confère un rôle et une importance prațique débordant les limites du territoire sónégalais. Bien que les résultats de l'essai que nous avons mené militent en faveur d'une réponse affirmative à la question posée ci-dessus, il s'avore nécessaire de réaliser d'autras essais permettant de comparer les coefficients K obtenus sous des conCet essai nous a aussi permis de mettre au point et de toster une méthode expérimentale in situ d'évaluation des besoins en deau des plantes.

Cetre mothode s'avère utilisable pour les plantes à enracinement superficiel

Pour les plantes à enracinement profond, nous avons proposé une autre méthode qui a le double avantage de la précision et de la facilité d'exécution.

ANNEXE

* Annexe 2.1 : protocole d'eseai

* Annexe 2.2: calcul de l'erreur de mesure de l'humidité du sol par les sondes PITMAN et TROXLER :

L'équation d'étalonnage d'une sonde peut s'écrire

$$\theta$$
 = a.n + b

8 = teneur en eau du sol

n = nombre de coups par unité de temps donnés par la sende

L'erreur de sur l'estimation entraince par une erreur de comptage de est : $d\theta = a.dn$

L'erreur relative d0/0 s'écrit

$$\frac{d\theta}{\theta} = a \frac{dn}{n} \cdot (\frac{\theta}{n})^{-1}$$

et
$$\frac{g}{n} = a + \frac{b}{n}$$

Nous pouvons nous fixer une valeur n de référence égale au comptage donné quand le souce est dans l'étui. La variabilité de cette valeur de n'est représentatif de la variabilité des comptages de la sonde dans un sol de teneur en eau constante. Les deux tableaux qui suivad donnent les diverses valeurs de n'est des étuis des deux sondes, recueillies au cours de la campagne de mesures. Le calcul nous permet de négliger la valeur de b/n par rapport à celle de a.

Pour 19 Pitman : (b) \ 3.517

b/n < 0.02 % de a

Pour la Trexler : a
$$\geqslant$$
 31.666
|b| \leqslant 5.585
n \geqslant 1117
Done b/n \leqslant 0.0005
b/n \leqslant 0.002 $\%$ de a

Ainsi
$$\frac{\theta}{n} \sim a$$
 et $\begin{cases} \frac{d\theta}{\theta} = \frac{dn}{n} \end{cases}$

A partir des diverses valeurs de n recueillies au cours de la campagne, nous calculons dn/n

Pour le pitman dn = 0.091 donc
$$\frac{d3}{8}$$
 = 9.1 %

Pour la Troxler
$$\frac{dn}{n} = 0.105$$
 Donc $\frac{d9}{9} = 10.5 \%$

Tableau A.1 : Pitman : Comptages dans l'étui

i	633	!	613 !	591	:	694	!	620	?	610	1	581	Ţ	584	1
<u>:</u>	687	?	572 !	588	ĵ	614	Ì	589	ì	637	Ī	596	Į.	610	Ì
?	629	į	57D [596	Î	630	į	607	Ĩ	617	į	513	!	592	!
-	597	į	582 !	589	9	62 G	ì	621	Ì	615	į	659	I	594	1
Ī	611	ĵ.	588 !	597	į	616	}	573	1	605	1	626	!	631	Î
:	615	1	587 !	594	į	62.3	ļ	658	Ī	590	ļ	632	!	583	!
1	62.5	Ī	535 !	274	Î	629	Ì	5.94	į	59.7	!	62.8	Ē	644	į
İ	629	į	573	513	!	653	į	589	ì	598	!	630	!	593	į
ì	619	į	576 !	487	ī	606	Ĩ	683	1	610	!	630	!	633	į
!	621	!	624	31ر	Î	619	?	374	•	648	3	624	Ţ	591	•
!	616	!	584 i	683	į.	627	ţ	615	!	62.4	i	628		588	ļ
į	673	i	593 !	659	Ī	575	:	631	?	631	ì	619	!	622	1
î	620	!	593 !	62 3	į	576	i	635	ì	579	Î	636	i		!
:	600	!	584 !	624	1	589	1	651	Í	616	i	630	Ī		ì
	622		581	831	1	5 32	ļ	621	į	580	1	52.3	Ţ		!
i	633	•	630	567	:	664	:	668	:	639	:	668	!		:
•		:	:		:				į		:		:		1

Tableau A2 : TROXLER : Comptages dans l'étui

```
| 111 | 493 | 111 | 480 | 111 | 729 | 111 | 456 | 111 | 447 | 111 | 656 | 111 | 472 | 111 | 629 | 111 | 410 | 111 | 362 | 111 | 856 | 111 | 375 | 111 | 342 | 111 | 764 | 111 | 204 | 111 | 301 | 111 | 536 | 111 | 590 | 111 | 444 | 111 | 603 | 111 | 710 | 111 | 726 | 111 | 388 | 111 | 539 | 111 | 584 | 111 | 912 | 111 | 463 | 111 | 515 | 111 | 602 | 111 | 457 | 111 | 3277 | 111 | 411 | 111 | 435 | 111 | 741 | 111 | 399 | 111 | 438 | 111 | 281 | 111 | 611 | 111 | 473 | 111 | 465 | 111 | 408 | 111 | 629 | 111 | 406 | 111 | 534 | 111 | 13467 | 111 | 417 | 111 | 235 | 111 | 583 | 111 | 556 | 111 | 600 | 111 | 538 | 111 | 524 | 111 | 374 | 111 | 473 | 111 | 233 | 111 | 460 | 111 | 488 | 111 | 721 | 111 | 277 | 111 | 489 | 111 | 491 | 111 | 640 | 111 | 636 | 111 | 720 | 111 | 620 | 111 | 727 | 111 | 609 | 111 | 713 | 111 | 659 | 111 | 548 | 111 | 568 | 111 | 299 | 111 | 504 | 111 | 856 | 111 | 426 | 111 | 473 | 111 | 473 | 111 | 289 | 111 | 358 | 111 | 357 | 111 | 426 | 111 | 570 | 111 | 293 | 111 | 468 | 111 | 553 | 111 | 590 | 111 | 332 | 111 | 478 | 111 | 729 | 111 | 594 | 111 | 649 | 111 | 880 | 111 | 456 | 122 | 583 | 111 | 478 | 111 | 470 | 111 | 493 | 111 | 132 | 111 | 920 | 111 | 519 | 111 | 859 | 111 | 117 | 111 | 429 | 111 | 532 | 111 | 697 | 111 | 339 | 111 | 672 | 111 | 589 | 111 | 562 | 111 | 466 | 111 | 610 | 111 | 452 | 111 | 799 | 111 | 678 | 111 | 672 | 111 | 596 | 111 | 308 | 111 | 276 | 111 | 534 | 111 | 574 | 111 | 574 | 111 | 575 | 111 | 576 | 111 | 576 | 111 | 576 | 111 | 576 | 111 | 576 | 111 | 576 | 111 | 576 | 111 | 576 | 111 | 576 | 111 | 576 | 111 | 576 | 111 | 576 | 111 | 576 | 111 | 576 | 111 | 576 | 111 | 576 | 111 | 576 | 111 | 576 | 111 | 576 | 111 | 576 | 111 | 576 | 111 | 576 | 111 | 576 | 111 | 576 | 111 | 576 | 111 | 576 | 111 | 576 | 111 | 576 | 111 | 576 | 111 | 576 | 111 | 576 | 111 | 576 | 111 | 576 | 111 | 576 | 111 | 576 | 111 | 576 | 111 | 576 | 111 | 576 | 111 | 576 | 111 | 576 | 111 | 576 | 111 | 576 | 111 | 576 | 111 | 576 | 111 | 576 | 111 | 576 | 111 | 576 | 111 | 576 | 1
```

PROTOCOLE DE MESURES DES BESGINS MAXIMA EN EAU D'UNE CULTURE

D_'OIGNON_IRAT_{II}1_REPIQUE

1 - OBJET

Mesurer in situ les besoins en eau de l'oignon IRAT 1 repiqué, par la 7-1 óthode du bilan hydrique, raccorder les résultats trouvés aux valeurs correspondantes de l'évaporation du bac classe A et en déduire les valeurs des coefficients culturaux.

II - METHODOLOGIE ET DISPOSITIF EXPERIMENTAL

Sur 2 parcelles de 12m x 12m, cultivées en oignon et irriguées par aspersion, on mesure l'apport d'eau au moyen de 4 pluviomètres et 1 'on détermine la consommation en eau (ETM) par les mesures régulières de l'humidité et de la tension capillaire du sol. Les variation des profils de charge hy draulique donnant les positions des zones de flux nu 3. et les variations dos profils hydriques relevés à différentes dates permettent de chiffrer les hauteurs d'eau evapotranspirées paï le sol cultivé et le volume d'eau infiltré en profondeur.

Dispositif experimental

1/ parcelles de gulture

Las 2 parcelles ont reçu une culture d'arachide en hivernage 1979 et les façons culturales suivantes en Février 1980 : épandage do 10 T/ha fumier sec et 150 kg/ha d'engrais 10.21.21, arrosage 15 mm, labour à 15 cm = 18 cm. raprise à 12 herse en 2 passagey croisés, finition de la reprise aux rateaux, arrosage 10 mm, repiquage d'oi-gnon IRAT 1 avec cos plants de 2 mois d'âge aux écartements 20cmx10cm, arrosage 10 mm. Les techniques culturales habituelles seront adoptées.

2/ Irrigation

Fréquence Dose?

Une irrigation tousles3joursaprès!

: Déterminée en fonction de la consommation en eau durant les 3 jours précédant l'irrigation, par la formule suivante

$$D_{mm} = K \cdot \frac{\sum E_{mm}}{\epsilon}$$

avec D = dose brute d 'irrigation en mm d'eau

K = coef 'icient cultural défini à TARNA (niger)
variant avec le stade de végé tation

miseen

- Z.E = hauteur d'eau évaporée par le bac classe A durant les 3 jours précédant l'irrigation
 - € = efficience de l'irrigation, prise égale à **7**0 % pour s'assurer qu'on cas où K (Tarna) est sous estimé, la culture ne manque pas d'eau.

Pratique

Les 2 parcelles seront irriguées par 6 asperseurs Rain Bird 25 FP DG TNT équipés de buse Ø 4,36 mm. Pour une pression de service de 3 kg/am2, la portée est de 12,40 m, le débit de 1,25 m3/H et la pluviométrie de 8,69 mm/h pour une maille d'arrosage de 12m x 12m. Deux précautions :

- pour ne pas arroser le bac classe A, l'asperseur A3 travaillera en demi cercle pour une durée deux fois plus courte que celle des 5 autres arroseurs
- arroser tôt le matin ou tard dans l'après midi pour que le vent ne perturbe pas la distribution.

La durée d'arresage d sera égale à $d = \frac{Dose brute}{8.69}$

Contrôle

L'apport d'eau sera contrôlé par 4 pluviomèt**r**es AGRAM dont la bague de réception se trouve à 20 cm environ au dessous du sol

3/ Mesure d'humidité

Les variations d'humidité du sol seront suivies par mesures neutroniques : l'humidimètre PITMAN ou à défaut l'humidimètre TROXLER sera utilisé. Les 4 tubes d'accès PVC Ø 40 - 45 mm seront implantés en raison de 2 par parcelle, l'un au contre de la parcelle protégé du ruissellement d'eau par un anneau de garde métallique Ø 93 cm environ, l'autre à l'extérieur de l'anneau de garde. La profondeur du tube et se hauteur aérienne sont mesurées avec précision et ont les valeurs suivantes :

Tube	! !Profondeur!	Hauteur aérienne
11 et 1.2	3 y 7 o m	4 c m
21 st2.2	3 , 7 G m	4 c m

4/ Mesure de charge hydraulique

Dans chaque aire de mesure, a l'intérieur de l'anneau, on installera 5 tensiomètres SOIL MOISTURE à mercure aux profondeurs de 20, 40, c', 80, 100 cm autour du tube d'accès.

Chaque aire de mesure sera protégée du ruissellement d'eau de surface par une petite diguette qui isole un carró de 2 m d'arête, du reste de la parcelle. Il faut que la végétation de l'aire du mesure et celle du reste do la parcelle soient aussi homogènes que possible. Pour cela, il faut éviter de piétiner l'aire de mesure en posant un caillebotis ou un madrier de bois sur 2 pilots, à côté des tubes d'accès.

III - PROTOCOLE DES MESURES

- Irrigation

La durée d'arrosage sera déterminée tous les 3 jours la veille de l'irrigation. Les 4 pluviomètres seront relevés juste après l'irrecation.

- Evaporation:

Les mesures seront effectuées tous les jours **(y** compriss jours **d**e repos)) 8H 30.

- Humidité :

Tous les 3 jours, juste avant l'irrication.

- Tension capillaire: Tous les 3 jours, juste avant l'irrigation

Daux fois au cours du cycle cultural, afin de miaux comprendre le phénomène (évaporation, transpiration, percelation, influence de la température) on fera des irrigations-tests au cours desquelles, la durée d'arrosage, la pluviométrie soront notées avec précision et surtout, les mesures de tension capillaire et éventuellement d'humidité scront effectuées toutes les heures pendant la journée et toutes les 2 heures la nuit.

Les observations d'ordre cultural (état végétatif, maladie, carence, rendements) seront également notées.

8 - B 1 B L I O C R A P H 1 E

- C. DANCETE . T.M. DUC: Travaux récents de l'IMAT-Sénégal portant sur les relations eau-sol-plante. (Mai 1974)
- C. DANCETTE: Mesures d'évapotranspiration potentielle et d'évaporation d'une nappe d'eau libre au Sénégal. Présentation des travaux portant sur les besoins en eau des cultures (Mai 1973).
- C. DANCETTE : Agroclimatologie appliquée à l'économic de l'eau, en zone soudano sahélienno. Avril 1977).
- C. DANCETTE : Besoins en eau des grandes cultures au Sénégal. (Sept 1973)
- M. VAUCLIN & G. VACHAUD : Bilan d'eau sur sol nu et cultivé : Fiabilité des résultats.
- MINISTERE DE LA COOPERATION Techniques Rurales en Afrique, volume Nº1 "évaluation des quantités d'eau nécessaires aux irrigations" 1964
- DOOREMBOS J et W.D. PRUITT: Crop water Requirements. (Irrigation and Drainage Paper) FAO. Rome 1975
- T.M. DUC: Irrigation de la zone Centre Nord du Sénégal. Résultats de recherches et perspectives; Comité consultatif FAQ-AIEA.

 Doc technique AIEA 192, Vienna 1976
- IRAT Niger: Rapport de la station expérimental d'Hydraulique Agricola (S.E.H.A.) de 1363 à 1970 par CHAROY et GILLET. 1970.
- E.C. CHILDS: An Introduction to the physical basis of soil water phenomena. Witey 1969
- S.D. GOLDBERG, B. CORNAT and D. SADAN: Relation between water consumption of peanuts and class A pan évaporation during the growing Season. Soil Sci: 104 (4) 1967
- D. HILLEL: Sui.1 and water, physical principles and processes.

 Academic Press 1971.

CHAPITRE-III : TEST DU SYSTEME D 'IRRIGATION GOUTTE A GOUTTE TIROSH

1 - INTRODUCTION

L'irrigation goutte à goutte (irrigation localisée) a connu, dès sa naissance une popularité croissante et pout, aujourd'hui ôtre considérée à juste titre comme une méthode classique. Sette méthode d'irrigation met l'eau et les engrais directement à la disposition des racinec par l'intermédiaire de conduites fixes, de rampes d'arrosage fixes ou amovibles et de goutteurs conqué et calculés afin d'assumer de faible débits. Outre l'économie d'eau, les avantages de l'irrigation par goutte à goutte sont multiples : etilisation optimale des engrais ; meilleur réponse des cultures ; économie de main d'oeuvre ; utilisation possible des eaux salées. Copendant certaines limitations affectent cette méthode d'irrigation : coût éle vé; obstruction des goutteurs ; risque de salimisation ou sol ; niveau élevé des compétences requises pour la conception, l'installation et . L'exploitation du système.

L'essai que nous décrivons dans ce chapitre est un test d'un goutteur de fabrication israélience (Tirosh). Netre objectif est en triple:

- 1/ détermination de la relation débit-pression de goutteur
- 2/ évaluation des coefficients d'uniformité (absolue et au champ)
- 3/ caractérisation des bulbes hydriques.

2 - DESCRIPTION TECHNIQUE GENERALE DES SYSTEMES

Une installation d'irrigation goutte a goutte comprend : une unité de tôte, des conduites principales et des conduites perte-rampes, des rampes d'arresage équipées de goutteurs.

, 2.1 : L'unité de tête (cf fig. 3.1)

Roliée au point d'eau, cette unité comprend généralement des filtres, des vannes, des compteurs, des appareils de régulation et de contrôle automatique (régulateur de pression, limitateur de débit), un injecteur d'engrais et des manomètres.

Les filtres éliminent les particules solides de l'eau d'irrigation. Ils sont généralement composés de couches de graviers, de tamis et de **r**éparateurs de sables.

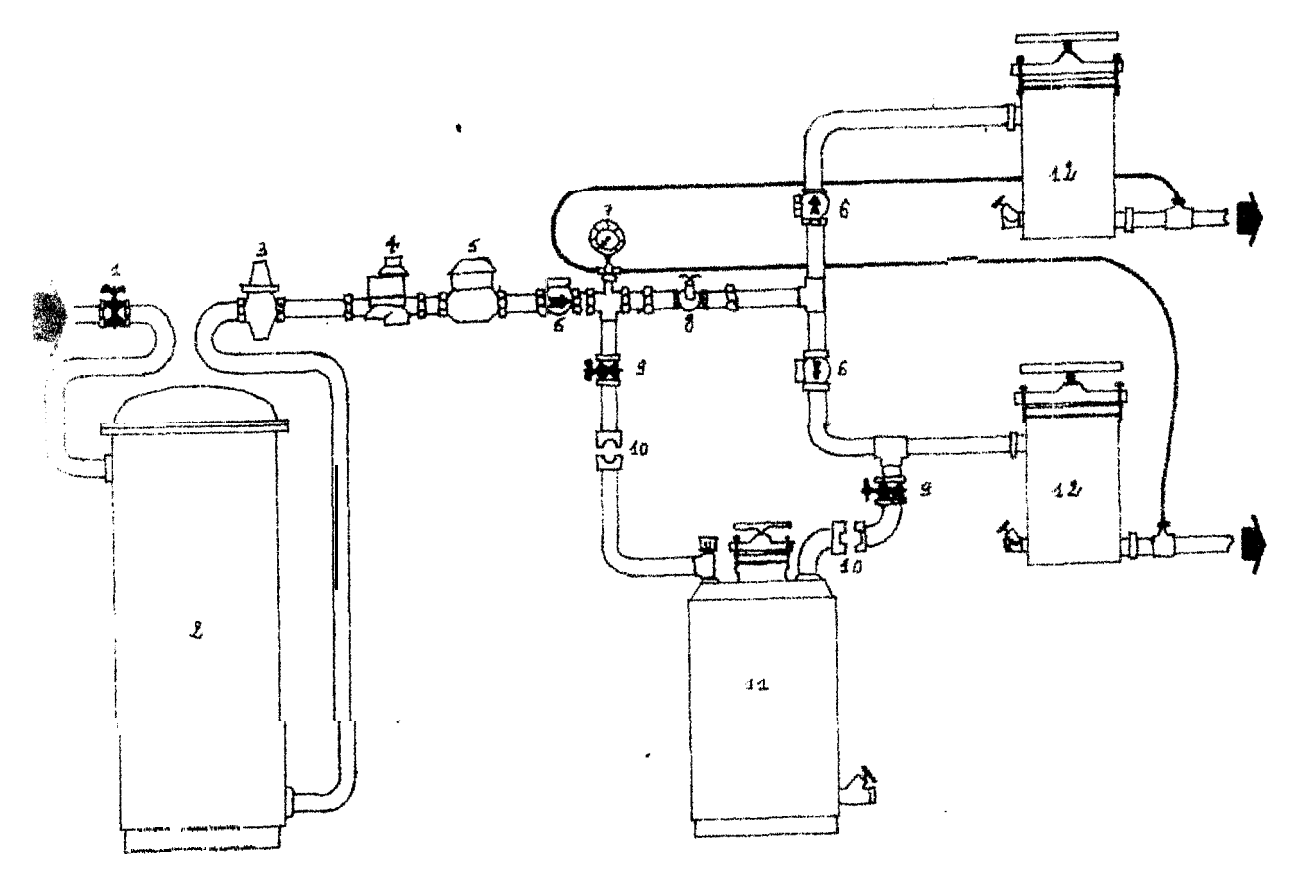


Fig. 3.1: Schema général d'un equipement de tête d'une installation d'irrigation goutte à goutte.

1 - vanne générale

2 - filtre à gravier

3 - reducteur de pression

4 - limitateur de débit type affichage"

5 _ .ompteur

6 - clapet anti-retour

1 - manomètre avec vanne à 4 voies

B - VORRE VEREUIT

3 - Vanhe

10- dispositif prise rapide

11 injecteur d'engrais

12 - filtre à trellis ou à plaque over prise de manomètre à la sortie.

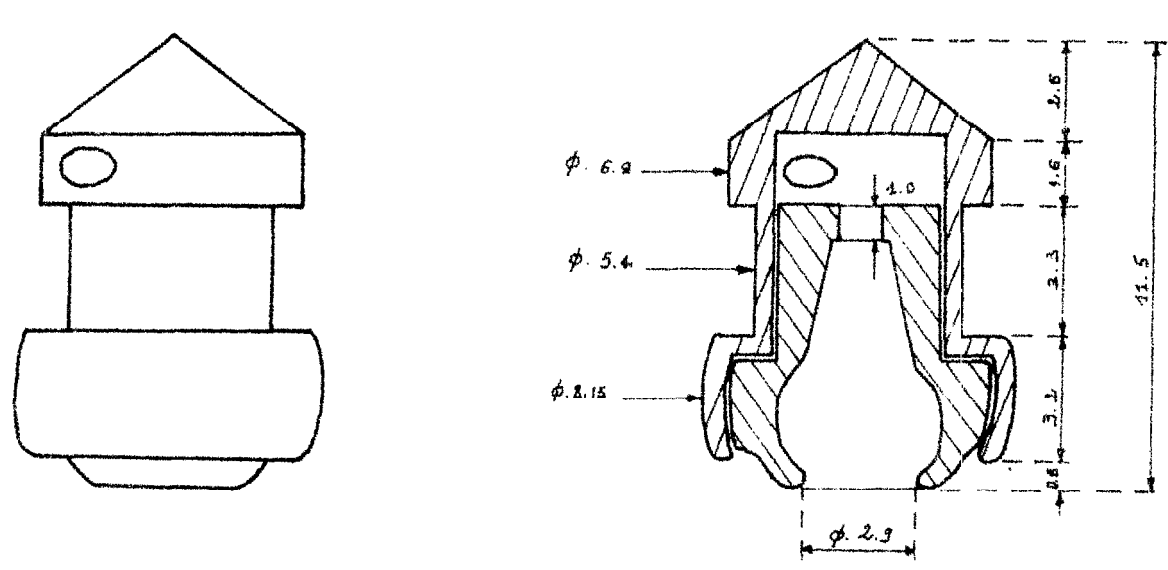


Fig. 3.2: Description et caracteristiques dimensionnelles du gouteur Tirosh,

Echelle 5/1

Cotes en mm

- 2.2 : Les conduites principales et les conduites porte rampe assurent le transport de l'eau de l'unité de tête aux rampes d'arrosage.

 pour empêcher l'obstruction des gouttaurs, ces conduites doivent résister a la corrosion ; elles sont en polyèthylène, en PVC rigide, an acter galvanise, en amiante-ciment...
- 2.3 : Les rampes d'arrosage sont des conduites fixes en polyèthylène, ou en chlorure de polyvynile plastifié, pourvues à intervalles réguliers de gouttours. La rampe type résiste à une pression de 4 atm et a un diamètre inférieur à 32 mm.

2.4 : Les goutteurs

Ce sont des arrosseurs conçus pour assurer la dissipation de la pression de l'eau des rampes d'arrosage dans le but de limiter le débit à quelques litros par houre. La perte de charge est obtenue soit par un orifice de très faible diamètre, soit par un cheminement dens un long circuit de faible section.

Dans le cas de notre essai nous avons utilisé les goutteurs représentés à la figure 3.2. Dans ce type de goutteur à vortex l'eau est forcée tangentiellement dans une chambre où se crée un teurbillon. La perte de charge nécessaire à la réduction du débit est produite par la force contrifuge née du tourbillon.

Le goutteur doit donner un débit faible, régulier et constant, peu sensible aux petites variations de prossions. Le débit des gout-teurs diminuant suite aux pertes de charges le long de la rampe, une règle empirique limite la variation du débit « 10 % de la valeur moyenne des débits de l'ensemble des goutteurs d'une rampe. Il est souhaitable que les caractéristiques hydrauliques des goutteurs scient telles que cette variation de 10 % du débit corresponde à une variation de pression aussi grande que possible dans la rampo d'arrosage.

Pour limiter les risques d'obstruction, la section d'écoulement du goutteur doit être importante.

Les goutteurs pouvent être classés selon les critères suivants :

- Le régime d'ócoulement :
- a) écoulement laminaire dans le cas de goutteurs à long cheminement et à faible débit (nombre de Reynold Re << 2.000)
- b) écoulement partiellement turbulent (2 000

 √ Rc < 10.000) dans le cas de goutteur à cheminement long et à fort débit ainsi que dans les gouteurs orifices.</p>
- c) écoulement turbulent (Ro > 10.000) dans les coutteurs ori-

- Le dispositif de perte de charge ; on distingue :
 - a) Les goutteurs à cheminement long du type canalicule Stroit ou circuit tortueux
 - b) Los goutteurs à cheminement court du type orifice en mince paroi ou à vortex (cas de goutteur Tirosh).
 - c) Les rampes perforées à paroi simple ou double et les :Ca;;!-pes poreuses.
- Le risque d'obstruction par les particules en suspension dans l'eau, défini par la plus petite dimension de du la section transversale de l'écoulement. On considère que prisque d'obstruction est :

grand si $\emptyset < 0.7$ mm moyen si $0.7 (\emptyset < 1.5$ mm faible si. $\emptyset > 1.5$ mm

3 - RELATION DEBIT PRESSION: q(H)

3.1 : Rappel théorique :

La loi $q(H)_{est de}$ / forme $q = KH^{\times}$

ou K = constante caractéristique du goutteur

H = charge sur le goutteur

x = exposant déterminé par le régime d'écoulement

 $X = \frac{\log (q1/q2)}{\log (H1/H2)}$ pente de la droite q = f(H) sur un graphilog $(H1/H2) = \frac{\log \log - \log n}{\log n}$

La figure 3.3 donne les variations de pression pour divers goutteurs suivant l'exposant x do la loi q = f(H)

Le débit varie d'autant moins avec: a prossion qua valeur de x est faible. x vaut 0.5 on régime entièrement turbulent et 4 en régime laminaire. Pour les goutteurs à prifice ou à ajoitage, ne comportant pas de membrane de régulation du débit fonction nant toum jours en régime turbulent, x=0.5. Pour les goutteurs à long cheminement, x est compris entre 0.5 et 1. Pour les gout teurs à régulation parfaite x=0.

3.2 : Demarche expérimentale

Afin de déterminer la relation q(H) O u goutteur Tirosh, nous avans utilisé le dispositif expérimental schématisé à la figure 3.4. Il s'agit d'une conduite en polyèthylène de diamètre = 16 mm, munis d'un goutteur Tirosh et dont l'extrémité est bouchée hermé tiquement par une manomètre, placé à 50 cm e n ament d u goutteur Le manomètre

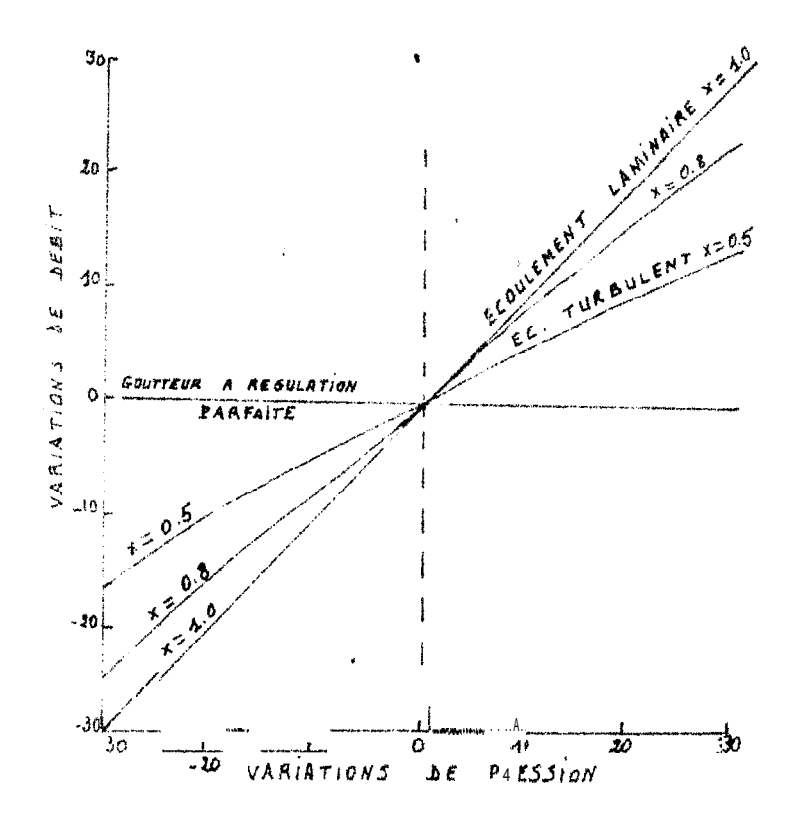


Fig. 3.3:

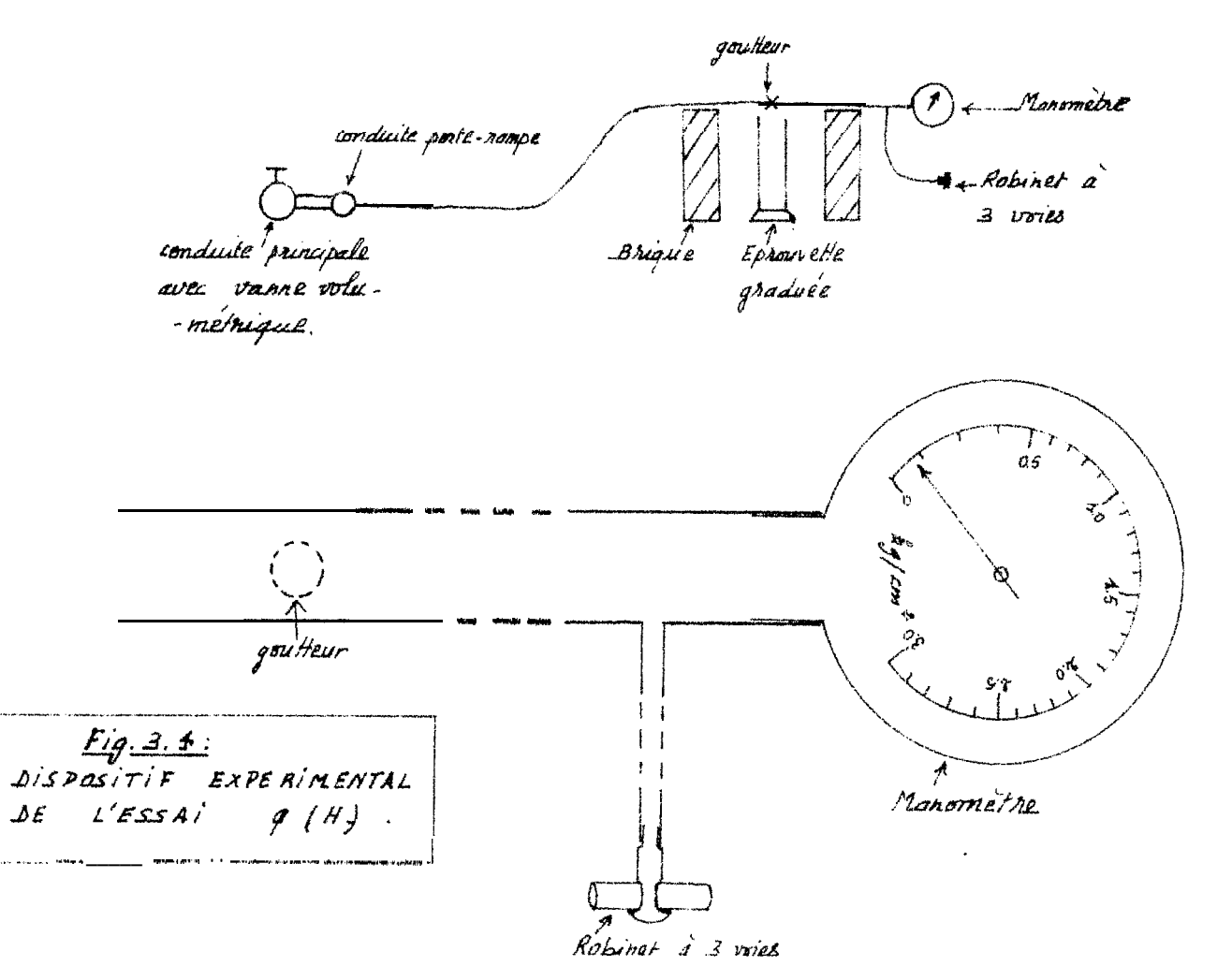
VARIATIONS DU DEBIT EN

FONCTION DES VARIATIONS

DE LA PRESSION POUR DES

GOUTTEURS AYANT DES

EXPOSANTS X DIFFERENTS.



../..

utilisé 2 une sensibilité de 1/16 ème d'atmosphère (63 cm de coltinue d'eau), Afin d'empêcher des occlusions d'air au bout du tube, un purgeur a été monté sur cette conduite, Il est constitué d'un robinet à 3 voi relié au tube par un cappillaire.

Le débit du goutteur est mesuré par empottement. Le temps de mesure a été de 4 minutes et les mesures de volumes ont été réalisées au moyen d'un éproquette graduée de 500 ml.

Comme le débit varie sonsiblement avec la température, nous avons mené l'essai entre 9H et 10H 30 pendant quelques jours. Entre ces deux heures, la variation de la température est peu importante.

3.3 : <u>Résultats</u> et discussion Les résultats sont repris sur le tableau suivant :

q(1/h)	H(kg/cm2)	q(1/h)	H(kg/cm2)	q(1/h)	H(Kg/cm2)
2.58 2.82 2.82 2.88 3.00 3.11 3:49 3.30 3.45 3.84	0.13 0.16 0.21 0.228 0.30 0.32 3.38 0.47 0.49 0.68	3.90 3.41 4.20 4.13 4.43 4.50 4.58 4.65 4.88 4.88	Li . 72 i J. 72 1. 38 1. 1 1. 26 1. 30 1. 40 1. 46 1. 58 1. 57 1. 73	5. 00 5. 18 5. 25 5. 63 5. 63 5. 74 5. 78 6. 38 6. 38 6. 4, 5 6. 53	1.75 1.88 1.92 2.55 2.56 2.99 3.00 3.40 3.50 3.60 3.80

A partir de ces valeurs, une régression a été effectuée entre log q ot log H, donnant :

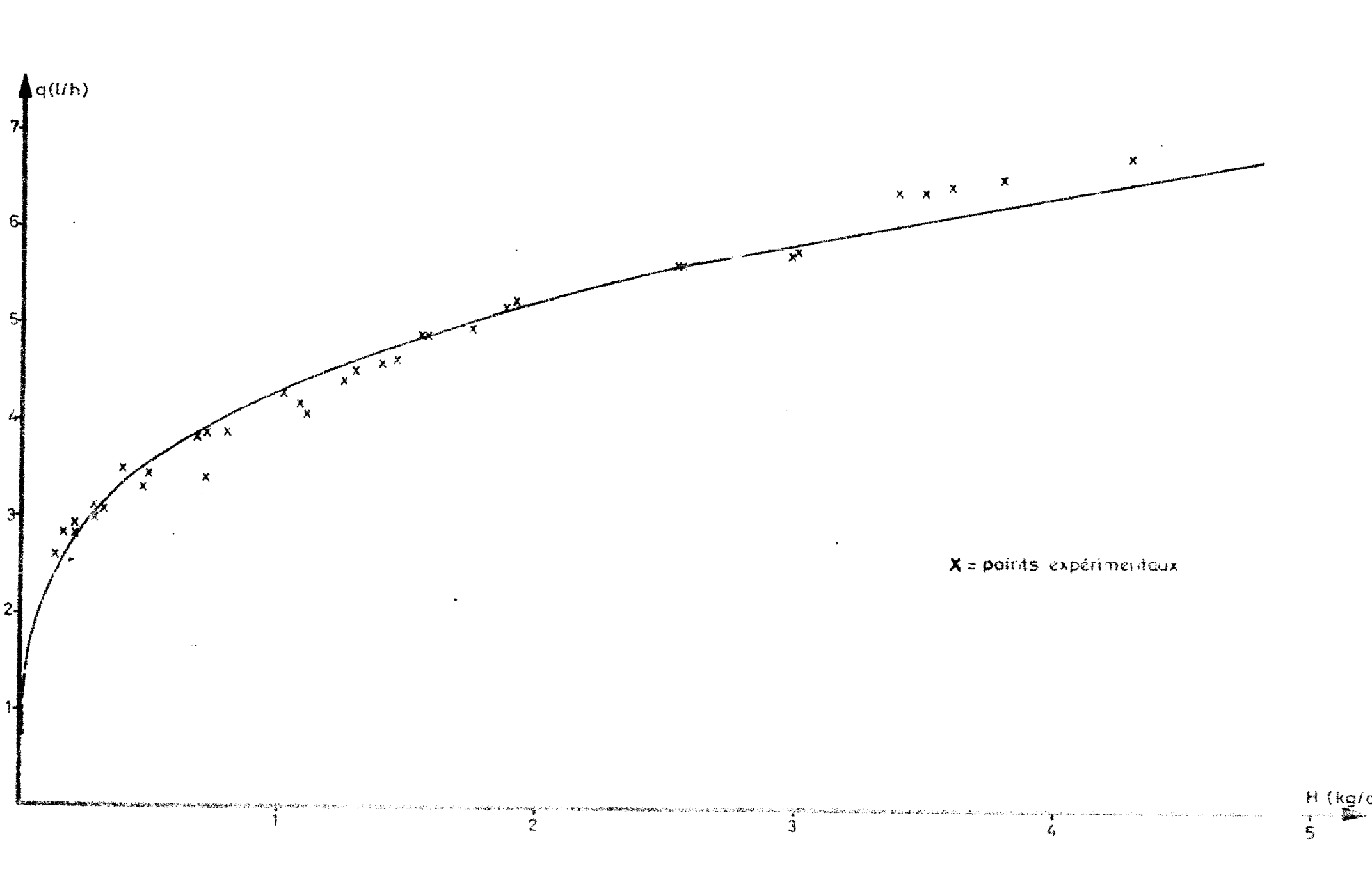
X = 0.28
K = 4.30
T = coefficient de correllation = 0.99
Ainsi
$$q = 4.3 H^{0.28}$$
 $q = 1/h$
H en kq/cm2

Les figures 3.5 et 3.6 représentent cette relation,

La faible valeur de l'exposant x caractérise un goutteur à bonne régulation de débit. Caculons la chutte de pression nécessaire pour obtenir une diminution du débit de 10 %.

$$\frac{dq = K.x. H^{X-1} dH}{\frac{dq}{q} = x. \frac{dH}{H}}$$

$$\frac{dq}{q} = 10 \% \text{ si } \frac{dH}{H} = 36 \% !$$



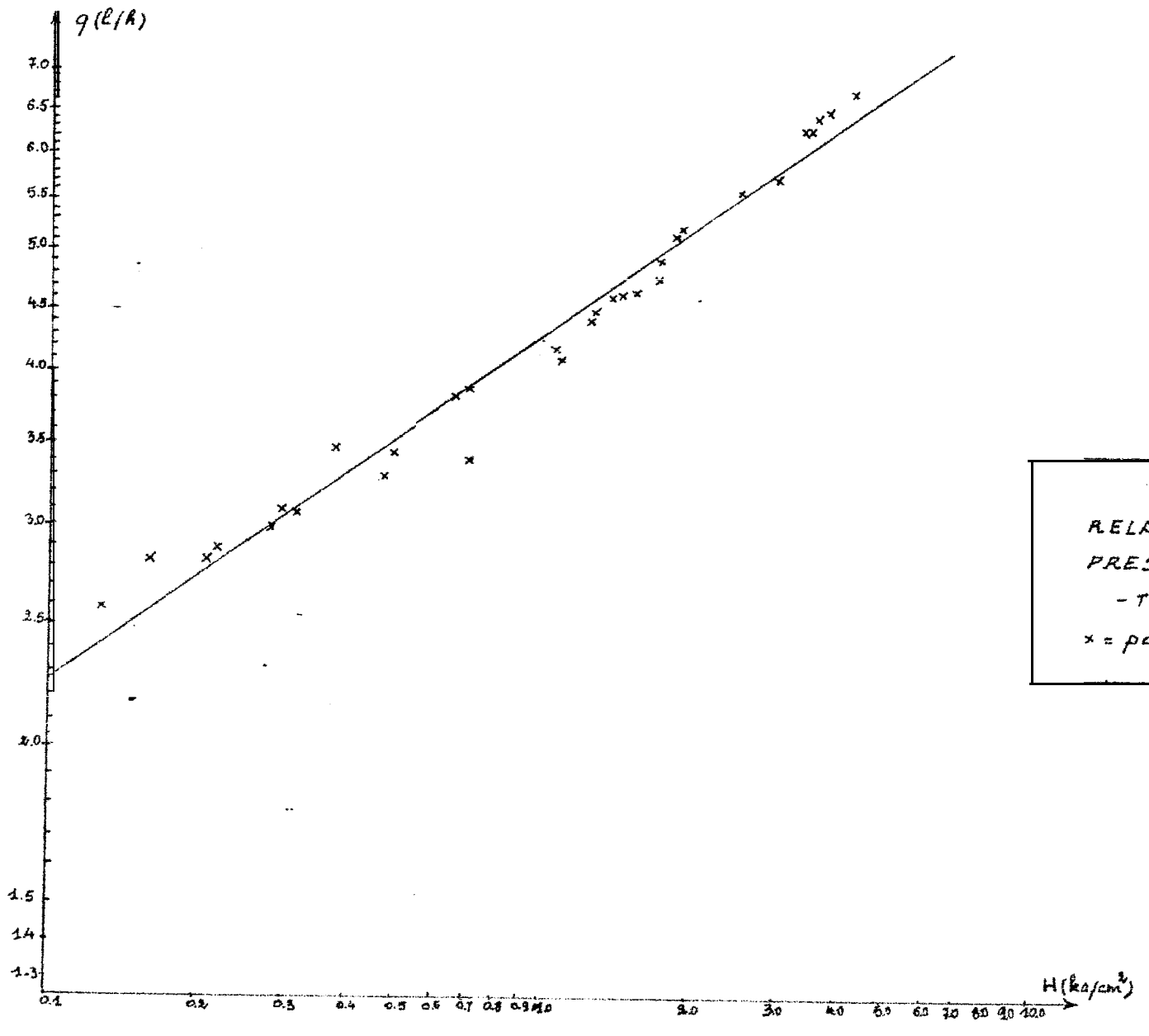


Fig. 3.6: RELATION DEBIT PRESSION DU GOUT -TEUR TIROSH. *= points experimentaux.

Cette variation do pression est importante (30 %) pour une variation du débit de 10 %. Ce type do goutteur donne un débit variant peu le long de la rampe d'arrosage. Lors du dimensionnement du réseau d'irrigation, la longueur optimum de la ramped'arrosage sera d'autant plus grande que la valeur de x est petite. Copondant, dans le cas des gouteurs à faibles valeurs de x (cas du goutteur Tirosh), il est très difficile de limiter les risques de colmatage par augmentation de la pression de service.

Calculons la pression des mesures.

L'erreur de mesure sur le volume dv = 5 ml

L'erreur do mesure sur le temps dt = 3s

Le temps de mesure a été 4 minutes. La valeur moyenne des volumes d'eau mesurés est de 290 ml. L'erreur relative do mesure sur les volumes est

$$dv/v = 5/2 \ 90 = 1.72 \%$$

 $dt/t = 3/240 = 1.25 \%$

soit dq/q l'erreur relative de mesure sur le débit:

$$\frac{dq}{q} = \frac{dv}{v} t \cdot \frac{dt}{t} = 3 \%$$

4 - DETERMINATION DES COEFFICIENTS D'UNIFORMITE

4.1 : Principe et démarche expérimentale

Nous avons utilisé la méthode du U,S Soil Conservation Servica décrite par Keller et Karmeli pour déterminer les coefficients d'uniformité au champ (Et!') et absolu (EUa)

Dans une maille constituée do 4 rampes espacées de 2 m et équipées chacune do goutteurs, on choicit 16 goutteurs uniformément répartis à travers la maille et représentatifs de la répartition des débits dans celle-ci, Sur chaque rampe, les 4 goutteurs suivants ont été jaugés:

- . le premier goutteur
- . le goutteur situé à 4 m du premier
- . le goutteur situé à 8 m du premier
- . le dernier goutteur situé à 12 m du premier.

sous chacun de ccc gouttaurs a été placé un bac en plastique.
Nous avons fait passer un courant d'eau dans les quatre rampes, à une pression de service connue (manomètre on tête des rampe), pendant 10 minutes. Los débits des goutteurs sont déduits de la mesure du volume d'eau requeilli dans les bacs.

Le calcul donne les valeurs de :

 \overline{q} n/4 min = moyenne des 4 **dé**bits les plus faibles

qn = moyenno de tous les 16 dúbits

qn/8 max = moyenne des deux débits les plus grands parmi les 16 On déduit les coefficients d'uniformité au champ (EU') et absolu (EUa)

EU' = 100
$$\frac{\overline{q}n/4 \text{ min}}{qn}$$

EUa = 100. $\frac{1}{2}$ $\frac{\overline{q}n/4 \text{ min}}{\overline{q}n}$ \div $\frac{\overline{q}n}{\overline{q}n/3 \text{ max}}$

EU' exprime l'écart relatif entre le débit minimum et le débit moyen des goutteurs. EUa tient compte, en plus, de l'écart relatif entre le débit moyen et le débit maximum des goutteurs.

Le dispositif expérimentale était constitué de 4 rampes dont l'une était équipée de 25 goutteurs espacés de 0.5 m et les 3 autres comprenaient chacune 4 goutteurs espacés de 4 mètres. Sur la rampe aux 25 goutteurs, les goutteurs de rang suivants ont été jaugés : 1er, 9ème, 17ème et 25ème. La maille a été placé en terrain naturel, relativement plat. Le schéma d'implantation en donné à la figure 3.7

L'essai a été réalisé avec les pressions de services suivantes, en kg/cm2 : 0.5 ; 0.8 ; 1 ; 1.2 ; 1.8 et 2.1

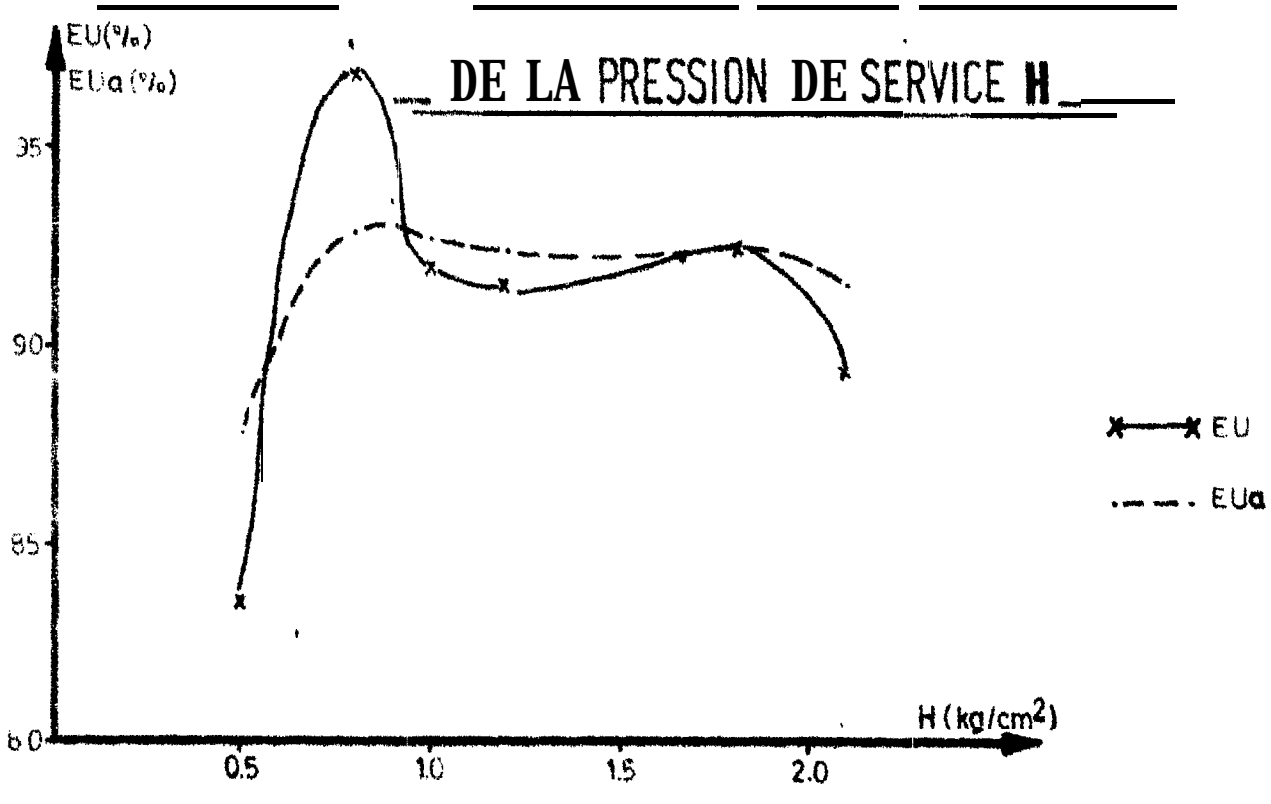
L'essai a été mené, entre 9H et 10H 30 pour limiter l'effot de la température sur le débit.

4.2 : Résultats et discussion

Les résultats de l'essai sont repris sur le tableau 3.1 et à la figure 3.8. Pour ce type de goutteur, les coefficients d'uniformité sont élevés ce qui dénote une bonne répartition des débits à travers la maille hydraulique. Le U.S. Soil Conservation Service recommande, dans l'étude des projets, l'adoption de coefficients d'uniformité au moinségaux a 90 %. Dans notre cas, nous recommandons l'utilisation des goutteurs Tirosh à des pression de service (en tête de rampe j comprises entre 0.8 atm of 1.8 atm. De plus, la valeur maximum des coefficients d'uniformités correspondant à la pression de service 0.8 atm, cette dernière doit être choj sia de préférence.

FIG. 3, 8 : EVOLUTIONS DES COEFFI CI ENTS D'UNIFORMITE





__ F1 G. 3. 7: DETERMINATIONS DES COEFFI CI ENTS D' UNI FORMI TE. ~

<u>Disposif expérimental</u> Echelle : 1/100

- X Goutteur TIROSH
- ☐ Bac en plastique
- V Vanne volumétrique

Tabloau 3.1

ESSAI TIROSH : COEFFICIENTS D 'UNIFORMITE

!	P=0.5kg/cm2	P=0.8kg/cm2	P=1kg/cm2	P=1.2kg/cm2	P=1.8kg/cm2	P=2.1kg/cm2
	q(1/h)	9 (P/h)	3 (2/%)	4 (P/K)	9(4/91)	q ((l/k)
9	1. 47	2. 19	2.97	3. 24	3. 9	4.02
:	1. 50	3.82	3.48	3.66	4.44	45
:	1.89	3.00	3.60	3. 87	4.68	******
:	2.07	3.09	3.63	3. 96	4. 68	504
!	2.16	3.09	3.66	1 4.04	4. 68	5.10
:	2.16	3. 12	3.72	4.03	4. 71	KKKK
!	2. 16	3. 15	3.72	4.08	4.77	5. 22
:	2. 16	3. 15	3 . 75	4. 03	4. 33	5. 25
:	2. 1;	3. 15	3.78	4. 11	4. 86	5.25
:	2.16	3. 18	3.81	4.11	4. 92	5.25
į	2. 16	3.18	3.81	4.11	4.92	5. 31
: !	2.19	3.18	3. 87	4.11	4. 92	5. 31
:	2. 22	2. 21	3.87	4. 11	4. 32	5*23* *
!	2. 22	3. 21	3.9	4.14	5. 01	540
!	2. 25	3. 21	3.9	4. 23	5. 07	52224eC
:	2. 25	3. 24	4.05	4.36	5. 31	5.52
qn(1/h)	2. 07	2.97	3. 72	4.02	4.73	5 . 11
& , 1/4(1/h)!	1. 73	2.78	3.42	3.68	4.43	4.57
៊ីn/β(1/h)	2. 25	3.225	3.98	4.31	5.19	5.46
EU' (%)	e3 , 57	96.9	91.9	91.5	92.5	89.4
EUa (;5)	87.8	93.00	92.7	92.4	92.4	91. 5

5 - <u>E_VOLUTION DE LA FORME DU BULBE_HYDRIQUE_SOUS LE_GOUTTEUR.</u>

5.1 : Principe et dispositif expérimental

Le but de cette manipulation était de suivre l'évolution des profils de charges hydrauliques, dans un sol affecté par le débit du goutteur et en absence de tout autre apport d'eau. Nous pourrons ainsi :

- . tracer les courbes de même charge hydraulique (=lignes équipotentielles)
- en déduire les lignes de courant, visualisant les directions et sens de transfert de l'eau,
- tracer les courbes de même succion
- , en déduire les courbes de même teneur en eau, connaissant la relation h (8) caractéristique du sol.
- . suivre l'évolution de la teneur en eau, à la cote do chaque tenciomètre.

La figure 3.9 montre le dispositif expérimental. Nous avons utilisé 3 jeux de 5 tensiomètres chacun répartis de la façon suivante dans le sol:

- . 6 Tensiomètres à 10 cm
- . 4 tensiomètres à 25 cm
- . 3 tensiomètres à 40 c m
- . 1 tensiomètre à 55 cm
- . 1 tensiomètre à 70 cm

Les capsules poreuses des tensiomètres sont toutes sur le plan vertical et se répartissent dans l'une des moitié d u bulbe hydrique. Nous supposons le sol d'une homogénéité suffisante pour justifier une symétrie à axe verticale du bulbe hydrique.

L'essai consitait à:

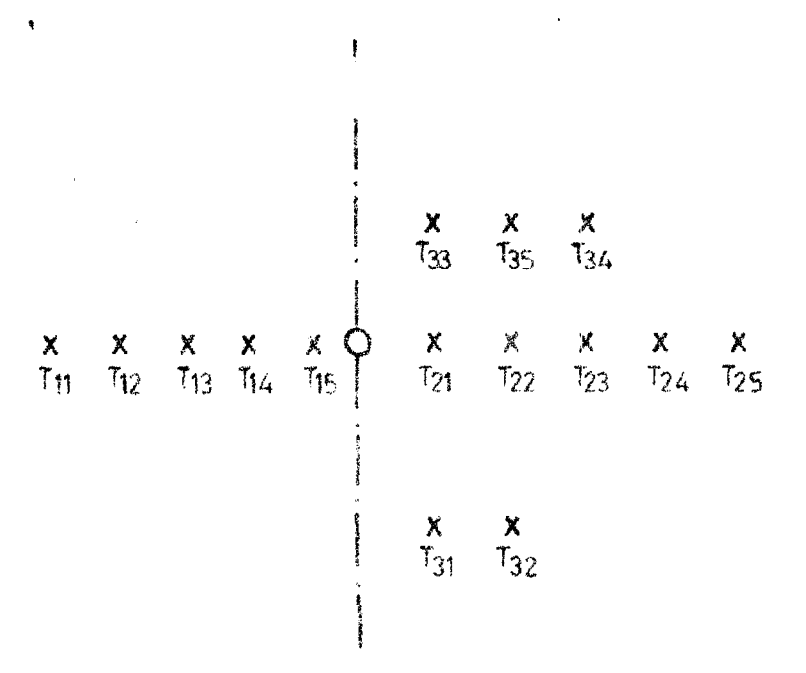
- régler la pression de service à 1 kg/cm2 on tête de la rampe
- arroser pendant 21-f untro 9H et 11H, au moyon du gouttour Tirosh
- . lire les tensiomètres chaque heure entre 8H 30 et 18H.

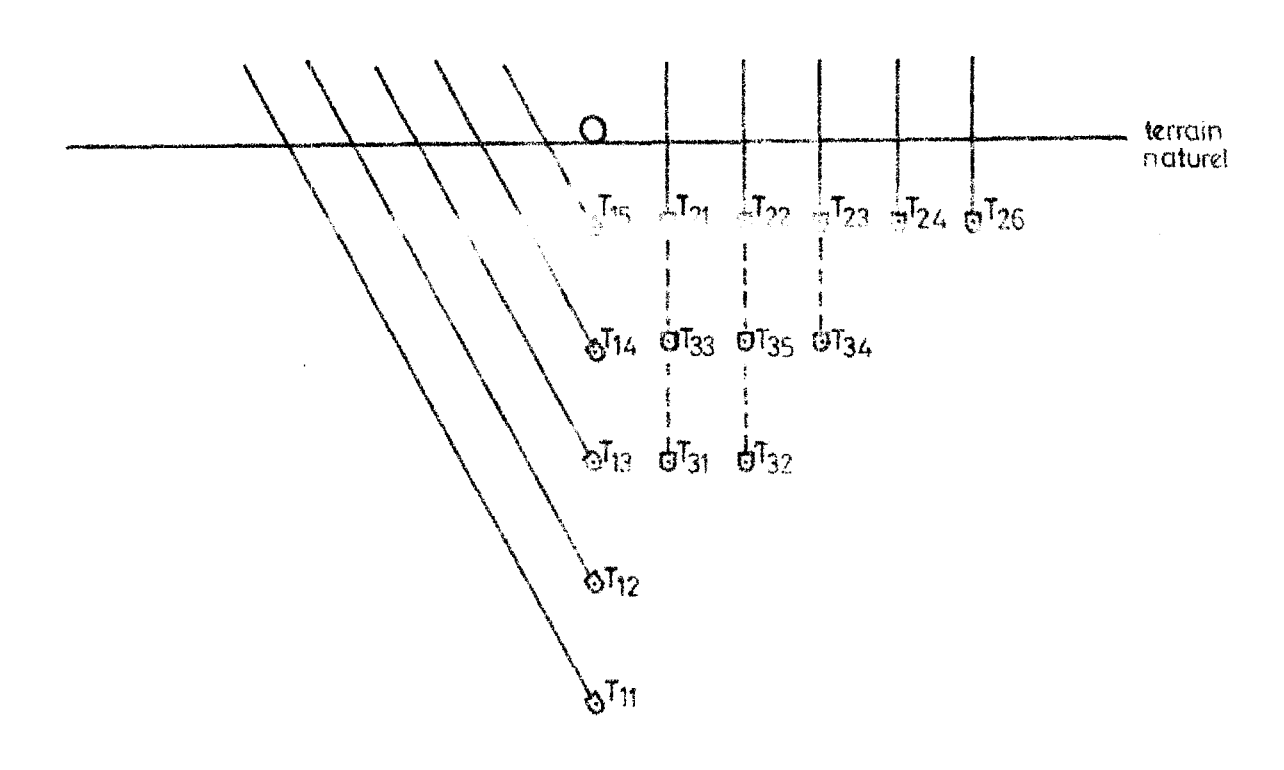
5.2 : Résultats et discussion

Cet essai, réalisé à Bambey sur sol du type DIOR-DECK, a Bté répété en 10 jours. Do ces 10 séries de bulbes hydriques une seule a été publiée dans ce rapport et ce, uniquement dans un but de synthèse. Ii s'agit du bulbe relevé la 13/06/80.

___ FIG. 3.9: CARACTERISATION DU BULBE HYDRIQUE.____

___ Plan d'implantation des tensiomètres ___





O Soutteur TiROSH

Compe d'amisage

X Tobsiomètre

T XX Nº du tobsiomètre

Les figures 3.10 à 3.15 représentent les lignes équitentielles et les lignes de courant ; tandis que les fig 3.16 à 3.21 montrent 1 évolution des courbes de même teneur en eau (donc de même succion). Ces graphiques sont très parlants quand à la qualité de la répartition de l'eau dans le sol.

Nous constatons qu'après l'irrigation (profils 12H à 18H), les composantes verticales et horizontales de l'infiltration ont sensiblement la même valeur. Pendant l'irrigation 1 'allure des lignes de courant dénote que 1 'évaporation du sol est négligeable dans un rayon de 50 cm autour du goutteur. Une heure après la fin l'irrigation, l'évaporation se manifeste sur toute la surface du sol. Sur ce type de sol, on constate que le front humide ns descent pas en dessous de 61-I cm, le débit du goutteur étant de 4. l/heure.

La dose appliquée (81) est 3 recommander dans le cas de cultures maraichères à enracinement superficielle. La forme des bulbes hydrique s'avère très interssante pour ces cultures, En effet:

- l'évolution dans le temps de la forme du bulbe hydrique montre que le facteur drainage en profondeur (z > 60 cm) est négligeable
- seules l'évaporation joue d'une façon significative comme facteur de perte de la dose d'irrigation,

Ainsi, sur ce type de sol, la dose d'irrigation est directement mise à la disposition de la plante en vue de satisfaire sa propre consommation et l'évaporation a partir du sol.

6 • REMARQUES ET CRITIQUES

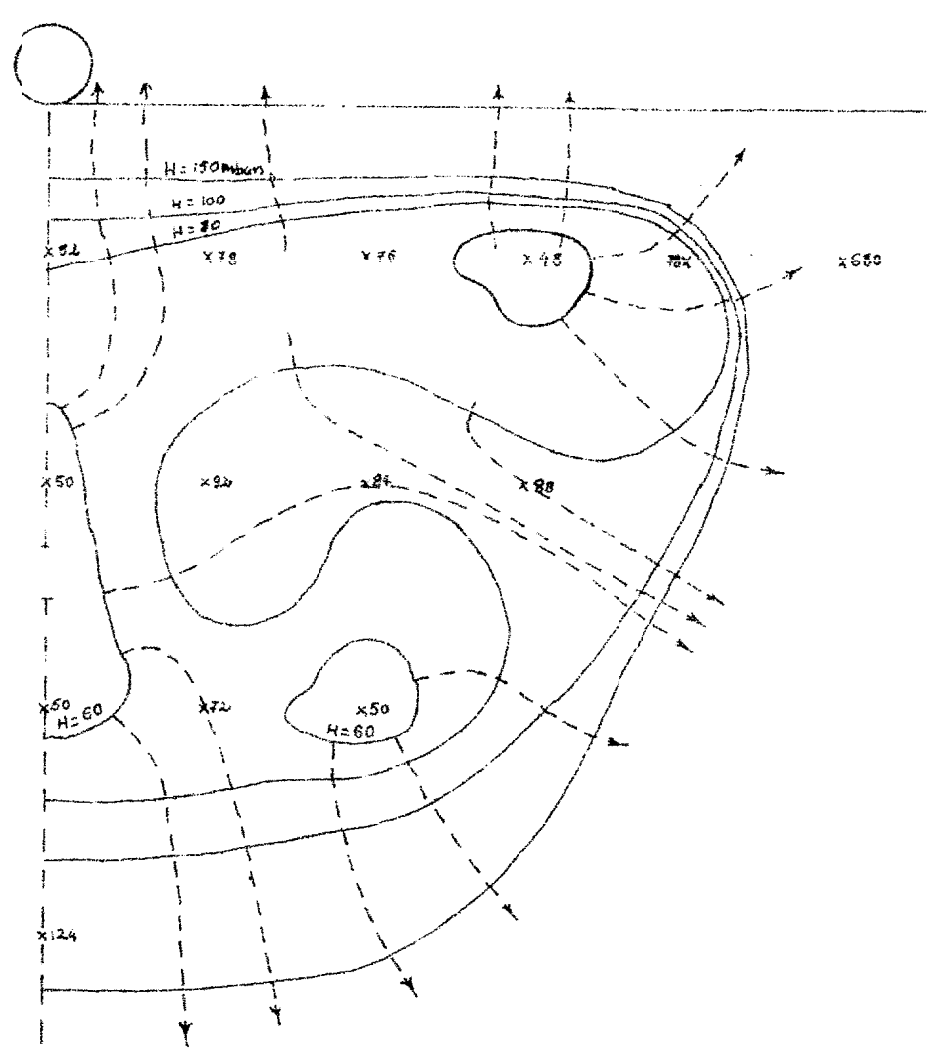
6.1 : Notre objectif, dans cet essai ci-dessus décrite a été de procéder à une étude qualitative de la répartition de l'eau dans le sol, sous le goutteur. Après la sortie de ce rapport, une étude quantitative de la répartition de cette eau va être menée. Cette étude permettra :

- d'évaluer les volumes d'eau d'évaporation et de percolation profonde
- d'évaluer les stockes hydriques
- de faire du bilan hydrique

Fig. 3.10 : BULBE HYDRIQUE

lignes équipotentielles

Relevé à 8440



Relevé à 9400

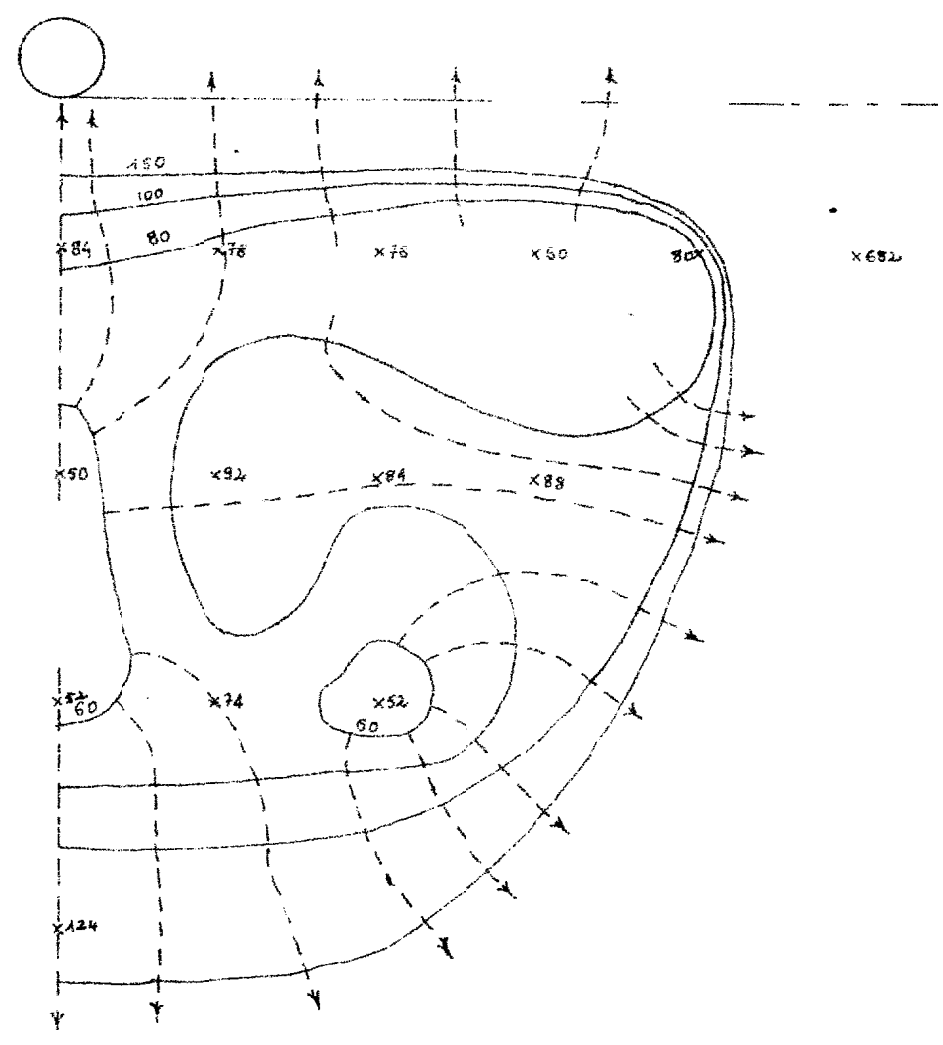


Fig. 3.11 : BULBE HYDRIQUE

-- lignes équipotentielles

-- lignes de courant

Relevé à 10º00

× 5+2 × 88 × 424

Relevé à 11400

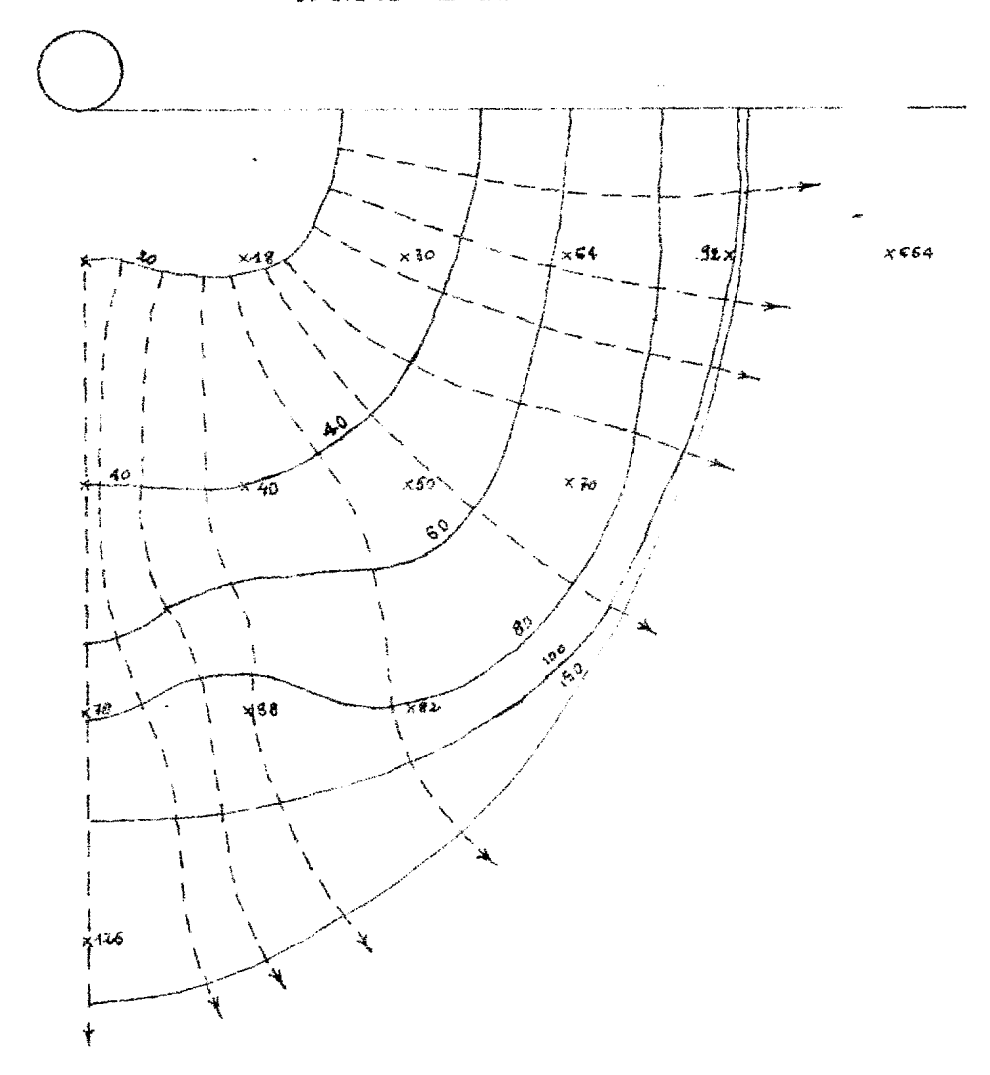


Fig. 3.12 BILBE MYDRIQUE

-- lignes Equipotentielles
-- lignes de courant

Relevé à 12400 1 x36 1 ×816 1×54 (52)

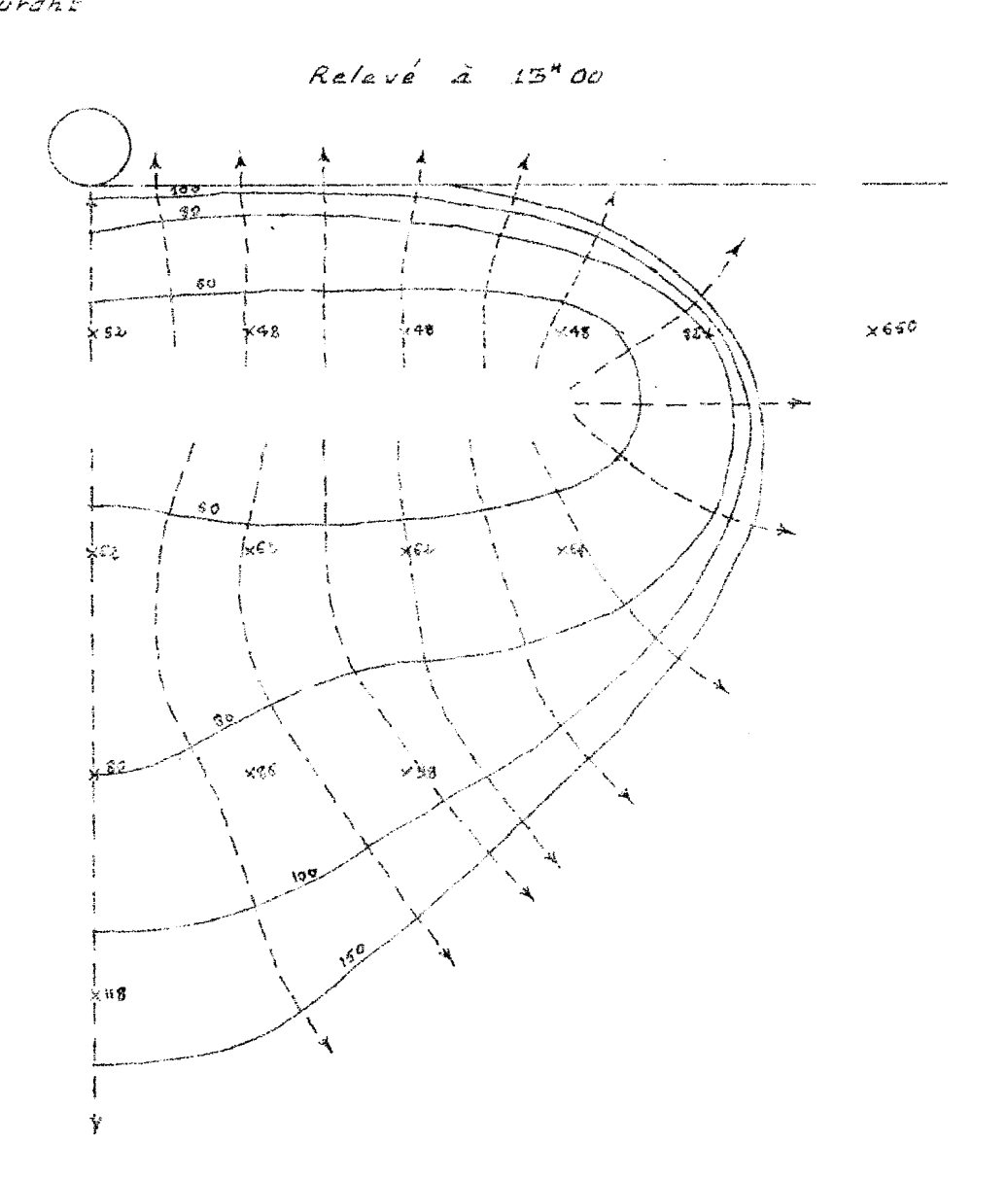
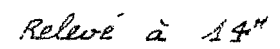
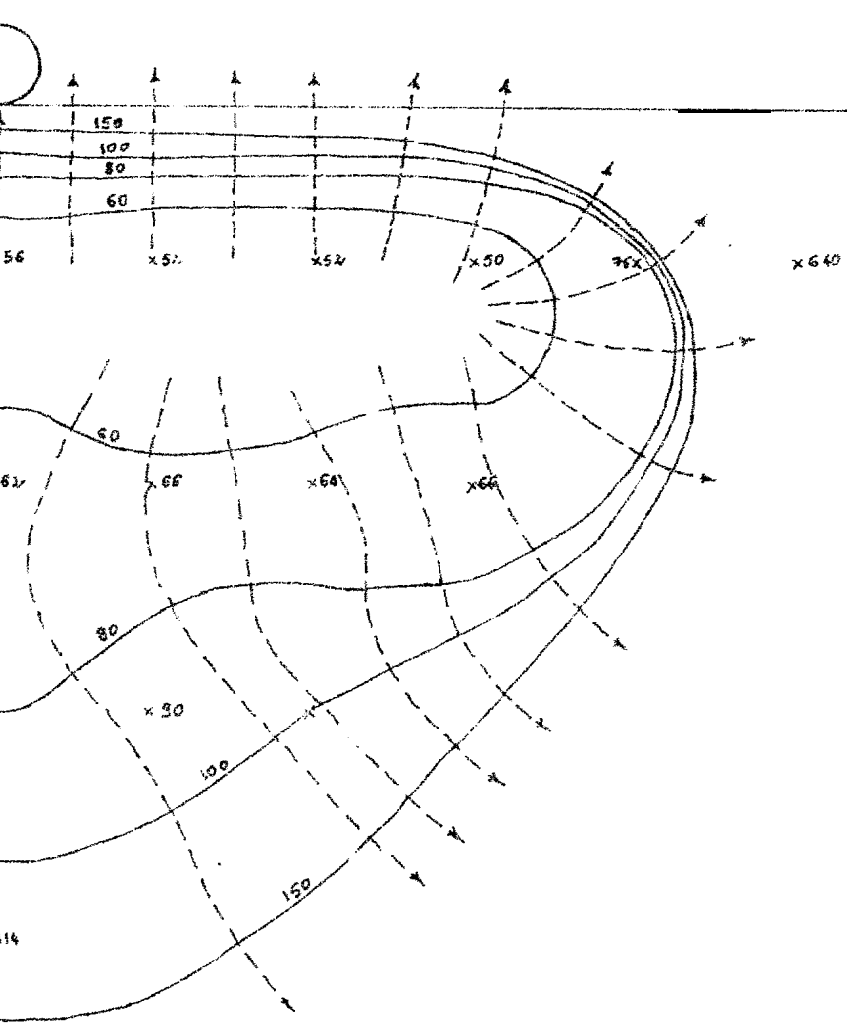


Fig. 3.13 BULBE HYDRIQUE

-- lignes équipotentielles





Releve à 15 H

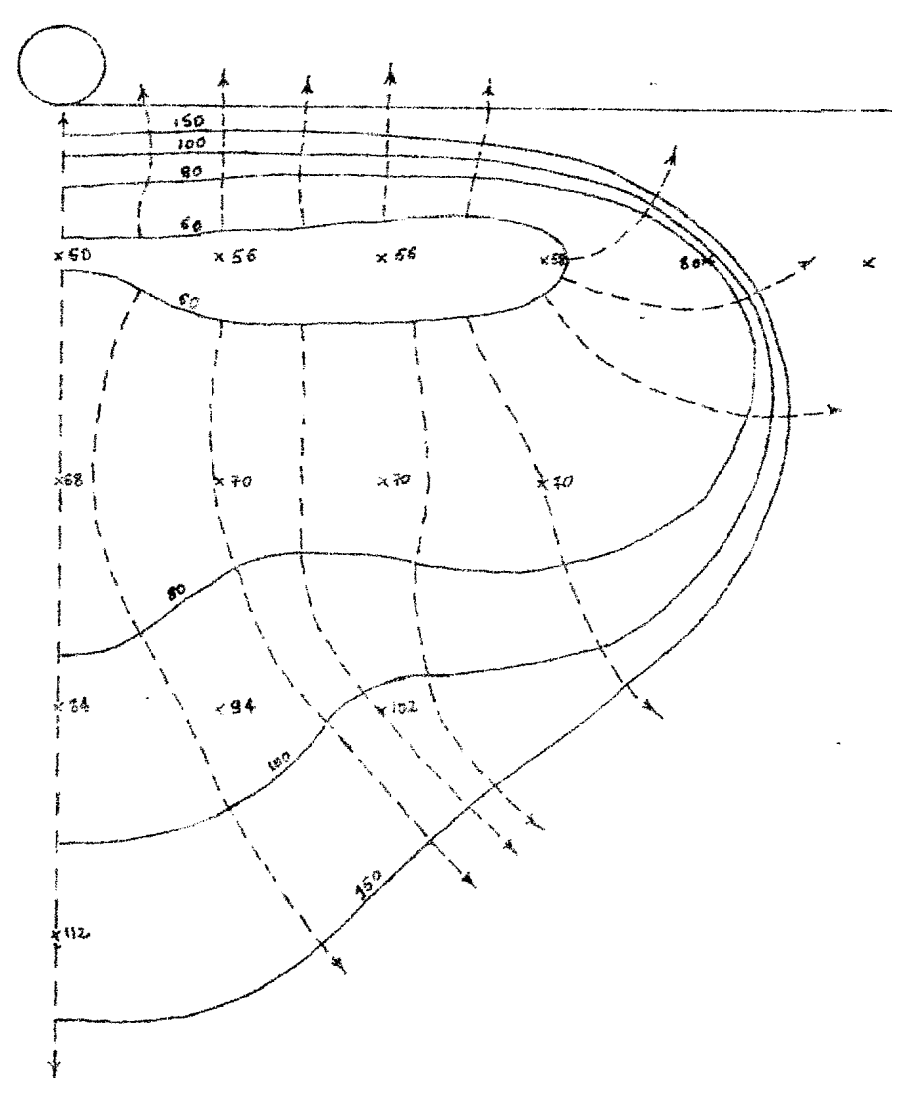


Fig. 3.14 BULBE HYDRIQUE: -- lignes équisotentielles

Relevé à 164

X54 65.

Relevé à 17H

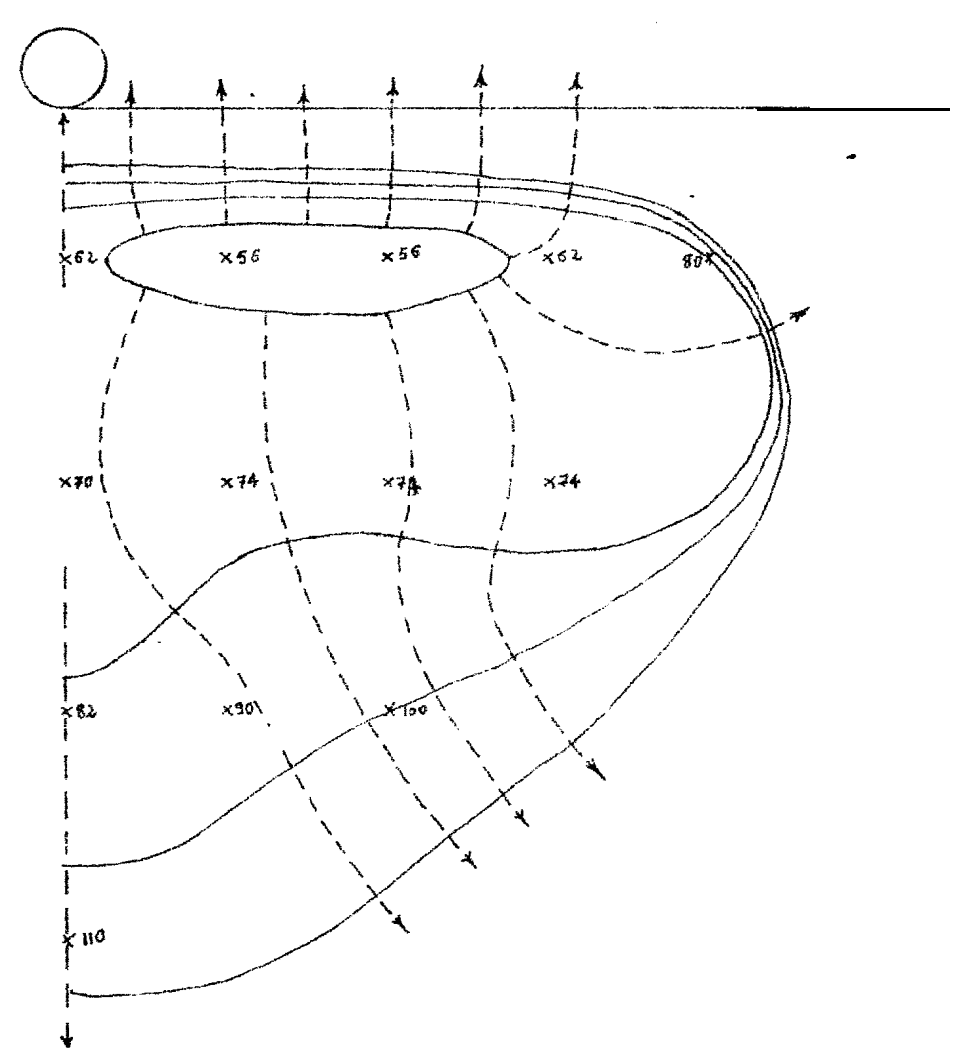


Fig. 3.15 : BULBE HYDRIQUE:

___ lignes équipotentielles ___ lignes de courant

Releve à 184

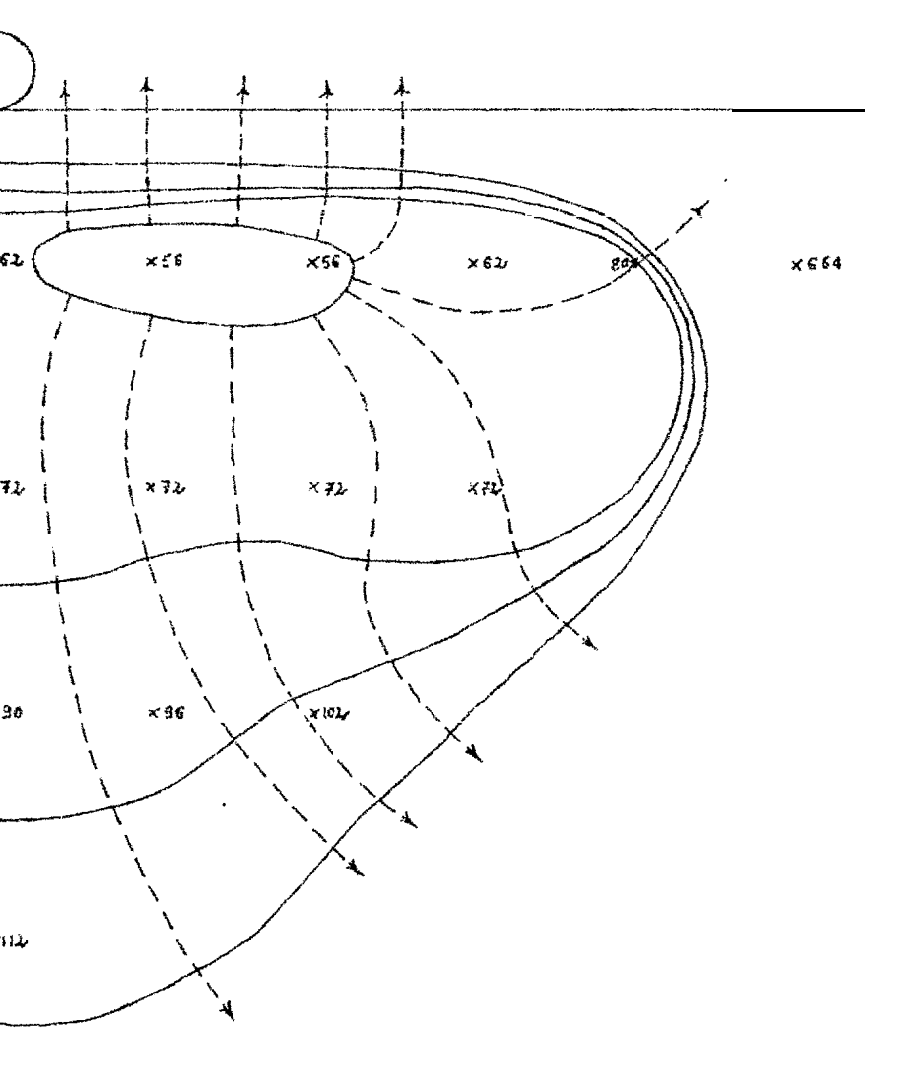


Fig. 3.21 : BULBE HYDRIQUE: Courbes de même teneur en eau.

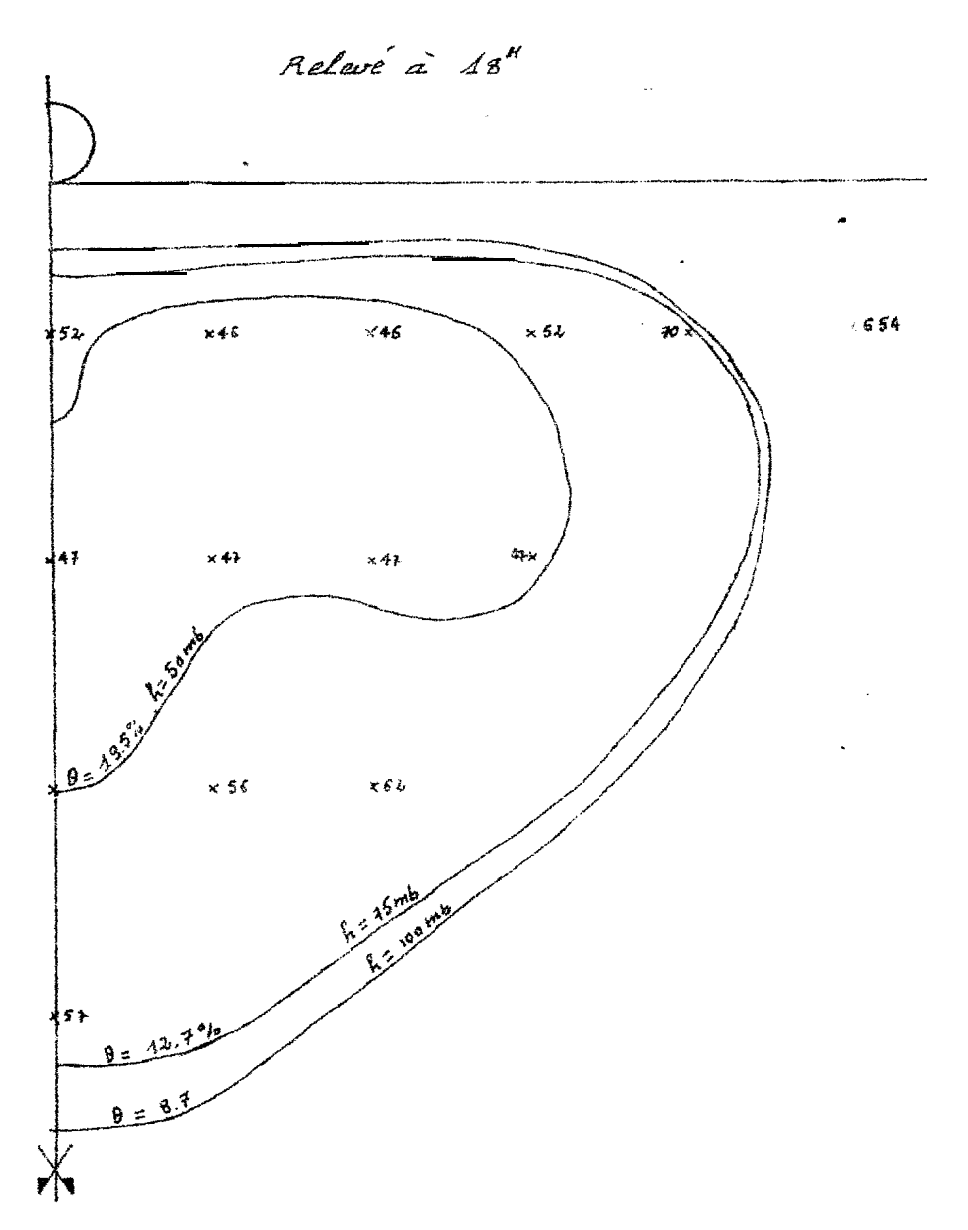
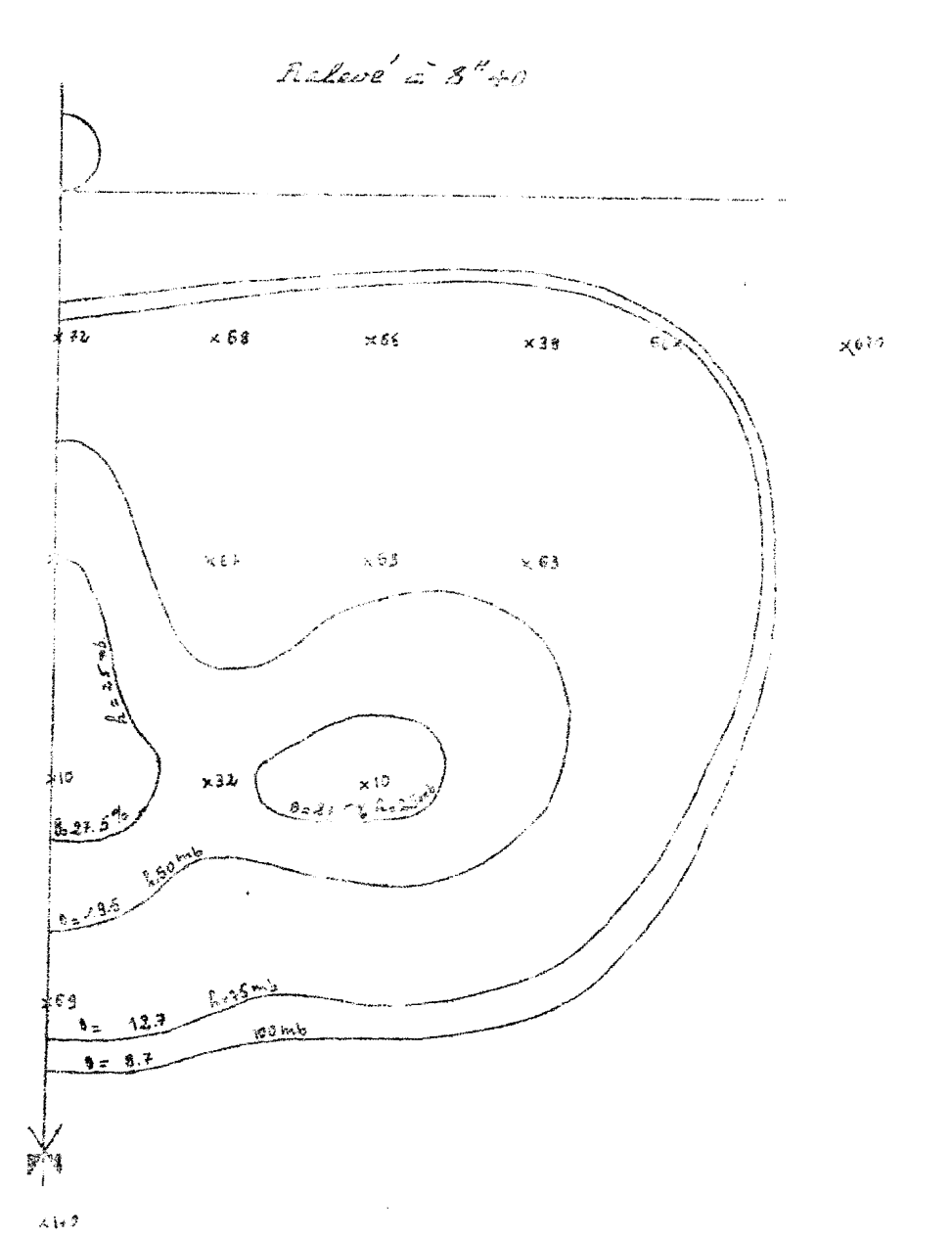
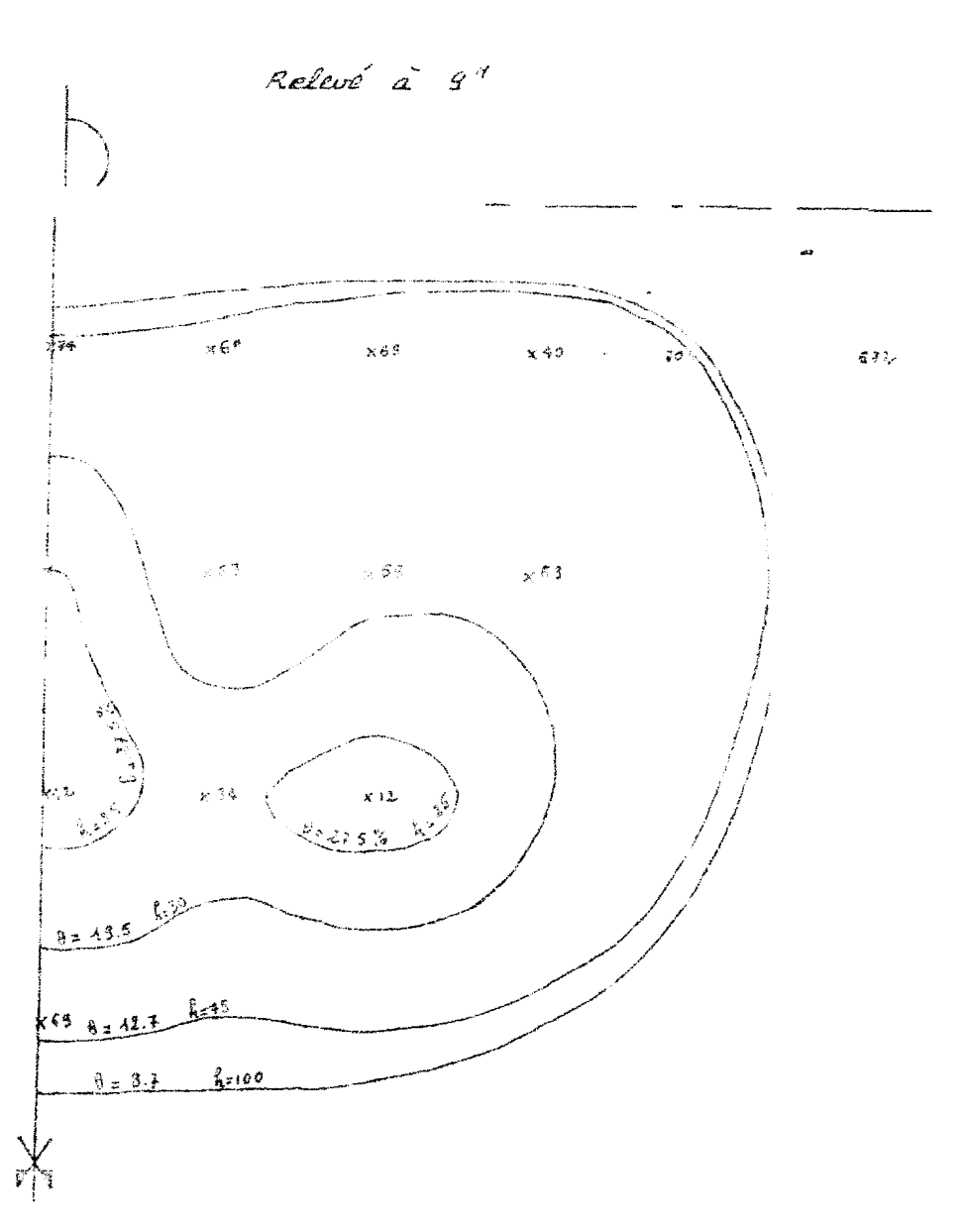


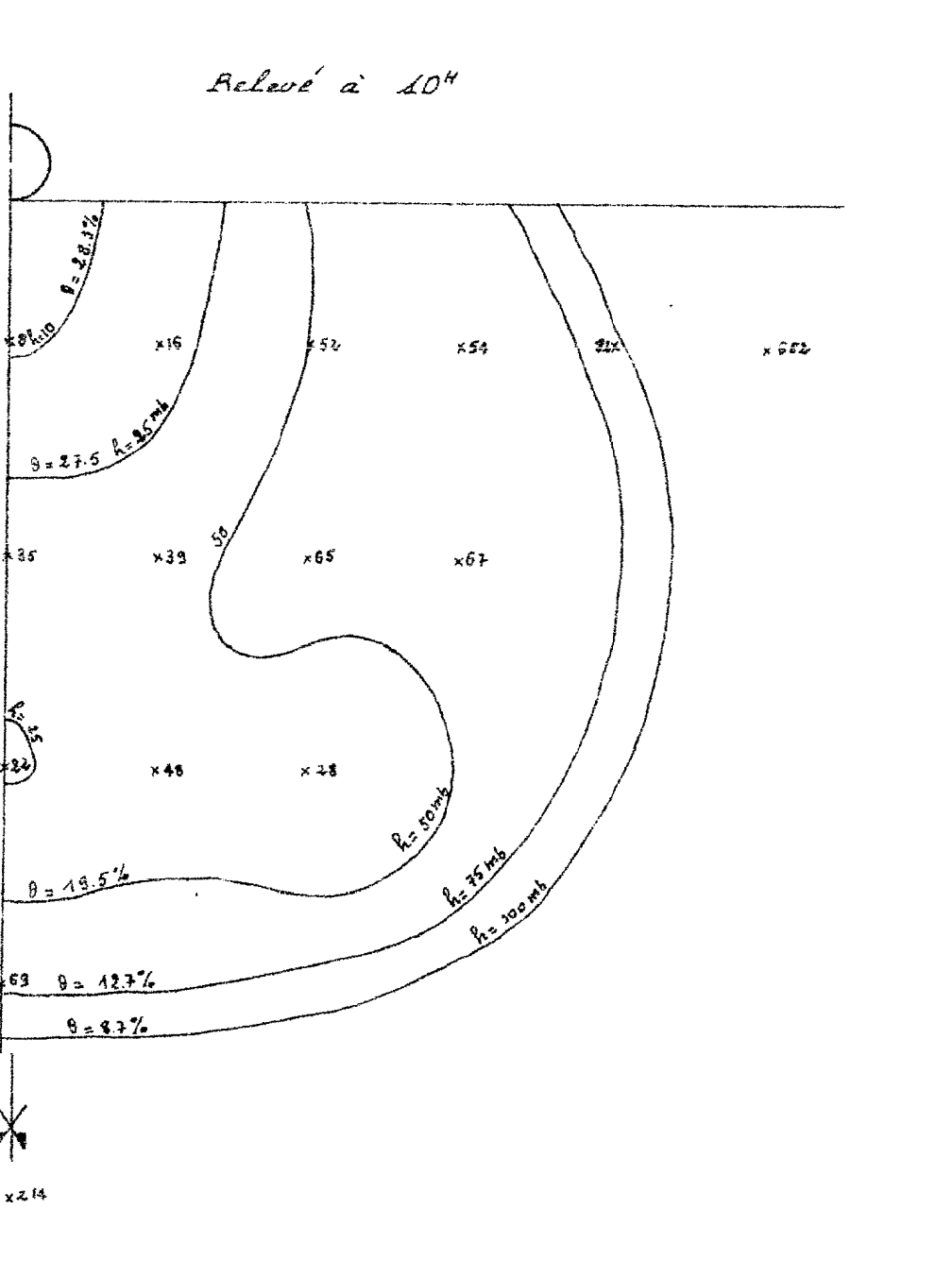
Fig. 3. 16 DULLES VI

Couches to retire conser-





Eig. 3. 17: BULEE HYDRIQUE: Courbes de même teneur en eau.



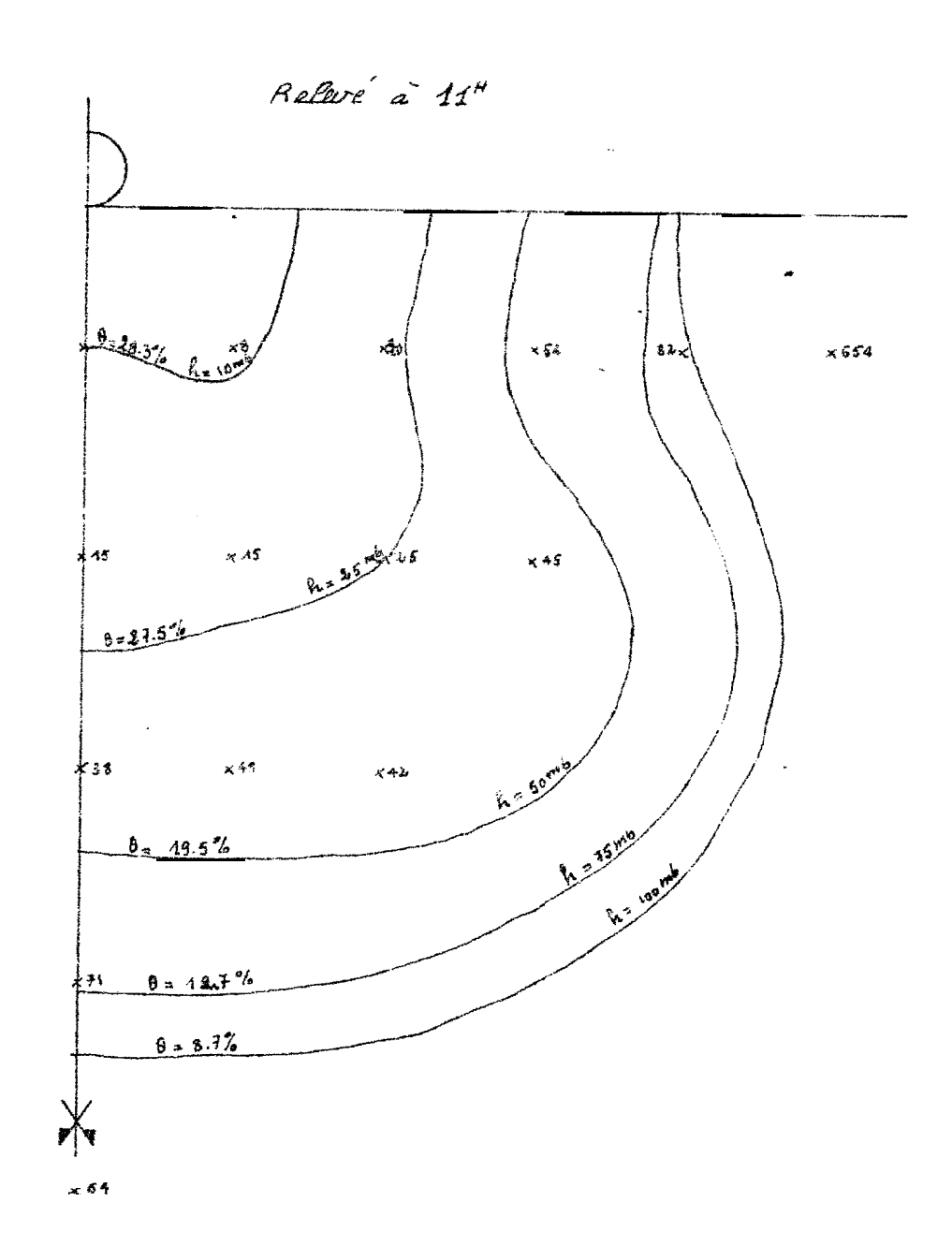
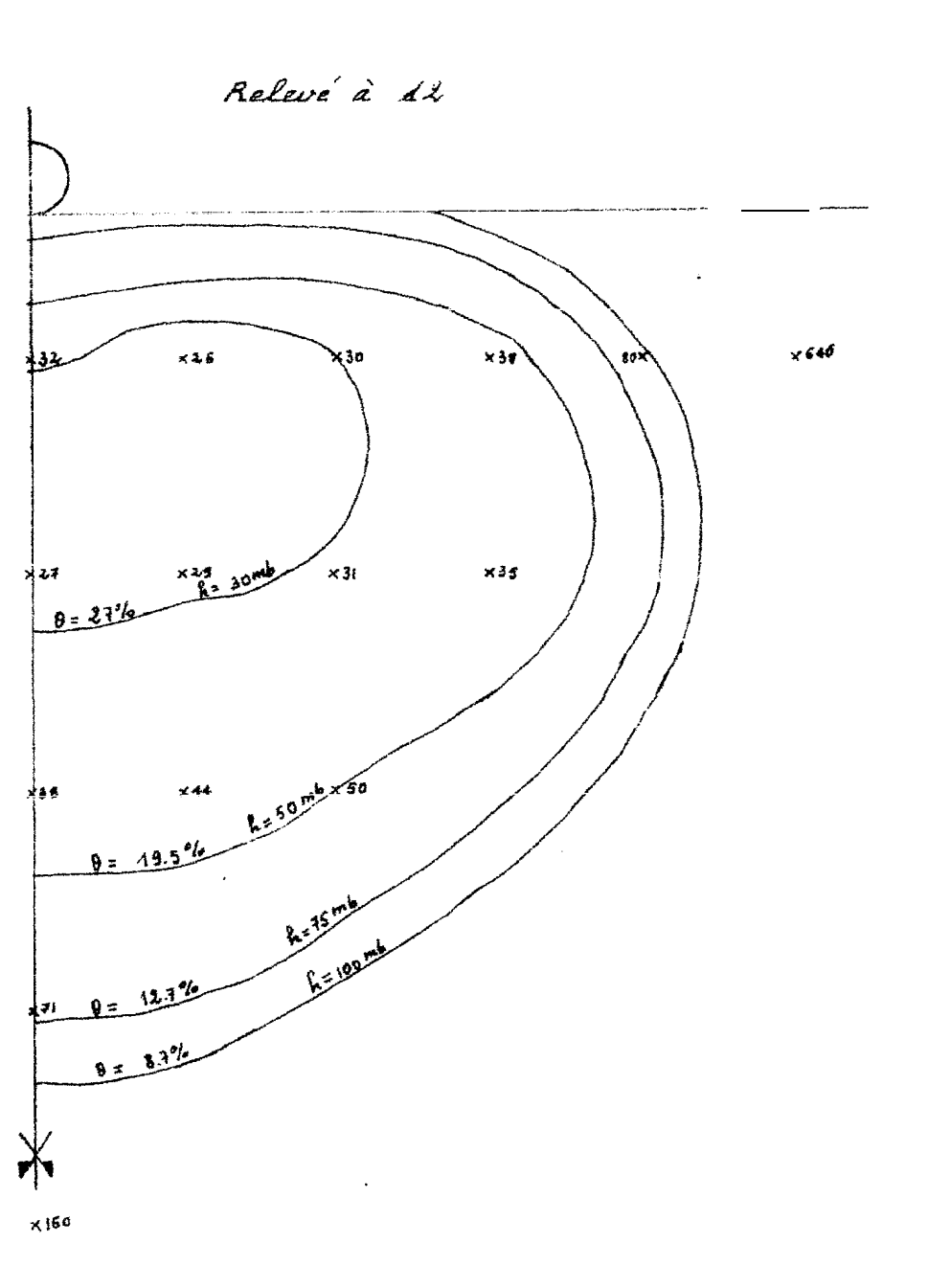


Fig. 3.18: BULBE HYDRIQUE: Courbes de même teneur en eau.



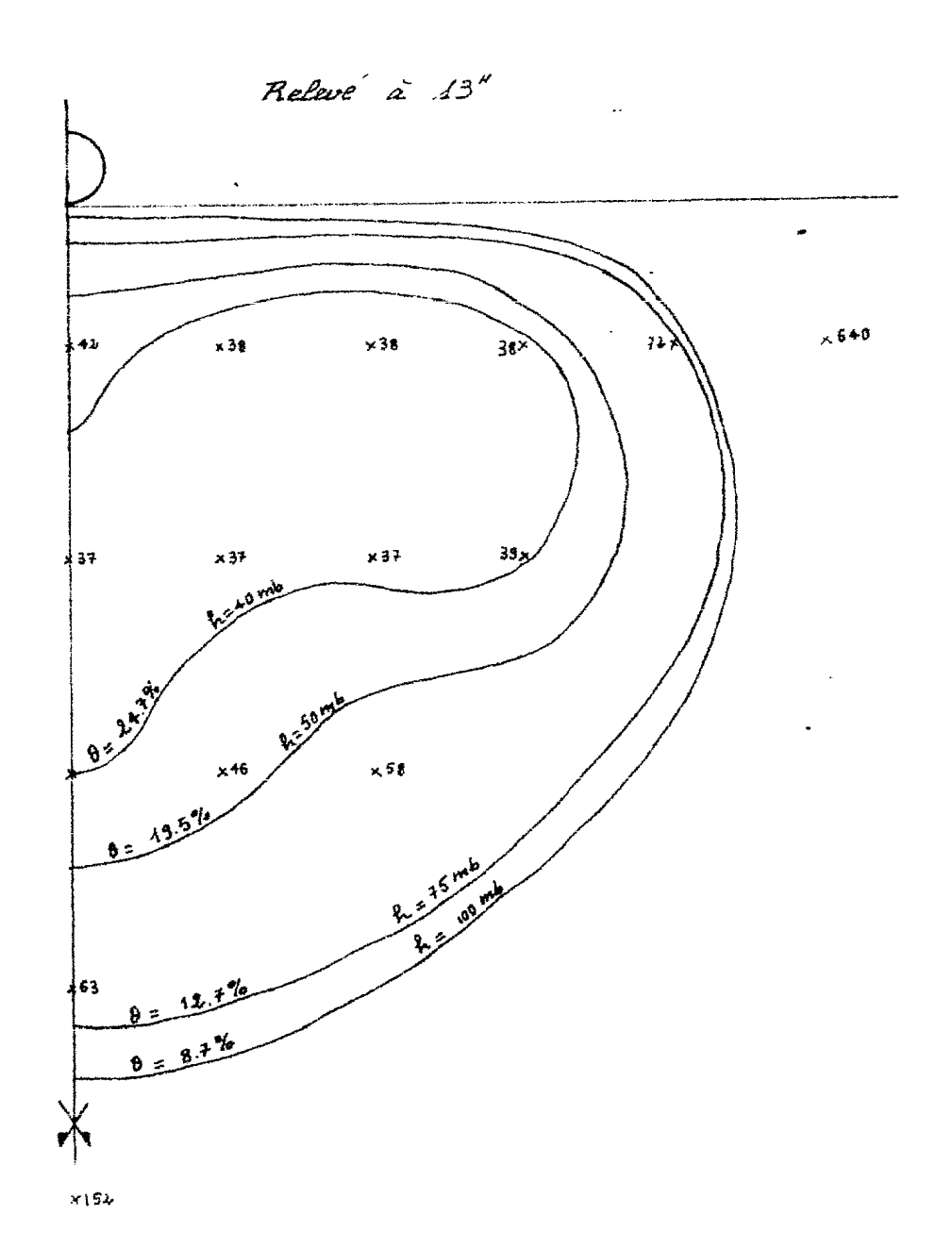
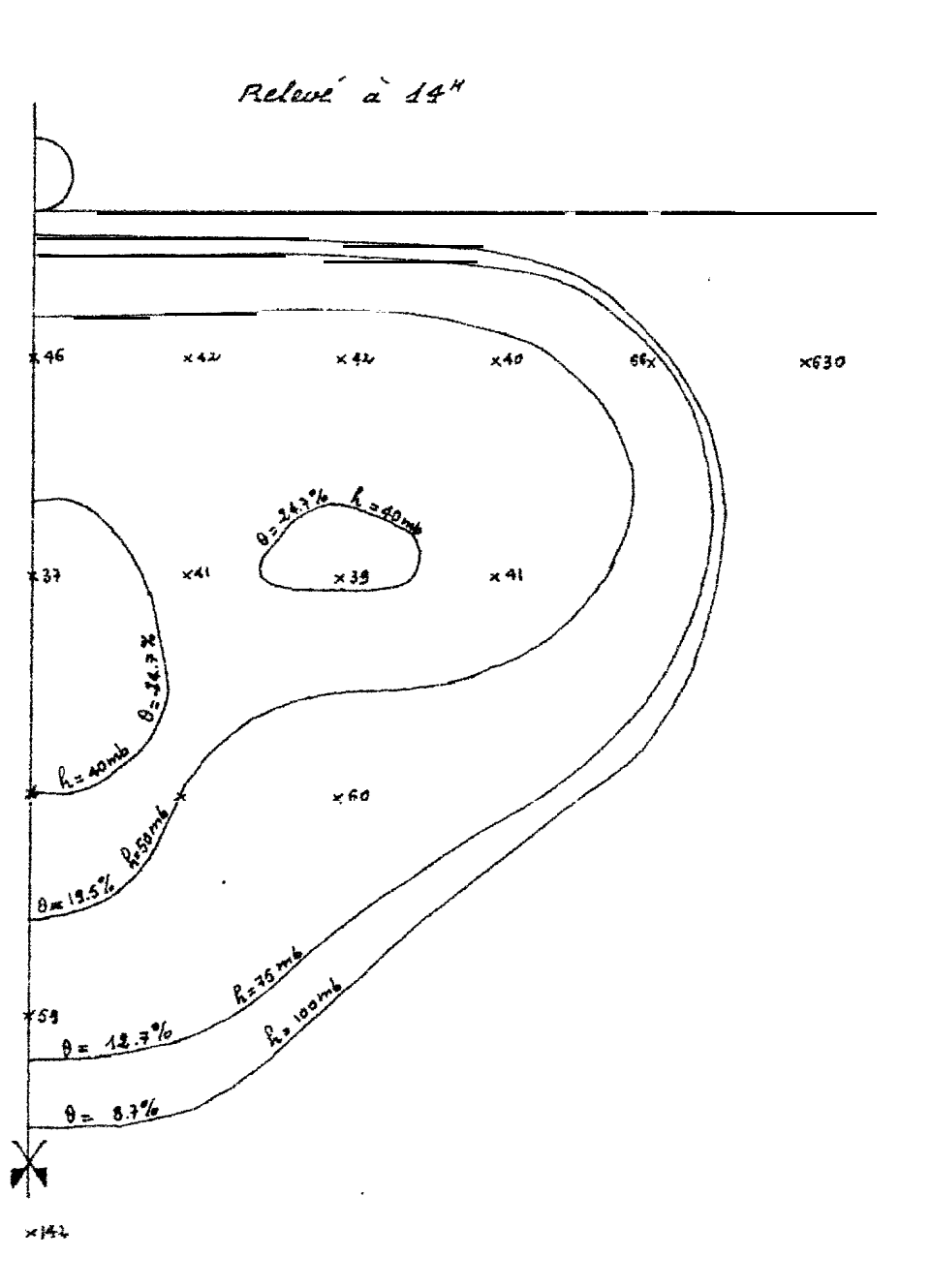


Fig. 319: BULBE HYDRIQUE: Courbes de même tereur en eau.



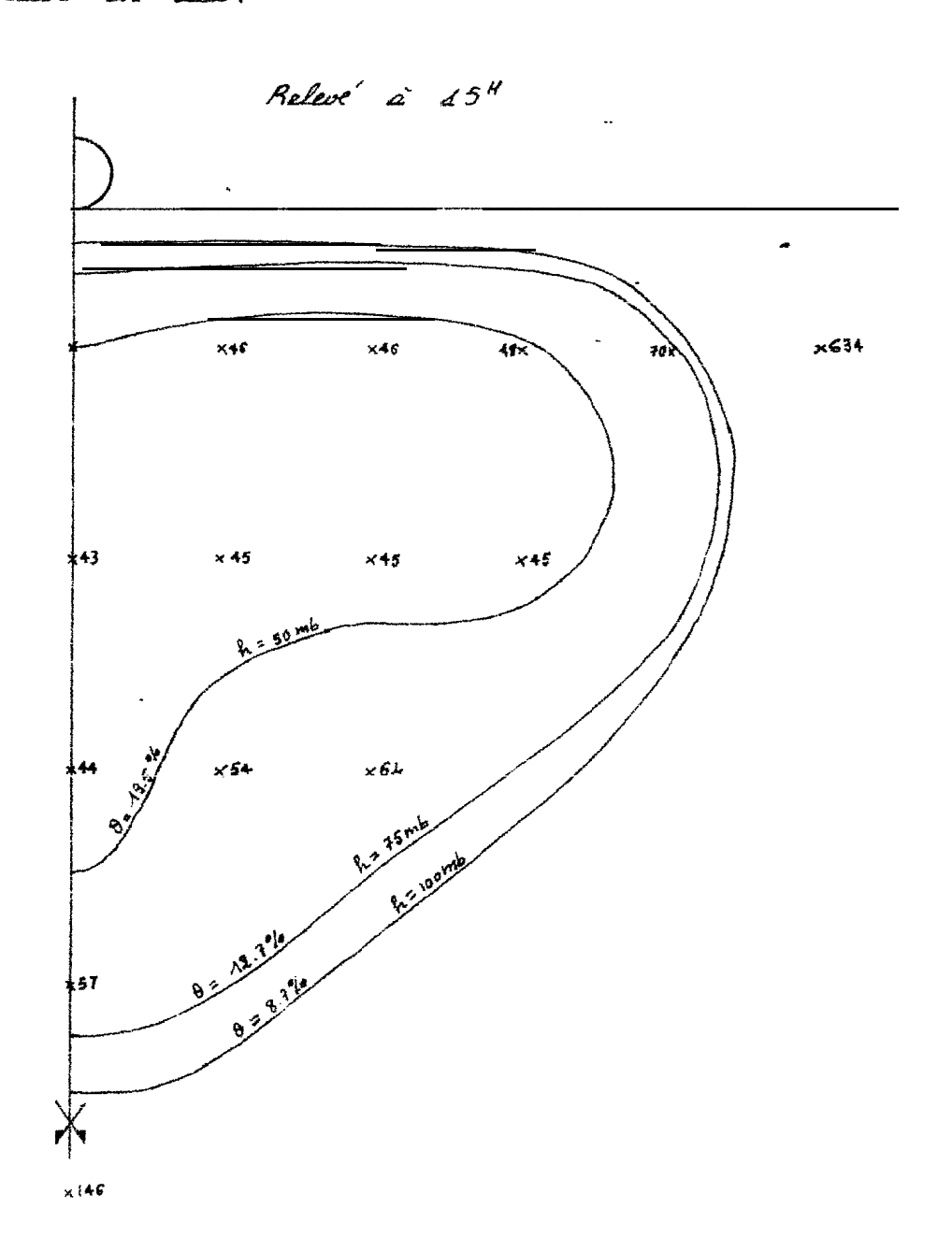
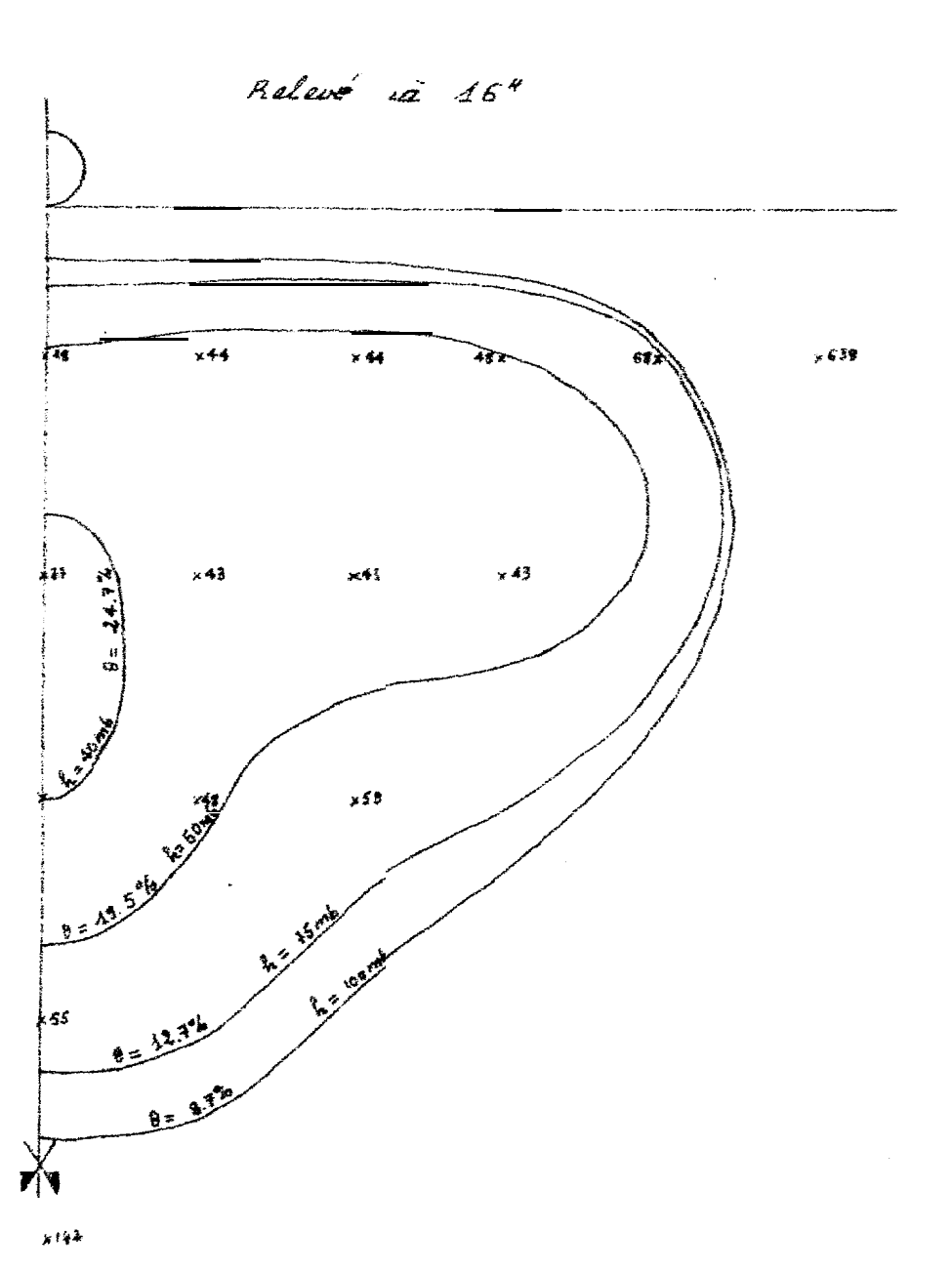
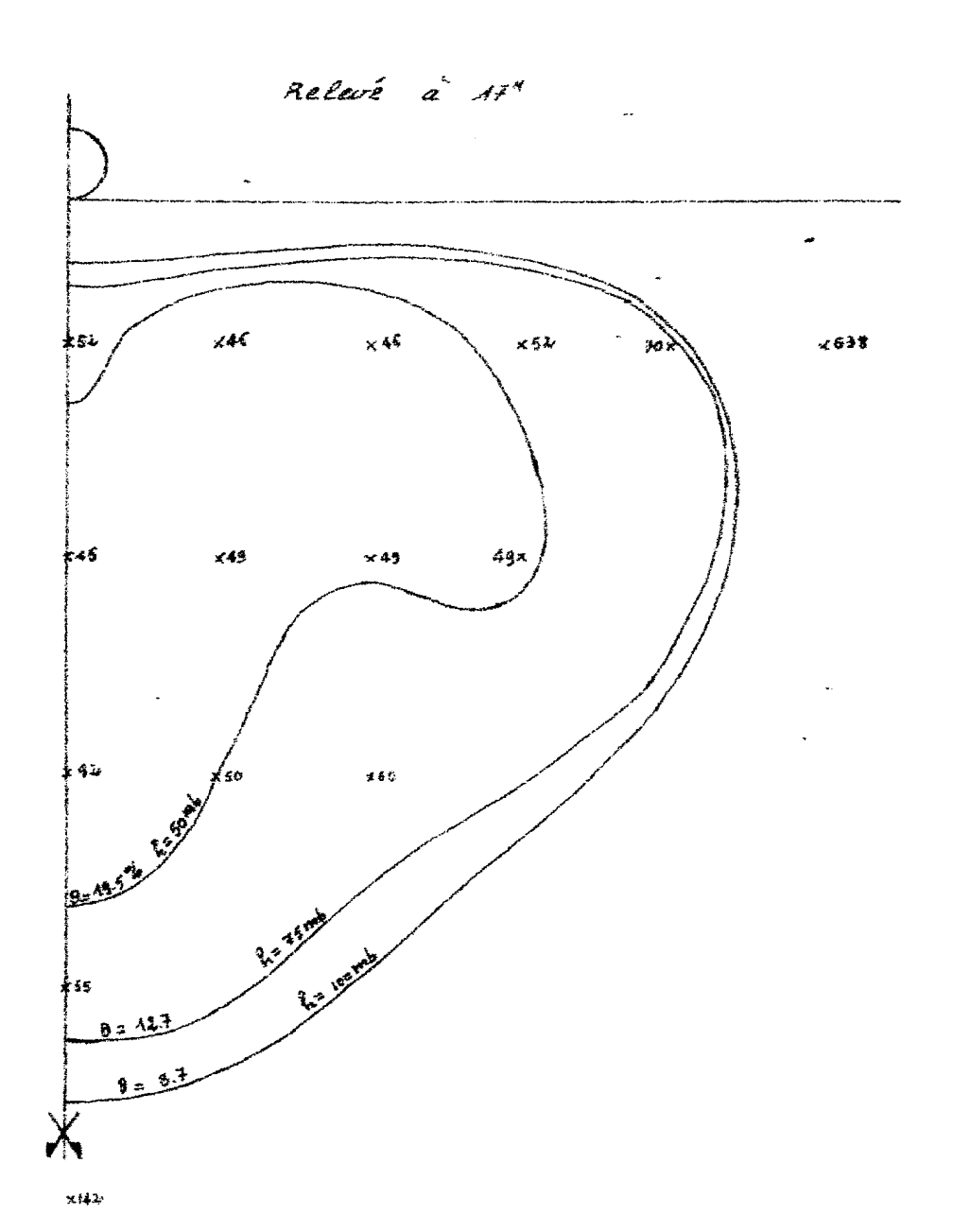


Fig. 3.20: BULBE HYDAIQUE
Courbes de même teneur en eau.





- 6.2: La relation h(H) du type de sol (DIOR-DECK) a été déterminée par la méthode du drainage interne, Dans le cas de l'étude des bulbes hydriques, nous avons utilisé cette relation (pour convertir les courbes h = cste en 0 = cste), en conditions d'humidification. C'est donc dire que nous avons négligé l'hysteresis. Des études antérieurs (Vachaud...) permettent de penser que l'hysteresis est négligeable dans le cas des solo sableux.
- 6.3 : Lors du test du goutteur Tirosh, nous n'avons pas pu mener l'étude do la variation du débit des goutteurs le long de la rampe Ceci est dû aux raisons suivantes :
 - 1 'existance de fuites entre la rampe et les goutteurs
 - le manque d'un matériel à même de mosurer avec précision les dimensions dos goutteurs pour déterminer leur coefficient d e variabilitéq.
 - Compte tenu de la bonne régulation des débits des goutteurs, il faudrait une longueur de rampe très importante pour entrainer une réduction de débit appréciable (10 %). Le calcul théorique permet de prévoir une :Longueur minimum do 72 m pour une perte de charge unitaire de 0.05 m/m à travers la rampe d'arrosage, à une pression moyenne de service do 1 atm.

7 - CONCLUSION

Une telle étulimnosait puisqu'elle devait parmottre d'une part de tester les caractéristiques hydrauliques du goutteur Tirosh et d'autre part de vérifier l'adéquation de ce goutteur à nos conditions de sol (forme du bulbe hydrique).

La loi dúbit - pression du goutteur nous a permis de constater que l e goutteur Tirosh une bonne régulation de débit. Avec ce type de goutteur, on peut adopter de grandes longueurs de rampes : 72 m si on supose une perte de charge, unitaire de 8.05 m/m et une réduction du débit d u 10 %

L'étude de la répartitition des débits à travers une maille hydraulique a montré que le gouttsur à des coefficients d'uniformité absolue et auxchamps élevés à des pressions de service allant de 0.8 à 1.8atm. Le goutteur doit être utilise à ces pressions,

L'étude de bulbe hydrique a révélé une forme semisphérique de la répartition de l'eau dans le sul, qui est très peu affectée par la percolation en profondeur, pour la dose d'irrigation adoptée (8 litres)

8 - ANNEXE: 31 PROTOLE DE L'ESSAI

ANNEXE 3.1

PROTOCOLE D'ESSAI DU SYSTEME D'IRRIGATION GOUTTE A GOUTTE TIRGSH

I - OBJET

Tester le système Tirosh en vue de déterminer :

- les variations du débit dos gouteurs on fonction do la prese sion dans la conduite au niveau dos goutteurs
- les variations du débit des goutteurs le long de la rampe d'arrosage
- les variations dos pertes de charges unitaires on fonction du débit dans la conduite d'arrosage,
- le coefficient d'uniformité par la méthode Keller-Karmeli
- les variations des débits des goutteurs on fonction du temps (Résistance des goutteurs, à l'estruction)
- la répartition de l'eau dans le sol ; évolution du bulbe humide en fontion du temps.

II - RELATION q = f(H)

1/ Principe y Faire passer un courant d'eau dans une conduite muni e du type Tirosh. Le débit q à la sortie du goutteur d'un goutteur par empotement et la Pression H dans la conduite, à l'entrée du goutteur est indiquée par un manomètre connecte sur la conduite

2/ Dispositif expérimentl

- → Une conduite en polyèthylène de diamètre = 63 mm munic d'une prise pour manemètre
- Un goutteur Tirosh
- 3/ Remarque : Les variations de la pression H sont obtenues en faisant varier le débit dans la conduite (Q) au moyen d'une vanne placée en avail du réseau.

III - RELATION q(L)

1/ Principe : Mesurer les variations du débit des goutteurs le long d'une rampe d'arrosage. On fait passer un débit d'eau pendant une les pluviomètres placés sous les goutteurs.

2/ Dispositif expérimental

- Une rampe constituée d'un tuyau PE de diamètre 16 mm, munie de 25 goutteurs tirosh espacés de 0.5 m.
- u n compteur volumétrique placé en tête de l a rampe
- 9 pluviométres
- un terrain Sien plan6 et horizontal

3/ Remarque

A partir du débit Q1 en amont de la rampe, donné par le compteuron déduit les débits Qi dans les divers tronçons do la rampe, compte tenu des débits qi des goutteurs.

IV - RELATION i(Q) et J(Q)

1/ principe: La relation q(H) déterminée au point II nous donne, à partir de **la** valeur du débit de chaque goutteur, la pression H dans la conduite à l'entrée du goutteur. Les pertes de charges j sont déduites do ces pressions pour chaque tronçon de 0.5 m séparant 2 goutteurs. Les pertes do charges unitaires J sont calculées par la relation:

J = j/l = j/0.5, j'étant exprimé en m.

Les débit Qi dans la conduite sont déduits de la relation:

$$Qn = Q1 - \frac{n-1}{1} qi$$

Q1 = débit en amont de la rampe mesuré par le compteur volumétrique

qi = débit des goutteurs.

2/ Dispositif expérimenta2

Le dispositif est le même que pour le point III.

V - LE COEFFICIENT D'UNIFORMITE (EU')

EU' est déterminé au champ par la méthode de J. Keller et D. Karméli.

- 1/ Principe y Dans une maille constituée de 4 rampes espacées de 2 m et équipées chacune de goutteurs, on choisit 15 goutteurs uniformément répartis à travers la maille et représentatifs de la répartition des débits dans celle-ci. Sur chaque rapme, les 4 goutteurs choisis sont :
 - . le premier goutteur
 - . lo goutteur **s**itué à 4 m du premier
 - . le goutteur situé à 8 .m du premier
 - . le dernier goutteur situé à 12 m du premier

Sous chaque gouttour choisi est placé un pluviomètre.

On fait passer un courant d'eau dans les quatre rampes pendant 10 minute3 puis les débits des goutteurs sont déduits de la lecture des pluviomètres. Le calcul donne les valeurs de :

qn/4 min = moyenne des quatres débits les plus faibles

qn = moyenne de tous les 16 débits de goutteurs.

 $\bar{q}n/8 \, \text{max} = \text{moyenne des doux débits les plus grands parmi les 16}$

On déduit les coefficients d'uniformité au champ (EU') et absolu (EUa):

$$EU^{\dagger} = 100 \frac{\overline{q} n/4 \text{ min}}{\overline{q} n}$$

EUa = 100.
$$\frac{1}{2}$$
 $\frac{\overline{q}n \text{ min}}{\overline{q}n}$ $\frac{\overline{q}n}{\overline{q}n \text{ max}}$

2/ <u>Dispositif expérimental</u>

- ➡ En plus du dispositif cité au point III, 3 rampes d'arrosage en PET de diamètre 16 mm équipées de 4 goutteurs chacune
- 12 pluviomètres.

VI - VARIATION DES DEBITS GOUTTEURS AVEC LE TEMPS

- 1/ Principe: Ils 'agit de mesurer la résistance à l'obstruction des goutteurs. On fait la même manipulation qu'au point III, un mois et 2 mois plus tard et on détermine le pourcentage de goutteurs bouchés totalement ou partiellement obturés.
- 2/ <u>Dispositif expérimental</u>: Le même qu'au point III.
- VII -REPARTITION DE L'EAU DAN LE SUL : Evolution de forme du bulbe hyilique sous un glauteur.
 - 1/ But : Déterminer la forme du bulbe hydrique. Cette forme traduit la répartition do l'eau dans le profil du sol et permet d'apprécier l'importance relative de la percolation et de l'infiltratior, latérale,
 - 2/ Principe: Des tensiomètres sont placés dans le sol dans la zone affectée par le débit du goutteur. Ils permettent de tracer les courbes de même charge (= lignes équipotentielles). Les lignes de courant en sont déduites et visualisent les sens de transfert de 1 'eau. La connaissance de la relation h(0) succionteneur en eau, caractéristique du type de sol, permet de tracer les courbes de même teneur en eau.

3/ Dispositif expérimental:

(voir plan d'implantation des tensiomètres ci-joint). 3 jeux de 5 tensiomètres chacun, répartis de la façon suivante dans la moitié du bulbe hydrique :

- 6 tensionètres à 10 cm dans le sol
- 4 tensiomètres à 25 cm dans le sol.
- 3 tensiomètres à 40 cm dans le sol
- 1 tensiomètre à 55 cm dans le Sol.
- 1 tensiometre à 70 cm dans le sol.

ANNEXE 3.2

ESSAI TIROSH : Caractérisation du bulbe hydrique

Heure : début irrigation : 9H 00

fin irrigation : 11H 00

Raures	T11 !	T12	T13	! ! T14	T 15	T21	T22	! ! T 23	! !T24 !	T25	T31	! ! T 32	! T 53	T 54	! !T35 !
:! :3H 40 !	240	124	. 50	! 50	. 62	78	. 76	! 48	. 78	! 680	72	! 50	! 92 !	88	! 84 !
9H 00	238	124	52	! 50	84	78	76	50	80	! 682	74	! ! 52	92	88	34
! !10H 00	284! !	124	62	! ! 60 !	18	26	62	! ! 64 !	! ! 92 !	! ! 672 !	88	! ! 68 !	! ! 64 !	! 92 !	! ! 90 !
! 11H GO	234	126	78	40	20	18	30	64	92	! 654	88	! ! 32	! ! 40	70	50
12H 00	230	126	78	! 52	42	36	! 40	48	! ! 90	656	84	90	! 54	60	! ! 56
: !13H 00! !	222	119	! ! 86	: ! 62	! ! 52 !	! ! 48	! ! 48 !	48	! ! 82 !	! ! 650!	86	! ! 98 !	! ! 62 !	! : 64; !	! ! 62 !
14H OG	212	114	80	62	56	52	52	! : 50	76	640	90	100	66	! ! 66	64
! ! 15H OO! :	: 21 6 -	112	! ! 84 !	! ! 68 !	! ! 60 !	! ! 56 !	! ! 56 !	! ! 58 !	! ! 80 !	! ! 644	! ! 94 !	! ! 102 !	! ! 70 !	! ! 70 !	! ! 70 !
! 16H OO	212	110	80	69	58	54	54	58	78	! 648 !	88	98	! ! 68	68	66
! 17H 00 !	2 12	110	82	! : 70 ! !	! 62 ! !	56	56	! 62 !	! 80	648!	! 90 ! 10 !	! po ! ?	! 74 ! !	! ' 74 ! !	74
! 1 8H 00	214	112	! • 90	; , 72	! 62	56	56	62	83	, 664	96	102	! 72	72	72
. ! g &	!		; •	Î	<u>.</u>	•	! ?	! !	!	!	! !	! !	! !		! ! 9

9 - E 1 BLI O G R A PH $\ddot{\text{I}}$ E

- J.P. HUDSON: Charactéristics of trickle irrigation systems (Advances in Horticultural Science, oxford, Pergamon Press) 1962
- P. CELESTRE: Drip irrigation system (ICID V Congress, Tokyo) 1963
- P. CELESTRE : Drip irrigation system higher efficiency and lower cost.

 Lnusanne 1964
- B.D. VAN'T WUUDT: Trickle irrigation (water Research Fondation of Australia, Report nº 20) 2967
- D. GOLDBERG & M. SMMUELI: Drip Irrigation A method used under arid and desert Conditions of high water and seil salinity. (Transactions of the ASAE) 1970.
- ASAE (Américan Society of Agricultural Engineering), Lincoln, Nebriska, National Irrigation symposium, 7 reports on subsurface and trickle irrigation, Novembre 1970.
- Rada CHAPLIN: Drip irrigation in the United States, International Experts: Panel on Irrigation (ISRAEL 1971)
- I.D.I. MELBOURNE: Trickle Irrigation, Australia 1971
- F.A.O.: L 'Irrigation goutte à goutte (Bulletin d'irrigation et de drainage N° 14) 1972
- L. KELLER & D. KARMELI: Trickle Irrigation Design (1975) Rainbird Sprinkler Manufactoring Corp. Glendora, California.
- T.M. DUC : Irrigation au goutte à goutte. Etude au champ de quelques systèmes de goutteurs 1978.

PROGRAMME DE STAGE DE M. M.BEYE CHERCHEUR STAGIAIRE AU C.R.A. FLEUVE

I - DOMAINES D'INVESTIGATIONS :

- Agrométéorologio (axée sur le Fleuve)
- Etudes hydrodynami ques
- Détermination des besoins en eau.
- Techni ques d'irri gati on.

Chacun de ces points est précédé d'une bibliograhie appliquée.

La préparation d'un programme de recherche définitif nécessite une vue d'ensemble :

- de la bibliographie régionale du Fleuve passant en revue les propectians pédologiques effectuées, les études de projets, las divers travaux de recherche menéo par l'IRAT, la FAO, l'ORSTOM etc.,.
 - des orientations de la recherche dans la région du Fleuve.

II - CONTENU

- 1. Agrométéorologie : Rassembler les données nétéo régionales Durée prévue : 1 semaine
- 2. Etudes des caractéristiques hydriques et hydrodynamiques $\underline{\text{des}}_{\,m}\underline{\text{sol}}_{\,s}$

Durée du 20 janvier à fin février.

- 2.1. <u>Bibliographie</u>: Utilisation des divers appareils emplo yés (humi di mètre à neutrons, tensiomètres perméabilité Munts, etc. .)
 - 2.2. Manipulation (à la Ferme irriguée)
 - Choix des emplacements (caractérisation granulométrique)
 - 2 infiltrations / ressuyages
 - Dépouillement des résultats
 - 3. Besoins en eau
 - 3.1, Bibliographie
- 3.2. Appareillage : passage en revue, pour mémoire, de l'humidimètre à neutrons, du tensiomètre et de l'évaporamètre.
 - 3.3. <u>Manipulation</u>:
- 3.3.A. Hypothèse longue durée : manipulation sur la ferme irriguée d'une durée de 4 mois, de mesure dos besoins en eau d'une culture d'oignons.

Cette mesure nécessite :

- 2 Parcelles cultivées
- 4 tubes au total
- 1 sonde SOLO (sinon Pitman)
- 1 observateur
- . 4 pluviomètres AGRAM

Cette manipulation sera effectuée de début février à la fin mai 1980.

- N.S.: On raccordera les mesures d'ETM avec celles d'un bac normalisé, classe A, à placer dans la ferme irriguée.
- 3.3.2. : <u>Hypothèse courte durée</u> : Comparaison des bilans de consommations hydriques en sole grillagée sur le système mi.1 niébé dérobé entre les mesures in-situ avec tubes d'accès et les mesures avec évapotranomdromètre.

Durée : 3 semaines + rédaction du chapitre.

4. Techniques d'irrigation

4.1. Bibliographie:

- Description des modes d'irrigation, des systèmes d'irrigation
- ➡ Principe de chaque système aux conditions écologiques locales,
- . Rappel de l'appareillage de mesure : déversaire, parchall plaques à orifices etc.. ,

4. 2. <u>Mani pul ati on</u>

4.2.1. Hypothèse : Lieu de mesures : Bambey

Etude de l'irrigation goutte à goutte système TIROSH :

- → Variation des débits le long d'une rampe en fonction des pertes de charge et de la topographie,
 - Variation des débits en fonction de la pression de services
 - Variation des débits au cours du temps (obstructions)
 - Répartition de l'eau dans le sol : évolution du bulle humide au cours du temps.

Durée prévue : 2 fois 2 semaines

4. 2. 2. Hypothèse Fleuve

Détermination do l'efficience du roseau d'irrigation du papem de Fanaye.

4.2.2.1, Cette étude nécessite les opérations suivantes :

- → Pose d'un compteur sur le refoulement de la pompe sinon implantation d'un déverenir t échelle en tête du réseau.
- \blacksquare Implantation d'un module à masques à chaque sortie de secondaire.
 - Submersion par siphonnage dont on mesure le volume
- Pose d'une plaque 3 orifice ou d'un déversoir sur la colature.

4.2.2.2. Mesures au cours d'une irrigation test

- Compteur : loctures de début et de fin d'irrigation
- → Module à masques : lectures au début et à la fin de l'irrigation en s'assurant quo le masque soit constamment noyé.
 - Siphonage 1) Jeaugeage au préalable pour avoir la courbe d'étalonnage Q = f (t-1)
 - 2) Chronométrage de la durée de siphonnage et mesure do la variation do niveau correspondante,
 - Déversoir 1) Etalonnage préalable
 - 2) Chronométrer les temps d'écoulement et mesurer les variations des hauteurs de la lamo d'eau.
 - ► Plaque à orifice :
 - 1) Etalonnage préalable
 - 2) Chronométrer les temps écoulement et mesurer les variations de hauteurs d'eau.

4.2.2.3. Moyens nécessaires

- 1 compteur à volume sur le refoulement de la pompe (ou un déversoir triangulaire + échelle liminimétrique)
- 1 module à masque (débit max. = 301/s)
- **1** parcelle sans culture
- 1 plaque à orofoce + échelle limnimétrique
- **⊸** 5 si phons
- ≈ 1 chsonométre
- 🛥 1 mètre ruban
- 3 observateurs (2 pour la plaque à orifice, 1 pour le siphonnage + 1 quatrième observateur si on remplace le compteur par un déversoir)
- 4.2.2.4 : <u>Qurée prévue</u> : 3 semaines de préparation + 3 jours do manipulation.